

การปรับปรุงสมรรถนะการเจียระไนพลอยของเครื่องเจียระไนพลอยแบบอัตโนมัติ



บทคัดย่อและแฟ้มข้อมูลฉบับเต็มของวิทยานิพนธ์ตั้งแต่ปีการศึกษา 2554 ที่ให้บริการในคลังปัญญาจุฬาฯ (CUIR)
เป็นแฟ้มข้อมูลของนิสิตเจ้าของวิทยานิพนธ์ ที่ส่งผ่านทางบัณฑิตวิทยาลัย

The abstract and full text of theses from the academic year 2011 in Chulalongkorn University Intellectual Repository (CUIR)
are the thesis authors' files submitted through the University Graduate School.

วิทยานิพนธ์นี้เป็นส่วนหนึ่งของการศึกษาตามหลักสูตรปริญญาวิศวกรรมศาสตรมหาบัณฑิต
สาขาวิชาวิศวกรรมเครื่องกล ภาควิชาวิศวกรรมเครื่องกล
คณะวิศวกรรมศาสตร์ จุฬาลงกรณ์มหาวิทยาลัย
ปีการศึกษา 2558
ลิขสิทธิ์ของจุฬาลงกรณ์มหาวิทยาลัย

GEMSTONE GRINDING PROCESS PERFORMANCE IMPROVEMENT OF AN AUTOMATIC
FACETING MACHINE

Mr. Chumpol Hamprommarat



A Thesis Submitted in Partial Fulfillment of the Requirements
for the Degree of Master of Engineering Program in Mechanical Engineering

Department of Mechanical Engineering

Faculty of Engineering

Chulalongkorn University

Academic Year 2015

Copyright of Chulalongkorn University

หัวข้อวิทยานิพนธ์	การปรับปรุงสมรรถนะการเจียรไนพลอยของเครื่อง เจียรไนพลอยแบบอัตโนมัติ
โดย	นายชุมพล เหมพรหมราช
สาขาวิชา	วิศวกรรมเครื่องกล
อาจารย์ที่ปรึกษาวิทยานิพนธ์หลัก	ศาสตราจารย์ ดร.วิบูลย์ แสงวีระพันธุ์ศิริ

คณะวิศวกรรมศาสตร์ จุฬาลงกรณ์มหาวิทยาลัย อนุมัติให้รับวิทยานิพนธ์ฉบับนี้เป็นส่วน
หนึ่งของการศึกษาตามหลักสูตรปริญญาวิทยาศาสตรบัณฑิต

.....คณบดีคณะวิศวกรรมศาสตร์
(รองศาสตราจารย์ ดร.สุพจน์ เตชวรสินสกุล)

คณะกรรมการสอบวิทยานิพนธ์

.....ประธานกรรมการ
(รองศาสตราจารย์ ดร.รัชทิน จันทร์เจริญ)

.....อาจารย์ที่ปรึกษาวิทยานิพนธ์หลัก
(ศาสตราจารย์ ดร.วิบูลย์ แสงวีระพันธุ์ศิริ)

.....กรรมการ
(ผู้ช่วยศาสตราจารย์ ดร.วิทยา วัฒนสุโกประสิทธิ์)

.....กรรมการภายนอกมหาวิทยาลัย
(อาจารย์ ดร.กฤษณันท์ มะลิทอง)

ชุมพล เหมพรหมราช : การปรับปรุงสมรรถนะการเจียรไนพลอยของเครื่องเจียรไนพลอยแบบอัตโนมัติ (GEMSTONE GRINDING PROCESS PERFORMANCE IMPROVEMENT OF AN AUTOMATIC FACETING MACHINE) อ.ที่ปรึกษาวิทยานิพนธ์หลัก: ศ. ดร.วิบูลย์ แสงวีระพันธุ์ศิริ, 89 หน้า.

งานวิจัยนี้เป็นการศึกษาและพัฒนาเทคนิคการเจียรไนพลอยเพื่อหาค่าพารามิเตอร์สำคัญที่มีผลต่อการเจียรไนพลอยทั้งหมด 5 ตัว ได้แก่ ความลึกในการเจียรไน, อัตราความเร็วในการป้อนเม็ดพลอย, ระยะเวลาแช่เม็ดพลอยขณะเจียรไน, ความเร็วของการหมุนของจานเจียรไน และระดับความหยาบของจานเจียรไน โดยเครื่องที่ใช้ในงานวิจัยนี้คือเครื่องเจียรไนพลอยจุฬาฯ แบบอัตโนมัติรุ่นที่ 3 และวัสดุที่ใช้ในการทดลองมี 2 ชนิด คือ พลอยควิวิก เซอร์โคเนีย และพลอยกระจกที่มีความแข็งเท่ากับ ที่ 8.0 - 8.5 Mohs และ 4.5 - 6.5 Mohs ตามลำดับ โดยพลอยจะต้องถูกเจียรไนให้ได้ตามรูปแบบ Heart and Arrow ตามมาตรฐานของ American Gem Diamond Grading Standards โดยแบ่งการทดลองเป็น 2 ส่วนคือ การทดลองหาค่าพารามิเตอร์ที่มีผลต่อการเจียรไนชิ้นเหลี่ยม และการทดลองหาค่าพารามิเตอร์ที่เหมาะสมสำหรับขัดชิ้นเงาพลอย จากนั้นใช้กล้องดิจิตอลกำลังขยาย 20 เท่าในการตรวจสอบคุณภาพการเจียรไนและพื้นผิวของพลอย ซึ่งผลการทดลองที่ได้พบว่าขนาดของเม็ดพลอยมีผลต่อเวลาในการเจียรไน โดยพลอยขนาดใหญ่จะใช้เวลาในการเจียรไนมากกว่าพลอยขนาดเล็ก และจำนวนเม็ดพลอยไม่มีผลต่อค่าพารามิเตอร์ที่ใช้ในการเจียรไน ซึ่งพลอยชนิดเดียวกันแต่ขนาดต่างกันสามารถใช้ค่าพารามิเตอร์เหมือนกันได้ และพลอยชนิดเดียวกันที่ขนาดเท่ากัน แต่เจียรไนพร้อมกันหลายเม็ดสามารถใช้ค่าพารามิเตอร์เดียวกันได้ โดยคุณภาพผิวพลอยที่ได้ไม่ต่างกัน

ภาควิชา วิศวกรรมเครื่องกล

ลายมือชื่อนิสิต

สาขาวิชา วิศวกรรมเครื่องกล

ลายมือชื่อ อ.ที่ปรึกษาหลัก

ปีการศึกษา 2558

5570168121 : MAJOR MECHANICAL ENGINEERING

KEYWORDS: AUTOMATIC FACETING MACHINE / GRINDING / PERFORMANCE IMPROVEMENT

CHUMPOL HAMPROMMARAT: GEMSTONE GRINDING PROCESS PERFORMANCE IMPROVEMENT OF AN AUTOMATIC FACETING MACHINE. ADVISOR: PROF.VIBOON SANGVERAPHUNSIRI, Ph.D., 89 pp.

This research work is to study the cutting and polishing parameters to improve performance of gemstone grinding process of an automatic faceting machine. The objective is to identify an appropriated parameters used for cutting and polishing of assorted types of gemstones refer to American Gem Society Laboratories. Research methods commence with studying AGS Diamond Grading Standards' cut scale and also cutting parameters that affect gemstone quality i.e. depth of cut, feed rate, cutting speed or grinding wheel speed, dwell time and grit size of grinding plate. The experiments had done on 3rd Generation CHULA Automatic Faceting Machine with two varieties of gemstone samples, namely, Cubic zirconia (hardness 8.0 - 8.5 Mohs) and Glass stone (hardness 4.5 - 6.5 Mohs). Two types of experiment are done, first is to determine the optimal parameters for gemstone cutting process, and the second one is to search for appropriate parameters for polishing. The quality of cutting and polishing are investigated by using a 20x zoom camera. From the experimental results, they can be concluded that the gemstone size affect cutting time. Bigger gemstones require more cutting time. Amount of gemstones for each cutting do not impact faceting quality and cutting parameters can be used the same as for single gemstone cutting. Same material and size of gemstones can be faceted with the same parameters.

Department: Mechanical Engineering Student's Signature

Field of Study: Mechanical Engineering Advisor's Signature

Academic Year: 2015

กิตติกรรมประกาศ

วิทยานิพนธ์ฉบับนี้สำเร็จลุล่วงไปด้วยดีเนื่องจากได้รับความอนุเคราะห์จาก ศ.ดร.วิบูลย์ แสงวีระพันธุ์ศิริ อาจารย์ที่ปรึกษาวิทยานิพนธ์ ที่ได้ถ่ายทอดประสบการณ์ ให้คำปรึกษาและคำแนะนำในการทำวิทยานิพนธ์ ตลอดจนปรับปรุงข้อบกพร่องต่างๆในการในการทำวิจัยครั้งนี้ รวมทั้งการสนับสนุนทางด้านทุนวิจัย อุปกรณ์และสถานที่สำหรับทำวิจัย

ขอขอบพระคุณ คณะกรรมการสอบวิทยานิพนธ์และคณาจารย์ผู้สอนทุกท่านที่ได้สั่งสอนแนะนำสิ่งต่างๆ ตั้งแต่วันที่ได้เข้ามาศึกษาจนถึงวันสอบวิทยานิพนธ์ ขอขอบพระคุณอย่างสูง

ขอขอบพระคุณ คุณพ่อ คุณแม่ ที่คอยเป็นกำลังใจและให้การสนับสนุนทุกด้าน โดยเฉพาะทางด้านการเรียนและการดำรงชีวิตมาโดยตลอด

ขอขอบคุณนิสิตปริญญาโทและปริญญาเอกในห้องปฏิบัติการวิจัยควบคุมการผลิตชั้นสูง ที่ได้ช่วยเหลือและแนะนำข้อคิดเห็นตลอดการทำวิทยานิพนธ์

ขอขอบคุณรุ่นพี่ในห้องปฏิบัติการ ที่ให้คำแนะนำและเทคนิคการใช้เครื่องจักรและการผลิตชิ้นงานสำหรับวิทยานิพนธ์

สารบัญ

	หน้า
บทคัดย่อภาษาไทย.....	ง
บทคัดย่อภาษาอังกฤษ.....	จ
กิตติกรรมประกาศ.....	ฉ
สารบัญ.....	ช
สารบัญรูป.....	ฎ
สารบัญตาราง.....	ด
บทที่ 1 บทนำ.....	1
1.1 ที่มาและความสำคัญ.....	1
1.2 วัตถุประสงค์ของวิทยานิพนธ์.....	2
1.3 ขอบเขตของวิทยานิพนธ์.....	2
1.4 ขั้นตอนการดำเนินงานของวิทยานิพนธ์.....	2
1.5 ประโยชน์ที่คาดว่าจะได้รับ.....	3
บทที่ 2 ทฤษฎีและงานวิจัยที่เกี่ยวข้อง.....	4
2.1 เครื่องเจียรระไนกึ่งอัตโนมัติ.....	4
2.2 เครื่องเจียรระไนพลอยจุฬาแบบอัตโนมัติ.....	5
2.2.1 เครื่องเจียรระไนพลอยจุฬาแบบอัตโนมัติรุ่นที่ 1.....	5
2.2.2 เครื่องเจียรระไนพลอยจุฬาแบบอัตโนมัติรุ่นที่ 2.....	6
2.2.3 เครื่องเจียรระไนพลอยจุฬาแบบอัตโนมัติรุ่นที่ 3.....	7
2.3 สมบัติของพลอย.....	8
2.3.1 สมบัติของพลอยคิวบิก เซอร์โคเนีย (Cubic Zirconia, CZ).....	8
2.3.2 สมบัติของพลอย (Glass Gemstone).....	9
2.4 การเจียรระไนรูปแบบบริลเลียน (Brilliant Cut).....	10

2.5 การประเมินคุณภาพเพชร.....	11
2.5.1 น้ำหนักกะรัต (Carat Weight).....	13
2.5.2 สี (Color).....	13
2.5.3 ความบริสุทธิ์ (Clarity).....	14
2.5.4 การเจียรระไน (Cut).....	14
2.6 พารามิเตอร์ที่ส่งผลต่อการเจียรระไนพลอย.....	15
2.7 ตัวแปรที่ต้องควบคุมในการเจียรระไนพลอย.....	16
2.7.1 มุมดรรชนี (Index Angle: i).....	16
2.7.2 มุมยก (Elevation Angle : e).....	16
2.7.3 ความลึกในการกัด (Depth of Cut : h).....	16
บทที่ 3 เครื่องเจียรระไนพลอยจิวาแบบอัตโนมัติรุ่นที่ 3	17
3.1 โครงสร้างและการเคลื่อนที่เครื่องเจียรระไนพลอยจิวาแบบอัตโนมัติรุ่นที่ 3.....	17
3.1.1 โครงสร้างเครื่องเจียรระไนพลอยจิวาแบบอัตโนมัติรุ่นที่ 3	17
3.1.2 การเคลื่อนที่เคลื่อนเจียรระไนพลอยจิวาแบบอัตโนมัติรุ่นที่ 3.....	18
3.2 หลักการทำงานของเครื่องเจียรระไนพลอยจิวาแบบอัตโนมัติรุ่นที่ 3	21
3.3 จลศาสตร์เครื่องเจียรระไนพลอยจิวาแบบอัตโนมัติรุ่นที่ 3.....	22
3.3.1 แบบจำลองจลศาสตร์แบบไปข้างหน้า (Forward Kinematics).....	23
3.3.2 แบบจำลองจลศาสตร์แบบผกผัน (Inverse Kinematics).....	25
3.4 การควบคุมเครื่องเจียรระไนพลอยจิวาแบบอัตโนมัติ	25
บทที่ 4 ขั้นตอนในการเจียรระไนพลอยโดยใช้เครื่องเจียรระไนพลอยแบบอัตโนมัติ	27
4.1 การเตรียมพลอย	27
4.2 การติดพลอยที่ปลายของทวนติดพลอย	28
4.3 การใส่ทวนติดพลอยบนเครื่องเจียรระไนพลอยจิวาแบบอัตโนมัติรุ่นที่ 3.....	29

4.4 การเจียรระโนด้านบนของพลอย.....	30
4.5 การกลับด้านพลอย	32
4.6 การถอดพลอยและทำความสะอาดพลอย.....	34
บทที่ 5 การทดลองและผลการทดลอง.....	36
5.1 การทดลองหาค่าพารามิเตอร์ที่มีผลต่อการเจียรระโนขึ้นเหลี่ยม	36
5.1.1 กลุ่มตัวอย่าง	36
5.1.2 เครื่องมือที่ใช้ในการทดลอง.....	36
5.1.3 ขั้นตอนการทดลอง.....	37
5.1.4 ผลการทดลองและการประเมินผล	39
5.1.5 สรุปผลการทดลอง.....	39
5.1.5.1 มุมมองความหยาบของงานเจียรระโน.....	43
5.1.5.2 มุมมองความเร็วงานหมุนงาน	43
5.1.5.3 มุมมองอัตราป้อน.....	43
5.1.5.4 ระยะเวลาแช่พลอย.....	43
5.2 การทดลองหาค่าพารามิเตอร์ที่เหมาะสมสำหรับขัดขึ้นเงาพลอย	44
5.2.1 กลุ่มตัวอย่าง	44
5.2.2 เครื่องมือที่ใช้	44
5.2.3 ขั้นตอนการทดลอง.....	44
5.2.4 ผลการทดลองและการประเมินผล	46
5.2.4.1 ผลการทดลองที่ 1 พลอยควิบิค เซอร์โคเนีย ขนาดเส้นผ่านศูนย์กลาง 3 มิลลิเมตร.....	48
5.2.4.2 ผลการทดลองที่ 2 พลอยควิบิค เซอร์โคเนีย ขนาดเส้นผ่านศูนย์กลาง 5 มิลลิเมตร.....	51

5.2.4.3 ผลการทดลองที่ 3 พลอยคิวบิก เซอร์โคเนีย ขนาดเส้นผ่านศูนย์กลาง 8 มิลลิเมตร.....	55
5.2.4.4 ผลการทดลองที่ 4 พลอยกระจก ขนาดเส้นผ่านศูนย์กลาง 3 มิลลิเมตร	58
5.2.4.5 ผลการทดลองที่ 5 พลอยกระจก ขนาดเส้นผ่านศูนย์กลาง 5 มิลลิเมตร	61
5.2.4.6 ผลการทดลองที่ 6 พลอยกระจก ขนาดเส้นผ่านศูนย์กลาง 8 มิลลิเมตร	64
5.2.5 สรุปผลการทดลอง	67
บทที่ 6 อภิปรายและข้อเสนอแนะ	69
6.1 บทสรุปของงานวิจัย	69
6.2 ปัญหาและอุปสรรคในการทำงานวิจัย.....	70
6.3 ข้อเสนอแนะ	71
รายการอ้างอิง.....	72
ภาคผนวก	73
ภาคผนวก ก ผลการทดลองหาค่าพารามิเตอร์ที่มีผลต่อการเจียรไนเหลี่ยมพลอย.....	74
ภาคผนวก ข อุปกรณ์ที่ใช้ในการทดลอง.....	88
ประวัติผู้เขียนวิทยานิพนธ์	89

สารบัญรูป

รูปที่ 2.1 เครื่องเจียรไนพลอยบริษัท Diamanite	4
รูปที่ 2.2 เครื่องเจียรไนพลอยจิวาแบบอัตโนมัติรุ่นที่ 1	5
รูปที่ 2.3 เครื่องเจียรไนพลอยจิวาแบบอัตโนมัติรุ่นที่ 2	6
รูปที่ 2.4 เครื่องเจียรไนพลอยจิวาแบบอัตโนมัติรุ่นที่ 3	7
รูปที่ 2.5 ลักษณะภายนอกของเพชรกับพลอยคิวบิก เซอร์โคเนียที่ผ่านการเจียรไน	8
รูปที่ 2.6 พลอยกระจกสังเคราะห์	9
รูปที่ 2.7 เหลี่ยมของพลอยที่ถูกเจียรไนรูปแบบปริเลียน	10
รูปที่ 2.8 สัดส่วนของเพชรที่เจียรไนแบบโทลคาลสกี	11
รูปที่ 2.9 ตัวอย่างใบรับประกันคุณภาพของ AGLS	12
รูปที่ 2.10 น้ำหนักกะรัตกับเส้นผ่านศูนย์กลางของเพชร	13
รูปที่ 2.11 สีของเพชรที่แบ่งตามระดับ D ถึง Z	13
รูปที่ 2.12 ระดับความบริสุทธิ์ของเพชร	14
รูปที่ 2.13 การสะท้อนของแสงภายในพลอยเจียรไนที่มีสัดส่วนแตกต่างกัน	14
รูปที่ 2.14 แสงสะท้อนจากพลอยที่เจียรไนแบบปริเลียนเป็นรูป Heart และ Arrow	15
รูปที่ 2.15 พารามิเตอร์ที่ส่งผลต่อการเจียรไนพลอย	15
รูปที่ 2.16 ตัวแปรที่มีผลต่อรูปร่างและขนาดของพลอย	16
รูปที่ 3.1 เครื่องเจียรไนพลอยจิวาแบบอัตโนมัติรุ่นที่ 3	17
รูปที่ 3.2 แกนปรับมุม	18
รูปที่ 3.3 แกนหมุนเหลี่ยมพลอย	18
รูปที่ 3.4 แกนยกพลอยในแนวตั้ง	19
รูปที่ 3.5 แกนเปลี่ยนงานเจียรไน	19

รูปที่ 3.6 แสดงแกนหมุนงานเจียรระไนพลอย	20
รูปที่ 3.7 แกนสายงานเจียรระไน	21
รูปที่ 3.8 หลักการทำงานเครื่องเจียรระไนพลอยจุฬาแบบอัตโนมัติ	22
รูปที่ 3.9 การติดแกนบนเครื่องเจียรระไนพลอยจุฬาแบบอัตโนมัติ	23
รูปที่ 3.10 การควบคุมเครื่องเจียรระไนพลอยจุฬาแบบอัตโนมัติ	26
รูปที่ 4.1 พลอยดิบคิวบิก เซอร์โคเนีย	27
รูปที่ 4.2 พลอยที่ผ่านการขึ้นรูปเบื้องต้นเป็นรูปทรงกระบอก	27
รูปที่ 4.3 การวางพลอยที่ปลายของทวนติดพลอยบนอุปกรณ์ยึดจับ	28
รูปที่ 4.4 การทำให้กาวแข็งตัวด้วยตู้อบรังสีอัลตราไวโอเล็ต	28
รูปที่ 4.5 ตำแหน่งของล็อกสำหรับยึดทวนติดพลอยเข้ากับเครื่องเจียรระไนพลอยแบบอัตโนมัติ	29
รูปที่ 4.6 การใส่ทวนติดพลอยเข้ากับชุดจับทวนพลอย	29
รูปที่ 4.7 งานเจียรระไนของเครื่องเจียรระไนพลอยจุฬาแบบอัตโนมัติรุ่นที่ 3	30
รูปที่ 4.8 พลอยถูกเจียรระไนด้านบนแล้ว	31
รูปที่ 4.9 การใส่ผงเพชรด้วยครีมลงบนงานทองแดงที่ผ่านการกรีตร่อง	31
รูปที่ 4.10 อุปกรณ์กลับด้านพลอย	32
รูปที่ 4.11 การวางทวนติดพลอยบนอุปกรณ์กลับด้านพลอย	33
รูปที่ 4.12 การใช้คีมหนีบด้านข้างของพลอย	33
รูปที่ 4.13 ทวนติดพลอยที่มีปลายติดกับด้านบนของพลอย	34
รูปที่ 4.14 พลอยซึ่งถูกเจียรระไนที่ด้านล่างแล้ว	34
รูปที่ 4.15 การถอดพลอยออกจากทวนติดพลอยด้วยการอุ่นไฟ	35
รูปที่ 5.1 ส่วนติดต่อโปรแกรมสำหรับเจียรระไนพลอย	36
รูปที่ 5.2 การทดลองเจียรระไนพลอยแล้วปรับค่าพารามิเตอร์ต่างๆ	38
รูปที่ 5.3 กล้องที่ใช้ในการตรวจสอบคุณภาพผิวพลอย	38
รูปที่ 5.4 ผลการทดลองเจียรระไนพลอยผิวราบเรียบ (ก) ภาพจริง (ข) ภาพกลับสี	39

รูปที่ 5.5 ผลการทดลองเจียรระไนพลอยคุณภาพขรุขระ (ก) ภาพจริง (ข) ภาพกลับสี.....	39
รูปที่ 5.6 เจ็อนโซพารามิเตอร์ในการเจียรระไนพลอยความละเอียดงาน 600.....	40
รูปที่ 5.7 เจ็อนโซพารามิเตอร์ในการเจียรระไนพลอยความละเอียดงาน 800.....	41
รูปที่ 5.8 เจ็อนโซพารามิเตอร์ในการเจียรระไนพลอยความละเอียดงาน 1200	42
รูปที่ 5.9 แบบพลอยบริลเลียนมาตรฐาน.....	46
รูปที่ 5.10 คุณภาพผิวราบเรียบของ Heart and Arrow	47
รูปที่ 5.11 คุณภาพผิวเรียบเกิดริ้วรอย Heart and Arrow	47
รูปที่ 5.12 คุณภาพผิวพลอยกระจกผ่านกล้องดิจิทัลขยาย 20 เท่า	47
รูปที่ 5.13 ผลการทดลองพลอยคิวนิก เซอร์โคเนีย 3 มิลลิเมตรเจียรระไนด้านบน.....	49
รูปที่ 5.14 ผลการทดลองพลอยคิวนิก เซอร์โคเนีย 3 มิลลิเมตรเจียรระไนด้านล่าง.....	50
รูปที่ 5.15 ภาพถ่ายพลอยคิวนิก เซอร์โคเนีย 3 มิลลิเมตรผิวราบเรียบ	50
รูปที่ 5.16 ภาพถ่ายพลอยคิวนิก เซอร์โคเนีย 3 มิลลิเมตรผิวเรียบเกิดรอย	50
รูปที่ 5.17 ภาพถ่ายพลอยคิวนิก เซอร์โคเนียขนาด 3 มิลลิเมตรจากการเจียรระไน 14 เม็ด.....	51
รูปที่ 5.18 ผลการทดลองพลอยคิวนิก เซอร์โคเนีย 5 มิลลิเมตรเจียรระไนด้านบน.....	52
รูปที่ 5.19 ผลการทดลองพลอยคิวนิก เซอร์โคเนีย 5 มิลลิเมตรเจียรระไนด้านล่าง.....	53
รูปที่ 5.20 ภาพถ่ายพลอยคิวนิก เซอร์โคเนีย 5 มิลลิเมตรผิวราบเรียบ	54
รูปที่ 5.21 ภาพถ่ายพลอยคิวนิก เซอร์โคเนีย 5 มิลลิเมตรผิวเรียบเกิดรอย	54
รูปที่ 5.22 ภาพถ่ายพลอยคิวนิก เซอร์โคเนียขนาด 5 มิลลิเมตรจากการเจียรระไน 14 เม็ด.....	54
รูปที่ 5.23 ผลการทดลองพลอยคิวนิก เซอร์โคเนีย 8 มิลลิเมตรเจียรระไนด้านบน.....	56
รูปที่ 5.24 ผลการทดลองพลอยคิวนิก เซอร์โคเนีย 8 มิลลิเมตรเจียรระไนด้านล่าง.....	57
รูปที่ 5.25 ภาพถ่ายพลอยคิวนิก เซอร์โคเนีย 8 มิลลิเมตรผิวราบเรียบ	57
รูปที่ 5.26 ภาพถ่ายพลอยคิวนิก เซอร์โคเนีย 8 มิลลิเมตรผิวเรียบเกิดรอย	57
รูปที่ 5.27 ผลการทดลองพลอยกระจก 3 มิลลิเมตรเจียรระไนด้านบน	59
รูปที่ 5.28 ผลการทดลองพลอยกระจก 3 มิลลิเมตรเจียรระไนด้านล่าง	60

สารบัญตาราง

ตารางที่ 3.1 ความเร็วรอบของเครื่องเจียระไนพลอยจุฬาแบบอัตโนมัติ	20
ตารางที่ 3.2 พารามิเตอร์ของ Denavit-Hartenberg สำหรับเครื่องเจียระไนพลอยจุฬาแบบอัตโนมัติ	23
ตารางที่ 5.1 สภาวะเงื่อนไขของพารามิเตอร์เจียระไนที่ใช้ในการทดลอง	38
ตารางที่ 5.2 พารามิเตอร์ควบคุมการทดลองเจียระไนขัดเงา	45
ตารางที่ 5.3 สภาวะเงื่อนไขของพารามิเตอร์เจียระไนที่ใช้ในการทดลอง	45
ตารางที่ 5.4 ผลการทดลองเปรียบเทียบคุณภาพปรับอัตราป้อนพลอยคิวบิก เซอร์โคเนีย ขนาด 3 มิลลิเมตรด้านบน	48
ตารางที่ 5.5 ผลการทดลองเปรียบเทียบคุณภาพปรับอัตราป้อนพลอยคิวบิก เซอร์โคเนีย ขนาด 3 มิลลิเมตรด้านล่าง	49
ตารางที่ 5.6 ผลการทดลองเปรียบเทียบคุณภาพปรับอัตราป้อนพลอยคิวบิก เซอร์โคเนีย ขนาด 5 มิลลิเมตรด้านบน	52
ตารางที่ 5.7 ผลการทดลองเปรียบเทียบคุณภาพปรับอัตราป้อนพลอยคิวบิก เซอร์โคเนีย ขนาด 5 มิลลิเมตรด้านล่าง	53
ตารางที่ 5.8 ผลการทดลองเปรียบเทียบคุณภาพปรับอัตราป้อนพลอยคิวบิก เซอร์โคเนีย ขนาด 8 มิลลิเมตรด้านบน	55
ตารางที่ 5.9 ผลการทดลองเปรียบเทียบคุณภาพปรับอัตราป้อนพลอยคิวบิก เซอร์โคเนีย ขนาด 8 มิลลิเมตรด้านล่าง	56
ตารางที่ 5.10 ผลการทดลองเปรียบเทียบคุณภาพปรับอัตราป้อนพลอยกระจก ขนาด 3 มิลลิเมตรด้านบน	58
ตารางที่ 5.11 ผลการทดลองเปรียบเทียบคุณภาพปรับอัตราป้อนพลอยกระจก ขนาด 3 มิลลิเมตรด้านล่าง	59
ตารางที่ 5.12 ผลการทดลองเปรียบเทียบคุณภาพปรับอัตราป้อนพลอยกระจก ขนาด 5 มิลลิเมตรด้านบน	62

ตารางที่ 5.13 ผลการทดลองเปรียบเทียบคุณภาพปรับอัตราปุ๋ยมูลสัตว์กระจก ขนาด 5 มิลลิเมตรด้านล่าง	63
ตารางที่ 5.14 ผลการทดลองเปรียบเทียบคุณภาพปรับอัตราปุ๋ยมูลสัตว์กระจก ขนาด 8 มิลลิเมตรด้านบน	65
ตารางที่ 5.15 ผลการทดลองเปรียบเทียบคุณภาพปรับอัตราปุ๋ยมูลสัตว์กระจก ขนาด 8 มิลลิเมตรด้านล่าง	66



บทที่ 1 บทนำ

1.1 ที่มาและความสำคัญ

อัจฉริยะและเครื่องประดับเป็นอุตสาหกรรมที่สร้างชื่อเสียงและรายได้แก่ประเทศไทย อย่างไรก็ตามการพลอยเจียรไนโดยช่างฝีมือที่มีความชำนาญเพียงอย่างเดียวอาจผลิตพลอยเจียรไนได้จำนวนและคุณภาพได้ไม่เพียงพอต่อความต้องการของตลาด ทางห้องปฏิบัติการวิจัยระบบผลิตขั้นสูง (Regional Center of Robotics Technology) ภาควิชาวิศวกรรมเครื่องกล คณะวิศวกรรมศาสตร์ จุฬาลงกรณ์มหาวิทยาลัย จึงได้วิจัยและพัฒนาเครื่องต้นแบบของเครื่องเจียรไนพลอยจุฬาแบบอัตโนมัติที่สามารถเจียรไนพลอยได้ครั้งละหลายเม็ดในเวลาเดียวกันซึ่งทำให้จำนวนพลอยเจียรไนที่สามารถผลิตได้มีปริมาณมากกว่าเมื่อเปรียบเทียบกับการทำงานด้วยช่างฝีมือ แต่งานวิจัยที่ผ่านมายังไม่สามารถระบุพารามิเตอร์ของเครื่องเจียรไนพลอยแบบอัตโนมัติสำหรับการขัดเงาพลอยได้

งานวิจัยนี้ศึกษาเกี่ยวกับการปรับปรุงสมรรถนะการเจียรไนพลอยด้วยเครื่องเจียรไนพลอยจุฬาแบบอัตโนมัติ โดยมีวัตถุประสงค์ที่จะศึกษามาตรฐานทางด้านคุณภาพของการเจียรไนอัจฉริยะขั้นตอนที่เหมาะสมสำหรับการเจียรไนพลอยด้วยเครื่องเจียรไนพลอยจุฬาแบบอัตโนมัติและตัวแปรที่มีผลต่อการเจียรไนอัจฉริยะซึ่งได้แก่ ความลึกในการเจียรไน, อัตราป้อน, ความเร็วงานเจียรไน และระยะเวลาแช่พลอย พลอยที่ใช้ในการศึกษาในวิทยานิพนธ์นี้ได้แก่ พลอยคิวบิก เซอร์โคเนีย (Cubic Zirconia) และพลอยกระฉก

วิทยานิพนธ์ฉบับนี้ได้แบ่งเนื้อหาแนะนำเสนอ ดังนี้ บทที่ 2 นำเสนอการสืบค้นวรรณกรรมเครื่องเจียรไนพลอยจุฬาแบบอัตโนมัติรุ่นที่ 1 และรุ่นที่ 2, สมบัติของพลอยคิวบิก เซอร์โคเนียและพลอยกระฉก, การตัดเหลี่ยมเพชรและวิธีวัดคุณภาพของพลอยเจียรไนตามมาตรฐานของ AGS LABORATORIES บทที่ 3 แสดงรูปร่างและลักษณะภายนอกของเครื่องเจียรไนพลอยจุฬาแบบอัตโนมัติ, หลักการทำงานของเครื่องเจียรไนพลอยจุฬาแบบอัตโนมัติ, แบบจำลองจลศาสตร์แบบไปข้างหน้า, แบบจำลองจลศาสตร์แบบผกผันและระบบควบคุมของเครื่องเจียรไนพลอยจุฬาแบบอัตโนมัติ บทที่ 4 แสดงผลการทดลองและสรุปผลการทดลอง และบทที่ 5 นำเสนอตัวแปรที่ส่งผลต่อการเจียรไนอัจฉริยะ การอภิปรายผลและข้อเสนอแนะ

1.2 วัตถุประสงค์ของวิทยานิพนธ์

เพื่อศึกษาและพัฒนาเทคนิคการเจียระไนพลอยที่เหมาะสมและได้มาตรฐานสำหรับเครื่องเจียระไนพลอยแบบอัตโนมัติที่พัฒนาขึ้นที่ห้องปฏิบัติการวิจัยระบบผลิตขั้นสูง ภาควิชาวิศวกรรมเครื่องกล จุฬาลงกรณ์มหาวิทยาลัย

1.3 ขอบเขตของวิทยานิพนธ์

1. ศึกษามาตรฐานทางด้านคุณภาพของการเจียระไนอัญมณี
2. ศึกษาขั้นตอนและวิธีการที่เหมาะสมในการเจียระไนพลอยโดยใช้เครื่องเจียระไนพลอยแบบอัตโนมัติที่พัฒนาขึ้น
3. ศึกษาค่าพารามิเตอร์เช่น ความลึกในการตัด (Depth of cut) , อัตราป้อน (Feed rate), อัตราเร็วการหมุนของจานเจียระไนและระยะเวลาแช่พลอย

1.4 ขั้นตอนการดำเนินงานของวิทยานิพนธ์

1. ศึกษามาตรฐานทางด้านคุณภาพของการเจียระไนอัญมณี
2. ศึกษาคุณสมบัติและรูปร่างของพลอยสำหรับงานเจียระไน
3. ศึกษาขั้นตอนการทำงานของเครื่องเจียระไนพลอยแบบอัตโนมัติ
4. ศึกษาค่าพารามิเตอร์ที่มีผลต่อคุณภาพการเจียระไนพลอยด้วยเครื่องเจียระไนพลอยแบบอัตโนมัติ
5. ทดลองเจียระไนพลอยด้วยเครื่องเจียระไนพลอยแบบอัตโนมัติโดยปรับเปลี่ยนค่าพารามิเตอร์ต่างๆเพื่อศึกษาคุณภาพของพลอยเจียระไนโดยเปรียบเทียบกับมาตรฐานของ AGS LABORATORIES
6. วิเคราะห์ปัญหาและแก้ไขปรับปรุง
7. สรุปผลทดลอง

1.5 ประโยชน์ที่คาดว่าจะได้รับ

1. ได้ค่าพารามิเตอร์ที่เหมาะสมสำหรับเครื่องเจียรไนพลอยแบบอัตโนมัติ
2. ได้กระบวนการเจียรไนพลอย (Gem Grinding Process) ที่เหมาะสมสำหรับเครื่องเจียรไนพลอยแบบอัตโนมัติ โดยอ้างอิงจากมาตรฐานของ AGS LABORATORIES

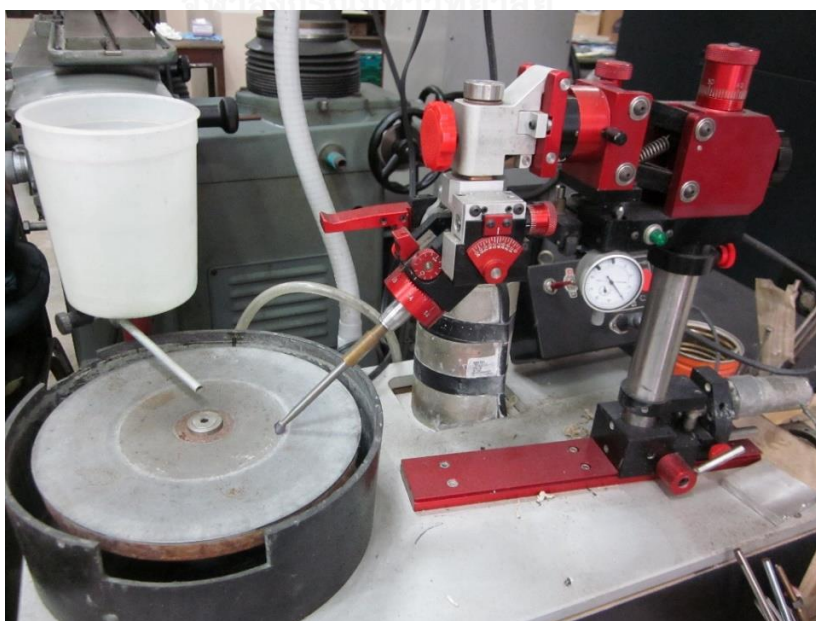


บทที่ 2 ทฤษฎีและงานวิจัยที่เกี่ยวข้อง

อุตสาหกรรมอัญมณีและเครื่องประดับที่กำลังเติบโตอย่างรวดเร็วส่งผลให้การผลิตอัญมณีและเครื่องประดับไม่เพียงพอต่อความต้องการของตลาด เนื่องจากช่างเจียรไนมีข้อจำกัดในการทำงาน อุตสาหกรรมอัญมณีและเครื่องประดับจึงนำเครื่องจักร มาช่วยในการเพิ่มการผลิต โดยพลอยเจียรไนที่ผลิตได้จากเครื่องจักรจะต้องมีคุณภาพใกล้เคียงกับพลอยที่ได้จากการเจียรไนโดยช่างเครื่องจักรที่ใช้ในการเจียรไนพลอยได้ถูกพัฒนาในงานวิจัยต่างๆ เช่น ต้นแบบเครื่องเจียรไนอัญมณีความเร็วสูง [1] เครื่องเจียรไนพลอยอัตโนมัติ [2],[3],[4] เป็นต้น

2.1 เครื่องเจียรไนกึ่งอัตโนมัติ

อุตสาหกรรมอัญมณีและเครื่องประดับของประเทศไทยประสบภาวะขาดแคลนแรงงานเนื่องจากช่างเจียรไนมีจำนวนลดน้อยลง เครื่องมือเจียรไนของไทยส่วนใหญ่ยังใช้วิธีการและเครื่องมือแบบดั้งเดิมคือแบบมือไทยและแบบตุ๊กตา ในขณะที่ต่างประเทศได้พัฒนาเครื่องเจียรไนพลอยแบบใช้แรงงานมนุษย์ในการเจียรไนดังรูป 2.1 เป็นเครื่องของบริษัท Diamante เป็นเครื่องเจียรไนกึ่งอัตโนมัติ สามารถกำหนดเหลี่ยมและมุมในการเจียรไนอย่างแม่นยำ ขณะเจียรไนมีมอเตอร์ช่วยในการสายเม็ดพลอยขณะเจียรไน

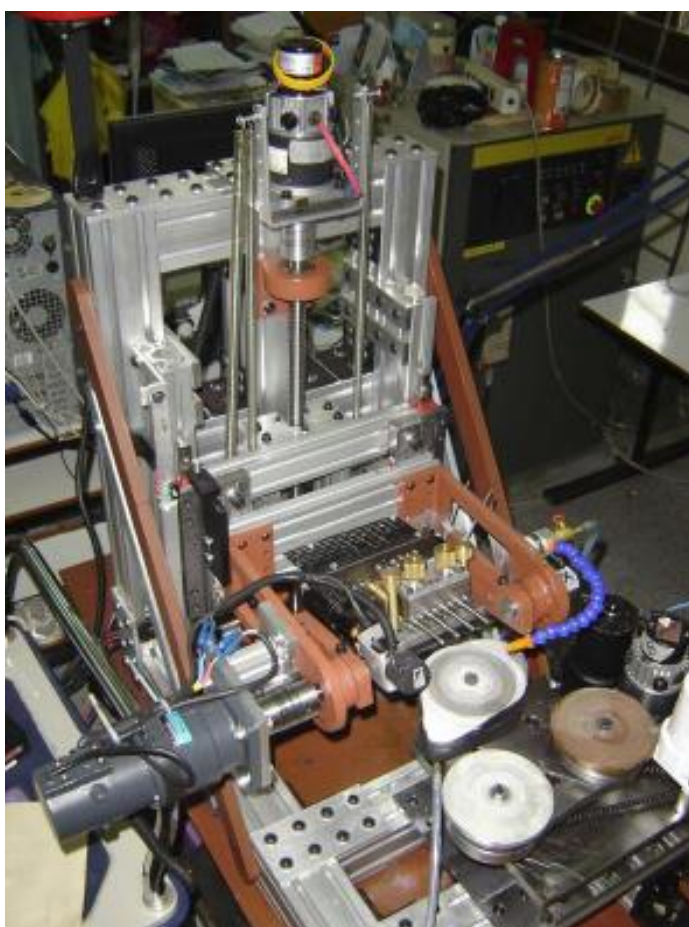


รูปที่ 2.1 เครื่องเจียรไนพลอยบริษัท Diamante

2.2 เครื่องเจียรระไนพลอยจิวาแบบอัตโนมัติ

2.2.1 เครื่องเจียรระไนพลอยจิวาแบบอัตโนมัติรุ่นที่ 1

เครื่องเจียรระไนพลอย [2] เป็นต้นแบบที่ถูกพัฒนาขึ้นโดยห้องปฏิบัติการวิจัยระบบการผลิตขั้นสูง จุฬาลงกรณ์มหาวิทยาลัย สำหรับอุตสาหกรรมอัญมณีและเครื่องประดับ



รูปที่ 2.2 เครื่องเจียรระไนพลอยจิวาแบบอัตโนมัติรุ่นที่ 1

เครื่องเจียรระไนพลอยจิวาแบบอัตโนมัติรุ่นที่ 1 ดังรูปที่ 2. สามารถเคลื่อนที่ได้ 4 แกนสำหรับการปรับมุม, การปรับเหลี่ยมพลอย, การยกพลอยในแนวตั้งและการเปลี่ยนงานเจียรระไน งานเจียรระไนพลอยที่ถูกติดตั้งไว้ที่เครื่องมีจำนวน 3 งานสำหรับการขัดหยาบ, การขัดละเอียดและการขัดเงา งานเจียรระไนพลอยแต่ละงานสามารถเจียรระไนพลอยได้ครั้งละ 4 เม็ด

2.2.2 เครื่องเจียรไนพลอยจิวาแบบอัตโนมัติรุ่นที่ 2



รูปที่ 2.3 เครื่องเจียรไนพลอยจิวาแบบอัตโนมัติรุ่นที่ 2

เครื่องเจียรไนพลอยจิวาแบบอัตโนมัติรุ่นที่ 2 [3],[4] ดังรูปที่ 2.3 สามารถเคลื่อนที่ได้ 4 แกนและถูกควบคุมการทำงานเช่นเดียวกับเครื่องเจียรไนพลอยจิวาแบบอัตโนมัติรุ่นที่ 1 ในหัวข้อ 2.2.1 แต่ได้ติดตั้งงานเจียรไนพลอยเพิ่มเติมเป็นจำนวน 5 งานโดยแบ่งเป็นงานสำหรับการเจียรไนเหลี่ยมพลอยจำนวน 3 งานและงานสำหรับการขัดเงาจำนวน 2 งาน เครื่องเจียรไนนี้ยังได้รับการปรับปรุงวิธีการติดตั้งทวนพลอยเพื่อให้สามารถเจียรไนพลอยได้ครั้งละ 14 เม็ด

2.2.3 เครื่องเจียรระไนพลอยจิวาแบบอัตโนมัติรุ่นที่ 3



รูปที่ 2.4 เครื่องเจียรระไนพลอยจิวาแบบอัตโนมัติรุ่นที่ 3

เครื่องเจียรระไนพลอยจิวาแบบอัตโนมัติรุ่นที่ 3 [5] ดังรูปที่ 2.4 ถูกปรับปรุงให้โครงสร้างมีความแข็งแรงเพิ่มขึ้น และลดจำนวนงานเจียรระไนสำหรับการขัดเงาลง 1 รวมทั้งการเพิ่มขนาดเส้นผ่านศูนย์กลางของงานเจียรระไนทั้ง 4 งาน วิทยานิพนธ์ฉบับนี้ได้ใช้เครื่องเจียรระไนพลอยจิวาแบบอัตโนมัติรุ่นที่ 3 เป็นอุปกรณ์ในการศึกษาวิธีการปรับปรุงสมรรถนะการเจียรระไนพลอย

2.3 สมบัติของพลอย

2.3.1 สมบัติของพลอยคิวบิก เซอร์โคเนีย (Cubic Zirconia, CZ)

พลอยคิวบิก เซอร์โคเนียสังเคราะห์ ถูกผลิตด้วยกรรมวิธีสก็ลล์เมลตติ้ง (Skull Melting) [6] และได้รับการยอมรับว่ามีลักษณะภายนอกคล้ายเพชรมากที่สุด รูปที่ 2.5 ได้แสดงภาพการเปรียบเทียบลักษณะภายนอกของเพชรและพลอยคิวบิก เซอร์โคเนียที่ผ่านการเจียรระไนแล้ว



รูปที่ 2.5 ลักษณะภายนอกของเพชรกับพลอยคิวบิก เซอร์โคเนียที่ผ่านการเจียรระไน

คุณสมบัติของคิวบิก เซอร์โคเนียเป็นดังนี้

- มีทุกสี ยกเว้น สีเทาและสีดำ
- ระบบผลึกคิวบิก : หักเหตเดี่ยว
- ค่าดัชนีหักเห : 2.15 - 2.18
- ความถ่วงจำเพาะ : 5.60 - 6.0
- ความแข็ง : 8.0 - 8.5
- การอ่านผ่าน : เมื่อคว่ำหน้าพลอยลงแสงผ่านได้เล็กน้อย
- ตำหนิภายใน : สะอาดแต่บางครั้งพบฟองอากาศ

2.3.2 สมบัติของพลอย (Glass Gemstone)

พลอยกระจก [7] ดังรูปที่ 2.6 ถูกผลิตด้วยการเผาในเตาที่มีอุณหภูมิ 1,500 องศาเซลเซียส จนหลอมละลายเป็นแก้ว หลังจากนั้นจะลดอุณหภูมิลงเหลือ 1,100 องศาเซลเซียสเพื่อให้มีความหนืดที่เหมาะสม หลังจากนั้นจะทำให้เป็นแผ่นโดยการปล่อยให้วัสดุก่อตัวเป็นกระจก



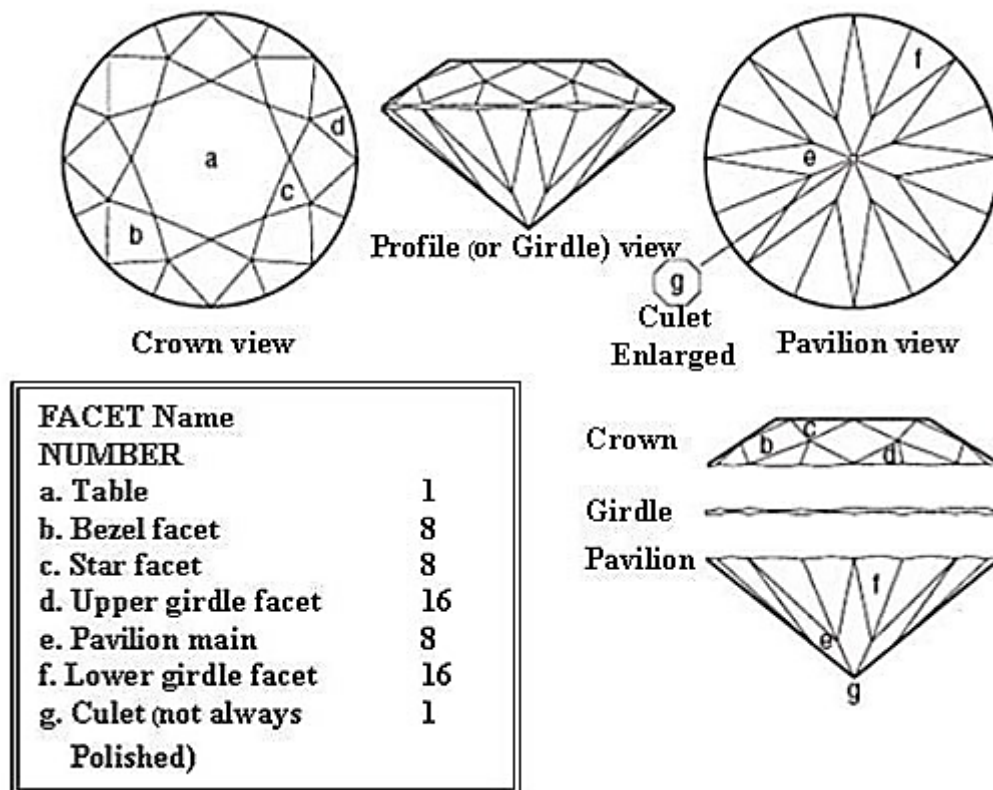
รูปที่ 2.6 พลอยกระจกสังเคราะห์

คุณสมบัติของพลอยกระจก เป็นดังนี้

- มีทุกสี
- ระบบผลึกคิวบิก : หักเหเดียว
- ค่าดัชนีหักเห : 1.517-1.655
- ความถ่วงจำเพาะ : 2.4 – 2.8
- ความแข็ง : 4.5 – 6.5
- การอ่านผ่าน : ไม่สามารถอ่านผ่าน
- ตำหนิภายใน : สะอาดแต่บางครั้งพบฟองอากาศ
- คุณภาพของเหลี่ยมพลอย : ไม่คมและป็น เนื่องจากวัสดุมีความแข็งต่ำ

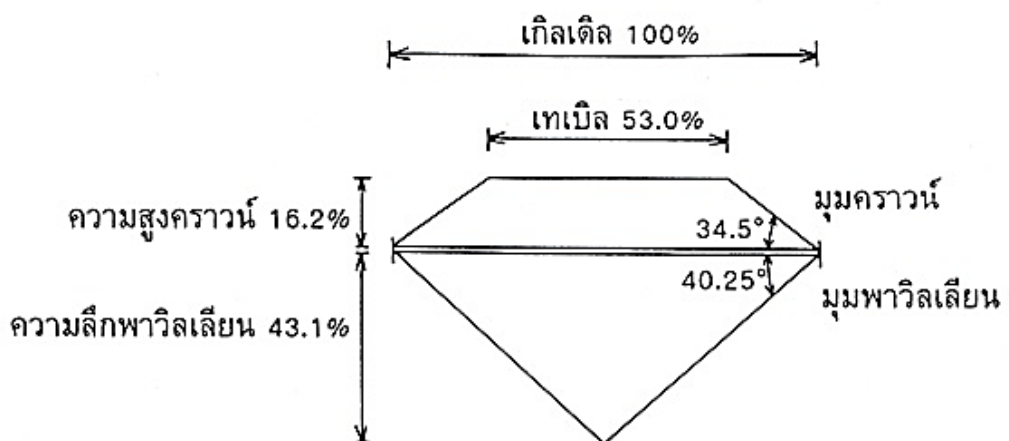
2.4 การเจียรไนรูปแบบบริลเลียน (Brilliant Cut)

บริลเลียน [8] เป็นรูปแบบการเจียรไนพลอยแบบสากล ลักษณะของพลอยเจียรไนด้วยรูปแบบนี้แสดงดังรูป 2.7 เหลี่ยมตัดที่ด้านบนของพลอย (Crown) มีจำนวน 33 เหลี่ยม โดยเหลี่ยมตรงกลางรูปแปดเหลี่ยม (ตำแหน่ง a) เรียกว่าหน้าพลอย (Table) ส่วนเหลี่ยมบริเวณด้านข้างที่ตำแหน่ง b, c และ d เรียกว่า เหลี่ยมรูปว่าว (Bezel Facets), เหลี่ยมยอด (Star Facets) และเหลี่ยมแซมบน (Upper Girdle Facets) ตามลำดับ เหลี่ยมด้านล่างของพลอย (Pavilion) มี 24 เหลี่ยมที่บริเวณ e และ f คือ เหลี่ยมแปดล่าง (Pavilion Main Facets) และ เหลี่ยมแซมล่าง (Lower Girdle Facets) สำหรับขอบพลอย (Girdle) ซึ่งอยู่ระหว่างด้านบนและด้านล่างของพลอย มักมีในเฉพาะในการเจียรไนเพชรเท่านั้น



รูปที่ 2.7 เหลี่ยมของพลอยที่ถูกเจียรไนรูปแบบบริลเลียน

ในปี ค.ศ. 1919 มาร์เซล โทลคาสกี้ (Marcel Tolkowsky) [9] เป็นผู้เริ่มการเจียรไนแบบอุดมคติ (Ideal Cut) เนื่องจากเพชรที่เจียรไนแบบโทลคาสกี้มีการกระจายแสง (Brilliance) ที่ค่อนข้างสมบูรณ์จึงเป็นที่นิยมในตลาดของประเทศสหรัฐอเมริกา



รูปที่ 2.8 สัดส่วนของเพชรที่เจียรไนแบบโทลคอสกี


สัดส่วนการเจียรไนของโทลคอสกี ดังรูปที่ 2.8 บริลเลียน (Tolkowsky Brilliant) แสดงดังต่อไปนี้

- เกิลเดิล (Girdle Diameter) 100%
- เทเบิล (Table Percentage) 53.0%
- มุมควรวาน (Crown Angle) 34.5°
- มุมพาวิลเลียน (Pavilion Angle) 40.25°
- ความสูงควรวาน (Crown Height) 16.2 °
- ความลึกพาวิลเลียน (Pavilion Depth) 43.1 °

2.5 การประเมินคุณภาพเพชร


American Gem Society Laboratories (AGLS) ซึ่งเป็นสถาบันในการออกใบรับประกัน (Certificate of Guarantee) ของคุณภาพของเพชรเจียรไน [10] ดังรูปที่ 2.9 ได้ประเมินคุณภาพของเพชรเจียรไนจากลักษณะดังนี้

- น้ำหนักกะรัต (Carat Weight)
- สี (Color)
- ความบริสุทธิ์ (Clarity)
- การเจียรไน (Cut)



AMERICAN GEM SOCIETY
LABORATORIES™

*Setting the Highest Standard for Diamond Grading**



AGS 104074338015
October 06, 2014
0.981 cts

The Platinum Light Performance Diamond Quality® Document

Shape and Style **Round Brilliant**

Measurements **6.35 - 6.39 x 3.94 mm**

Cut Grade **AGS Ideal 0**

Light Performance **AGS Ideal 0**

Polish **AGS Ideal 0**

Symmetry **AGS Ideal 0**

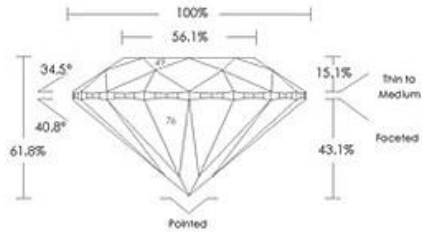
Color Grade **(H) AGS 2.0**

Clarity Grade **(SI2) AGS 6**

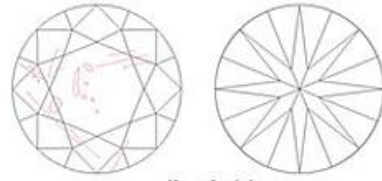
Carat Weight **0.981 cts**

Comments

Fluorescence: Negligible
Additional clouds are not shown.




Pointed



Key to Symbols

- Crystal ○
- Cloud ⊗
- Needle ↗



AGS Computer Generated Light Performance Map for this Diamond.
U.S. Patent No. 7,355,663

- Brightness ■ Less Bright
- Contrast ■ Light Leakage

Cut Scale

AGS	0	1	2	3	4	5	6	7	8	9	10
	AGS Ideal	AGS Excellent	AGS Very Good	AGS Good		AGS Fair			AGS Poor		

Color Scale

AGS	0.0	0.5	1.0	1.5	2.0	2.5	3.0	3.5	4.0	4.5	5.0	5.5	6.0	6.5	7.0	7.5	8.0	8.5	9.0	9.5	10.0	To Fancy Yellow		
	Colorless			Near Colorless			Faint			Very Light					Light				Fancy Yellow					
GIA	D	E	F	G	H	I	J	K	L	M	N	O	P	Q	R	S	T	U	V	W	X	Y	Z	Fancy Yellow

Clarity Scale

AGS	0	1	2	3	4	5	6	7	8	9	10
	Flawless/IF	Very Very Slightly Included		Very Slightly Included		Slightly Included		Included			
GIA	Flawless/IF	VVS1	VVS2	VS1	VS2	S1	S2	I1	I2	I3	

THIS IS A REPRESENTATION OF THE ACTUAL DOCUMENT

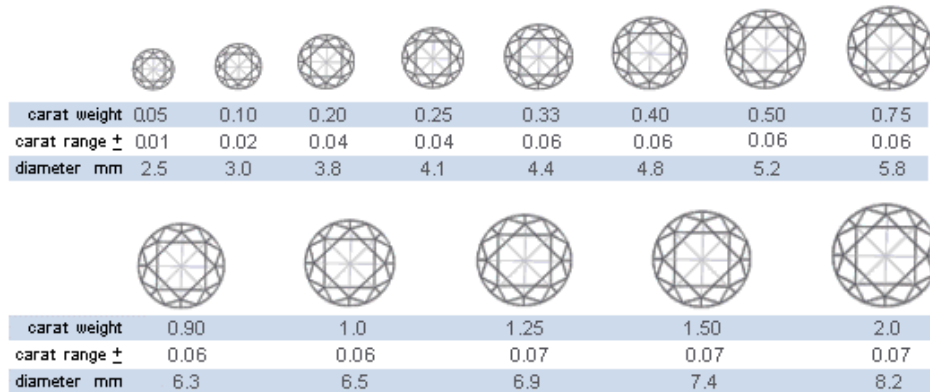
ORIGINAL

Copyright © 1996-2013 American Gem Society Laboratories, LLC. All Rights Reserved.

รูปที่ 2.9 ตัวอย่างใบรับประกันคุณภาพของ AGLS

2.5.1 น้ำหนักกะรัต (Carat Weight)

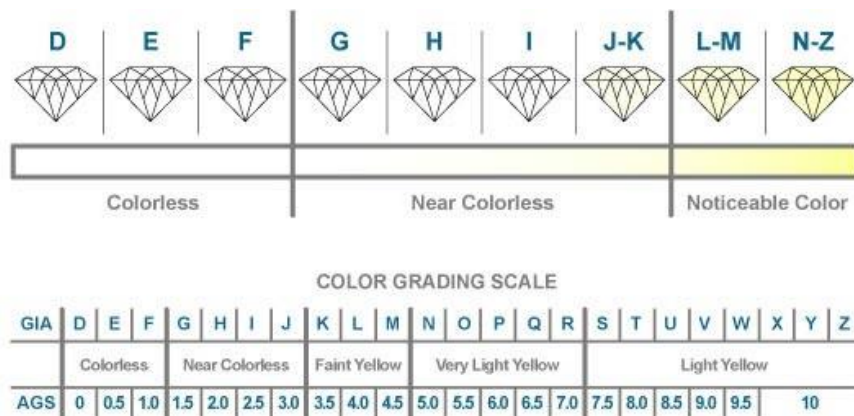
น้ำหนักกะรัตเป็นหน่วยวัดน้ำหนักของเพชร โดยเพชร 1 กะรัตหรือ 100 สตางค์ (Point) มีน้ำหนักเท่ากับ 200 มิลลิกรัม เพชรขนาดใหญ่จะขุดพบได้ยาก และมีราคาสูง น้ำหนักกะรัตกับขนาดของเพชรเจียรระโนมีความสัมพันธ์กันดังรูปที่ 2.10



รูปที่ 2.10 น้ำหนักกะรัตกับเส้นผ่านศูนย์กลางของเพชร

2.5.2 สี (Color)

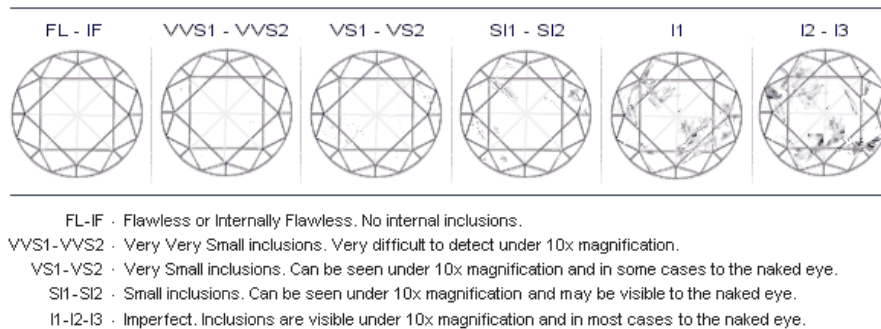
เฉดสีของเพชรหรือ "น้ำ" สามารถแบ่งออกเป็นหลายระดับจาก D (มีความขาวใสมากที่สุด) ถึง Z (มีสีสด) ดังรูปที่ 2.10 เพชรระดับไร้สี (Colorless) ได้แก่ ระดับ D, E และ F (น้ำ 100, 99 และ 98) จะขุดพบเจอยากจึงมีราคาสูง ส่วนเพชรที่มีระดับสีอื่น เช่น สีนวลอ่อน (ระดับ G), สีเหลืองแซมเป็ญ (ระดับ L), สีเหลืองเข้ม (ระดับ P), สีเหลืองสด (ระดับ Z) เป็นต้น มักถูกจัดเป็นเพชรสำหรับใช้ในงานแฟชั่น



รูปที่ 2.11 สีของเพชรที่แบ่งตามระดับ D ถึง Z

2.5.3 ความบริสุทธิ์ (Clarity)

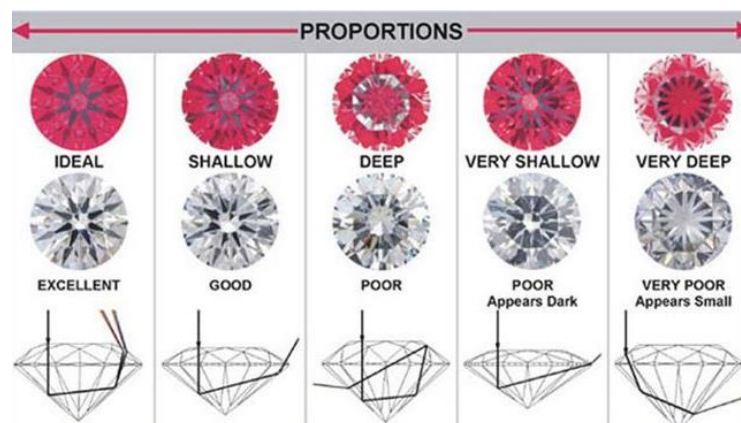
ความบริสุทธิ์ของเพชรพิจารณาได้จากขนาด จำนวน ตำแหน่งและลักษณะทางธรรมชาติของตำหนิภายในเนื้อเพชร ระดับความบริสุทธิ์ของเพชร ดังรูปที่ 2.12 สามารถตรวจวัดได้จากการมองผ่านแว่นขยายหรือกล้องจุลทรรศน์ที่มีกำลังขยาย 10 เท่า



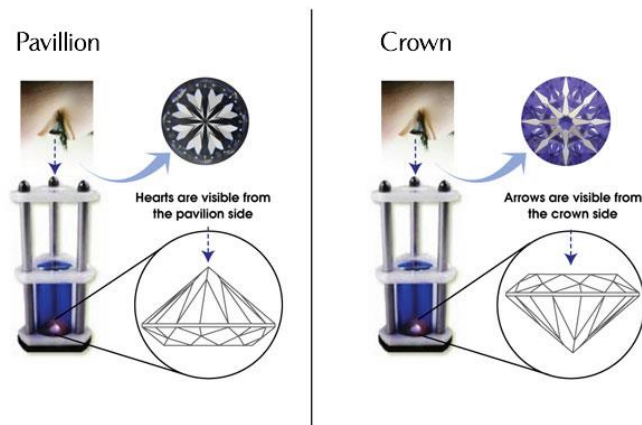
รูปที่ 2.12 ระดับความบริสุทธิ์ของเพชร

2.5.4 การเจียรไน (Cut)

พลอยที่เจียรไนได้ดีจะต้องมีสัดส่วน (Proportion) ของแต่ละหน้าพลอยที่ถูกต้อง (Proportion Grading) เพื่อให้แสงที่ส่องผ่านเข้าไปในพลอยสามารถสะท้อนออกมาเข้าตาของมนุษย์ทั้งหมด จึงจะเห็นพลอยมีประกายแวววาวสูง ดังรูปที่ 2.13 และเห็นแสงสะท้อนเป็นรูปร่างที่ต้องการ เช่น รูป Heart และ Arrow สำหรับพลอยที่เจียรไนรูปแบบบริลเลียน ดังรูปที่ 2.14 เป็นต้น สัดส่วนของพลอยที่สำคัญได้แก่ ความลึก (Depth), ความกว้าง (Width), รูปทรงของหน้าเจียรไน (Facet) และความสมมาตร (Symmetry)



รูปที่ 2.13 การสะท้อนของแสงภายในพลอยเจียรไนที่มีสัดส่วนแตกต่างกัน

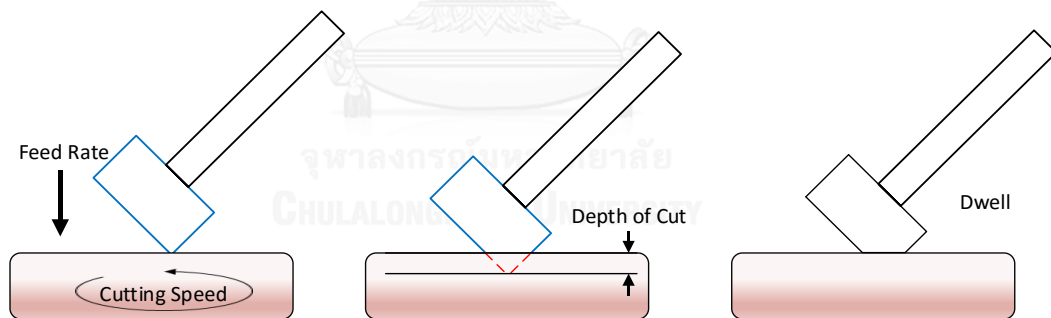


รูปที่ 2.14 แสงสะท้อนจากพลอยที่เจียรระไนแบบบริลเลียนเป็นรูป Heart และ Arrow

เมื่อมองจากด้านล่างของพลอยและด้านบนของพลอย

2.6 พารามิเตอร์ที่ส่งผลต่อการเจียรระไนพลอย

การเจียรระไนพลอยด้วยเครื่องเจียรระไนพลอยแบบอัตโนมัติต้องใช้ค่าพารามิเตอร์ที่เหมาะสมสำหรับเครื่องเจียรระไน จึงทำให้พลอยที่ใช้เครื่องจักรเจียรระไนมีคุณภาพ พารามิเตอร์ [11],[12],[13], ที่ส่งผลต่อพลอย ดังรูปที่ 2.15 ได้แก่

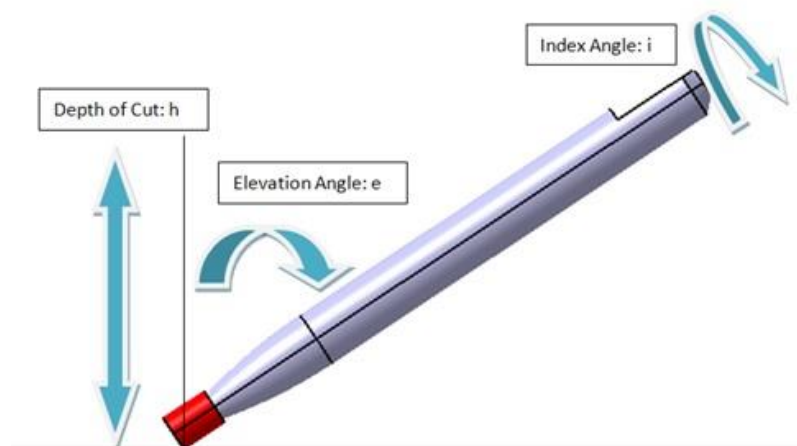


รูปที่ 2.15 พารามิเตอร์ที่ส่งผลต่อการเจียรระไนพลอย

- อัตราป้อน (Feed Rate) คือ อัตราเร็วในการเคลื่อนที่พลอยลงไปที่งานเจียรระไน
- อัตราเร็วการหมุนของงานเจียรระไน (Cutting Speed)
- ความลึกในการตัด (Depth of cut) คือ ความสูงของพลอยที่ถูกกดลงบนเจียรระไน
- ระยะเวลาแช่พลอย (Dwell) คือ ระยะเวลาในการเจียรระไนแต่ละหน้าของพลอย

2.7 ตัวแปรที่ต้องควบคุมในการเจียระไนพลอย

ตัวแปรที่มีผลต่อการเจียระไนพลอยดังรูปที่ 2.16 สามารถควบคุมรูปร่างและขนาดของเหลี่ยมพลอย ไม่ว่าจะรูปแบบการเจียระไนจะเป็นอย่างไรตัวแปรที่ต้องใช้มีเพียง 3 ตัวที่ต้องทำการควบคุมคือ



รูปที่ 2.16 ตัวแปรที่มีผลต่อรูปร่างและขนาดของพลอย

2.7.1 มุมดรชนี (Index Angle: i)

ตัวแปรนี้จะเป็นตัวกำหนดเหลี่ยมแต่ละชั้นของการเจียระไนพลอยนั้นจะมีทั้งหมดกี่หน้า ซึ่งในแต่ละหน้าจะมีเลขดรชนีเป็นตัวกำกับ โดยทั่วไปพลอย 1 เม็ดสามารถแบ่งมุมดรชนีออกเป็นหลายแบบ ขึ้นอยู่กับความละเอียดในการเจียระไนโดยทั่วไปนิยมคือ 32 , 64 , 80 , 96 และ 120 ดรชนี โดยการแบ่งมุมดรชนียิ่งมากทำให้การเจียระไนจะละเอียดมากขึ้นด้วย

2.7.2 มุมยก (Elevation Angle : e)

ตัวแปรนี้เป็นตัวกำหนดเหลี่ยมของพลอย ในแต่ละชั้นเหลี่ยมนั้นมุมที่ใช้เจียระไนจะมีกี่องศา โดยตัวแปรนี้พิจารณาจากคุณสมบัติค่าดรชนีหักเหของแสงของพลอยแต่ละชนิด เพื่อให้แสงสะท้อนของพลอยที่เจียระไนออกมามีความเงางาม

2.7.3 ความลึกในการกัด (Depth of Cut : h)

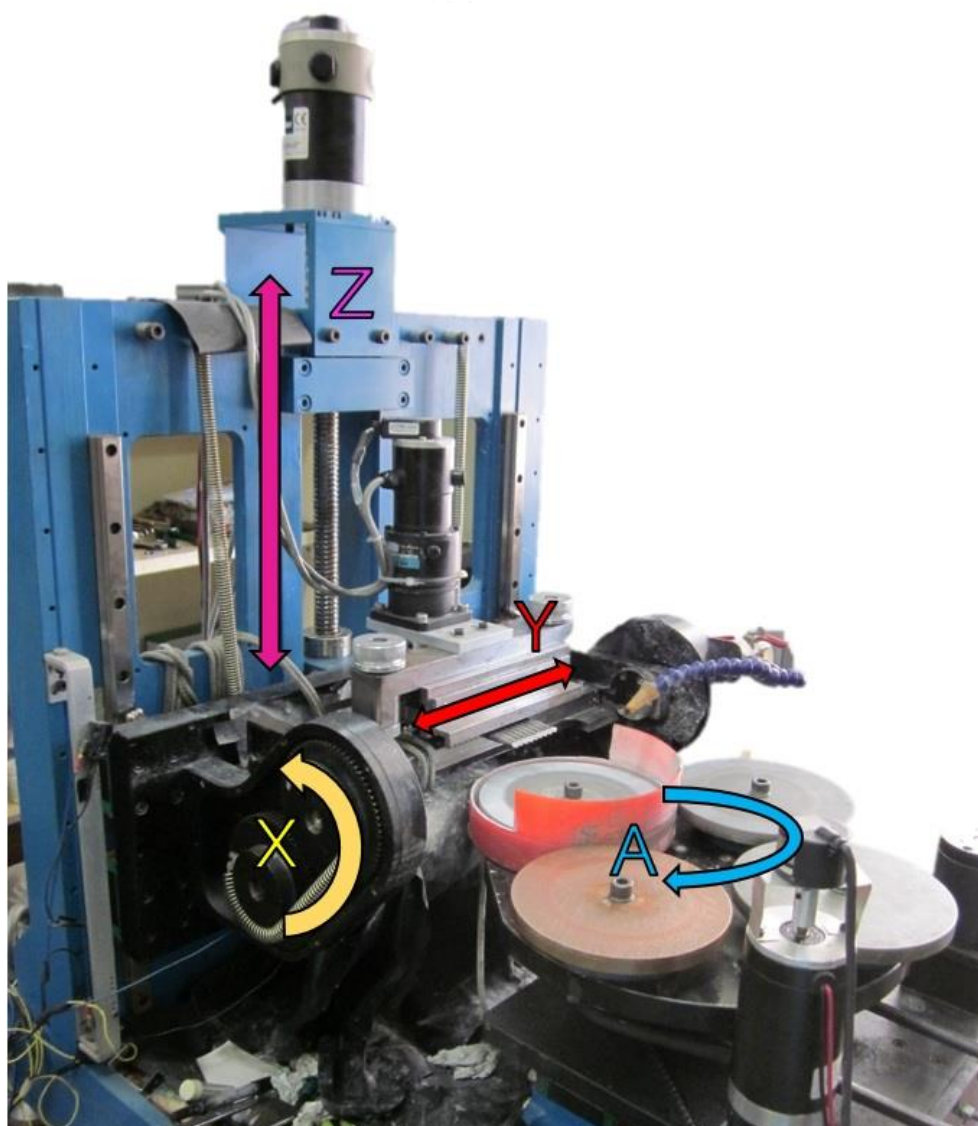
ตัวแปรนี้เป็นตัวกำหนดขนาดของเม็ดพลอยที่นำมาเจียระไน ยิ่งค่าเจียระไนลึกมากจะมีผลต่อขนาดเม็ดพลอยเล็กลง

บทที่ 3 เครื่องเจียรระไนพลอยจิวาแบบอัตโนมัติรุ่นที่ 3

3.1 โครงสร้างและการเคลื่อนที่เครื่องเจียรระไนพลอยจิวาแบบอัตโนมัติรุ่นที่ 3

3.1.1 โครงสร้างเครื่องเจียรระไนพลอยจิวาแบบอัตโนมัติรุ่นที่ 3

เครื่องเจียรระไนพลอยจิวาแบบอัตโนมัติรุ่นที่ 3 ดังรูปที่ 3.1 สามารถควบคุมการเคลื่อนที่ได้ใน 4 แกนสำหรับการปรับมุม, การปรับเหลี่ยมพลอย, การยกพลอยในแนวตั้งและการเปลี่ยนงานเจียรระไน และยังมีแกนการเคลื่อนที่สำหรับหมุนและส่ายงานเจียรระไนอีกด้วย

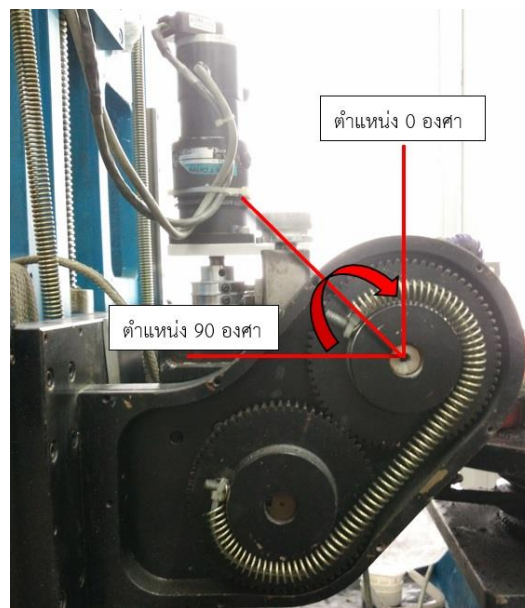


รูปที่ 3.1 เครื่องเจียรระไนพลอยจิวาแบบอัตโนมัติรุ่นที่ 3

3.1.2 การเคลื่อนที่เคลื่อนเจียรระไนพลอยจุฬาแบบอัตโนมัติรุ่นที่ 3

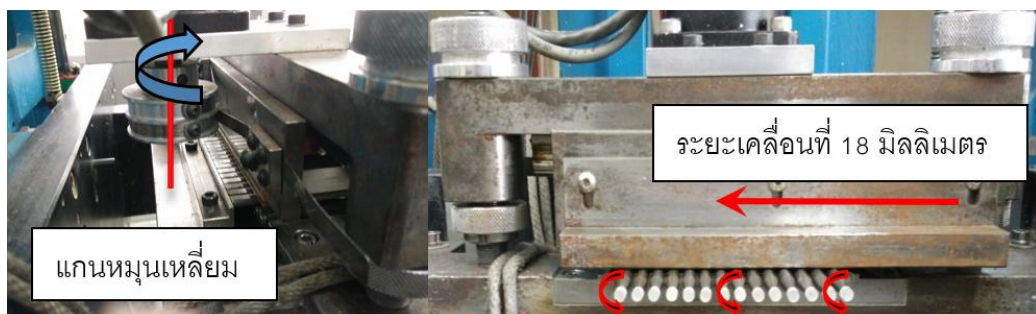
แกนในการเคลื่อนที่ของเครื่องเจียรระไนพลอยที่ได้กล่าวในหัวข้อ 3.1.1 มีชื่อเรียกและหน้าที่ดังนี้

แกนปรับมุม (แกน X) ดังรูปที่ 3.2 ใช้ในการกำหนดมุมของเหลี่ยมพลอย โดยวัดจากจุดกึ่งกลางของทวนติดพลอยกับแนวตั้ง ซึ่งมีค่าตั้งแต่ 0 ถึง 90 องศา



รูปที่ 3.2 แกนปรับมุม
จุฬาลงกรณ์มหาวิทยาลัย
CHULALONGKORN UNIVERSITY

แกนปรับเหลี่ยมพลอย (แกน Y) ดังรูปที่ 3.3 ใช้ในการกำหนดตำแหน่งของเหลี่ยม ระยะทางมากที่สุดของการเคลื่อนที่ตามแกน Y คือ 18 มิลลิเมตร



รูปที่ 3.3 แกนหมุนเหลี่ยมพลอย

แกนยกพลอยในแนวตั้ง (แกน Z) ดังรูปที่ 3.4 ใช้ในการกำหนดขนาดของเม็ดพลอย
ระยะทางมากที่สุดของการเคลื่อนที่ตามแกน Z คือ 35 มิลลิเมตร



รูปที่ 3.4 แกนยกพลอยในแนวตั้ง

แกนเปลี่ยนจานเจียรระไน (แกน A) ดังรูปที่ 3.5 ใช้ในการเลือกจานสำหรับการเจียรระไนและ
การขัดเงาให้เหมาะสมกับความแข็งของพลอย



รูปที่ 3.5 แกนเปลี่ยนจานเจียรระไน

แกนหมุนงานเจียระไน ดังรูปที่ 3.6 สามารถปรับอัตราเร็วการหมุนของงานเจียระไนได้ด้วยการปรับความถี่ของมอเตอร์ไฟฟ้าสามเฟสดังตารางที่ 3.1



รูปที่ 3.6 แสดงแกนหมุนงานเจียระไนพลอย

ตารางที่ 3.1 ความเร็วรอบของเครื่องเจียระไนพลอยจุฬาแบบอัตโนมัติ

INVERTOR (Hz)	อัตราเร็วการหมุนของงานเจียระไนที่วัดได้ (รอบต่อนาที)
10	434
15	708
20	1,000
25	1,293
30	1,593
35	1,898
40	2,195
45	2,486
50	2,780

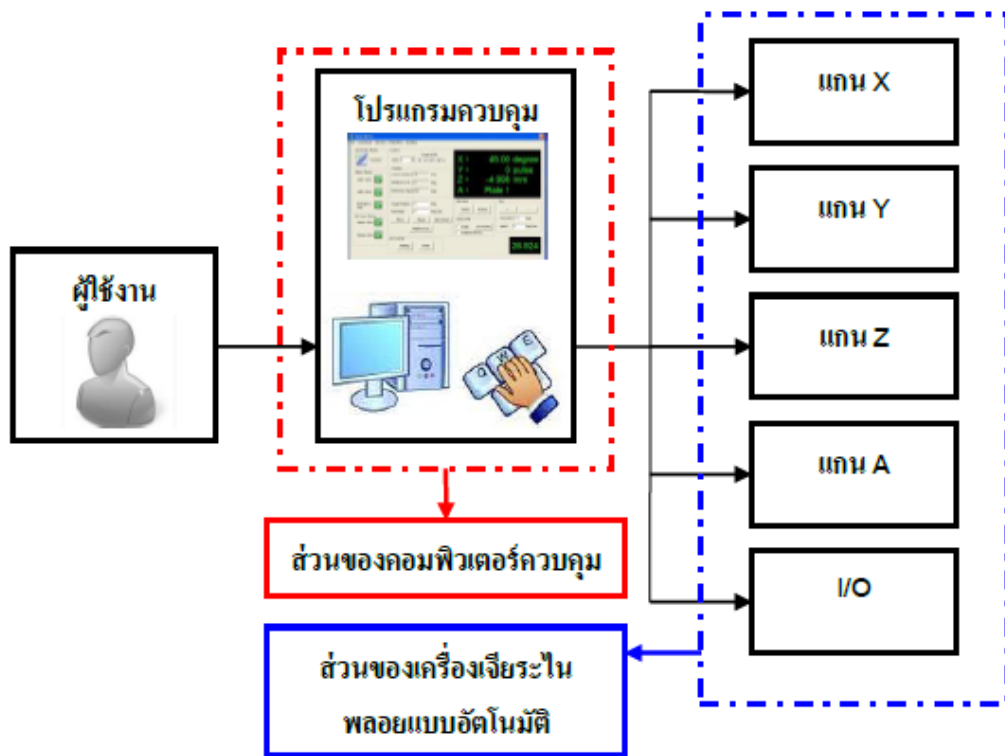
แกนสายงานเจียร์ไน ดังรูปที่ 3.7 ใช้ในการเลื่อนงานเจียร์ไนพลอยแบบกลับไปกลับมา เพื่อให้ผิวของพลอยจากการเจียร์ไนมีความเรียบมากยิ่งขึ้น



รูปที่ 3.7 แกนสายงานเจียร์ไน

3.2 หลักการทำงานของเครื่องเจียร์ไนพลอยจุฬาแบบอัตโนมัติรุ่นที่ 3

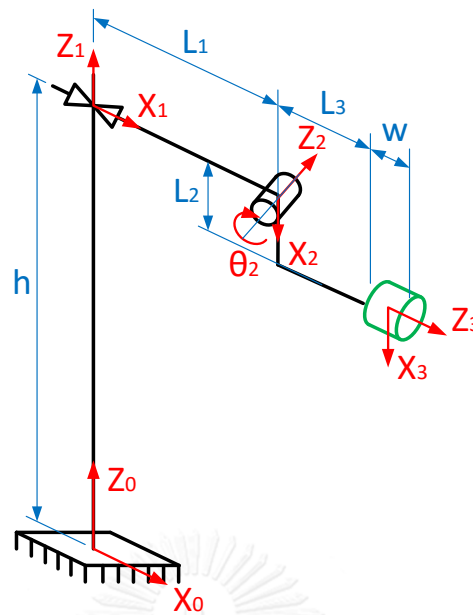
เครื่องเจียร์ไนพลอยจุฬาแบบอัตโนมัติ จะทำงานโดยใช้คอมพิวเตอร์เป็นตัวควบคุม ประมวลผลและส่งคำสั่งไปยังเครื่องเจียร์ไนพลอย ดังรูปที่ 3.8 ผู้ใช้จะต้องป้อนตำแหน่งและความเร็วในการเคลื่อนที่ของแต่ละแกนรวมทั้งค่าพารามิเตอร์ของการเจียร์ไน การควบคุมตำแหน่งในแกน X,Y,Z และ A จะใช้เซอร์โวมอเตอร์ (Servo Motor) เป็นตัวขับเคลื่อนและใช้เอ็นโคดเดอร์ (Encoder) เป็นอุปกรณ์วัดตำแหน่งการเคลื่อนที่ของมอเตอร์ ข้อมูลจากเอ็นโคดเดอร์จะถูกส่งกลับไปยังคอมพิวเตอร์ที่ใช้ในการควบคุม ส่วนการเคลื่อนที่ของแกนหมุนและแกนสายงานเจียร์ไน จะสามารถสั่งการจากคอมพิวเตอร์ให้เริ่มและหยุดด้วยสัญญาณดิจิทัล โดยไม่ควบคุมตำแหน่งและความเร็ว



รูปที่ 3.8 หลักการทำงานของเครื่องเจียระไนพลอยจุฬาแบบอัตโนมัติ

3.3 จลศาสตร์เครื่องเจียระไนพลอยจุฬาแบบอัตโนมัติรุ่นที่ 3

จลศาสตร์ของเครื่องเจียระไนพลอยจุฬาแบบอัตโนมัติ ใช้ในการระบุตำแหน่งจุดศูนย์กลางของพลอยโดยเปรียบเทียบกับตำแหน่งของจานเจียระไน (ในงานวิจัยนี้ไม่สนใจมุมหมุนของพลอย) ดังนั้นการระบุตำแหน่งของพลอยจึงคำนวณจากระยะการเคลื่อนที่ในแกนปรับมุมและแกนยกพลอยในแนวตั้งเท่านั้น การหาแบบจำลองจลศาสตร์เริ่มจากการติดพิกัดอ้างอิงให้กับแกนการเคลื่อนที่แต่ละแกน โดยใช้วิธีของ Denavit-Hartenberg [14] ดังรูปที่ 3.9 แกนที่ 0 ถูกติดอยู่ที่ฐานของเครื่องเจียระไนพลอยแกนที่ 1 ถูกติดอยู่กับแท่นยึดทวนพลอยที่มีการเคลื่อนที่ในแนวตั้ง, แกนที่ 2 ถูกติดอยู่กับจุดหมุนเปลี่ยนมุมพลอยและแกนที่ 3 ถูกติดอยู่ที่จุดศูนย์กลางของพลอย



รูปที่ 3.9 การติดแกนบนเครื่องเจียรระไนพลอยจิวาแบบอัตโนมัติ

ตารางที่ 3.2 แสดงค่าพารามิเตอร์ของ Denavit-Hartenberg สำหรับเครื่องเจียรระไนพลอยจิวาแบบอัตโนมัติ เมื่อติดแกนดังแสดงในรูปที่ 3.9

ตารางที่ 3.2 พารามิเตอร์ของ Denavit-Hartenberg สำหรับเครื่องเจียรระไนพลอยจิวาแบบอัตโนมัติ

i (Link)	α_{i-1} Rot(x)	a_{i-1} Tran(x)	d_i Tran(z)	θ_i Rot(z)
1	0	0	h	0
2	-90	L_1	0	θ_2
3	90	L_2	$L_3 + W/2$	0

3.3.1 แบบจำลองจลศาสตร์แบบไปข้างหน้า (Forward Kinematics)

จากตารางที่ 3.2 จะสามารถหาเมทริกซ์การแปลง ของแกน i โดยเปรียบเทียบกับแกน $i-1$ (Homogeneous Transformation Matrix, T_i^{i-1}) (1)

$$T_i^{i-1} = \begin{bmatrix} \cos \theta_i & -\sin \theta_i \cos \alpha_i & \sin \theta_i \sin \alpha_i & a_i \cos \theta_i \\ \sin \theta_i & \cos \theta_i \cos \alpha_i & -\cos \theta_i \sin \alpha_i & a_i \sin \theta_i \\ 0 & \sin \alpha_i & \cos \alpha_i & d_i \\ 0 & 0 & 0 & 1 \end{bmatrix} \quad (1)$$

เมตริกซ์การแปลงของ Frame 1 เทียบกับ Frame 0

$${}^0T_1 = \begin{bmatrix} 1 & 0 & 0 & 0 \\ 0 & 1 & 0 & 0 \\ 0 & 0 & 1 & h \\ 0 & 0 & 0 & 1 \end{bmatrix} \quad (2)$$

เมตริกซ์การแปลงของ Frame 2 เทียบกับ Frame 1

$${}^1T_2 = \begin{bmatrix} \cos \theta_2 & -\sin \theta_2 & 0 & L_1 \\ 0 & 0 & 1 & 0 \\ -\sin \theta_2 & -\cos \theta_2 & 0 & 0 \\ 0 & 0 & 0 & 1 \end{bmatrix} \quad (3)$$

เมตริกซ์การแปลงของ Frame 3 เทียบกับ Frame 2

$${}^2T_3 = \begin{bmatrix} 1 & 0 & 0 & L_2 \\ 0 & 0 & -1 & -L_3 + W/2 \\ 0 & 1 & 0 & 0 \\ 0 & 0 & 0 & 1 \end{bmatrix} \quad (4)$$

เมตริกซ์การแปลงของแกนที่ 3 โดยเปรียบเทียบกับแกนที่ 0 สามารถหาได้จากสมการ (2), (3) และ (4) คือ

$${}^0T_3 = {}^0T_1 {}^1T_2 {}^2T_3$$

$${}^0T_3 = \begin{bmatrix} \cos \theta_2 & 0 & \sin \theta_2 & L_1 + L_2 \cos \theta_2 + (L_3 - W/2) \sin \theta_2 \\ 0 & 1 & 0 & 0 \\ \sin \theta_2 & 0 & \cos \theta_2 & h - L_2 \sin \theta_2 + (L_3 - W/2) \cos \theta_2 \\ 0 & 0 & 0 & 1 \end{bmatrix} \quad (5)$$

ดังนั้นระยะจากกึ่งกลางของพลอยถึงงานเจียรระไนในแนวตั้ง (Z) คือ

$$Z = h - L_2 \sin \theta_2 + (L_3 - W/2) \cos \theta_2 \quad (6)$$

3.3.2 แบบจำลองจลศาสตร์แบบผกผัน (Inverse Kinematics)

แบบจำลองจลศาสตร์แบบผกผันใช้ในการหาความสูงของแท่นยึดทวนพลอย (h) เมื่อรู้ความสูงของพลอยเมื่อเปรียบเทียบกับงานเจียรระไน (Z) และมุมของพลอย (θ_2) แบบจำลองนี้หาจากสมการที่ (6) ได้ตั้งสมการที่ (7)

$$h = Z + L_2 \sin \theta - (L_3 - W/2) \cos \theta_2 \quad (7)$$

3.4 การควบคุมเครื่องเจียรระไนพลอยจุฬาแบบอัตโนมัติ

เครื่องเจียรระไนพลอยจุฬาแบบอัตโนมัติถูกควบคุมแบบป้อนกลับ (Feedback Control) ดังรูปที่ 3.10 ตำแหน่งของพลอยที่ต้องการถูกกำหนดให้สัญญาณอ้างอิง (Command Reference) จะถูกนำมาเปรียบเทียบกับมุมหมุนของมอเตอร์ซึ่งวัดค่าได้จากเอ็นโค้ดเดอร์เพื่อหาค่าผิดพลาดของตำแหน่ง จากนั้นจึงนำมาคำนวณหาขนาดของสัญญาณควบคุมของตัวควบคุมแบบพีไอดี (PID Controller) ของระบบเวลาไม่ต่อเนื่องได้จากสัญญาณควบคุมจากการควบคุมเชิงสัดส่วน, การควบคุมแบบอินทิกรัล และการควบคุมแบบอนุพันธ์ [15] ดังนี้

สัญญาณควบคุมจากการควบคุมเชิงสัดส่วน

$$u(k) = Ke(k) \quad (8)$$

สัญญาณควบคุมจากการชดเชยตัวควบคุมแบบอินทิกรัล

$$u(k) = u(k-1) + \frac{K}{T_i} Te(k) \quad (9)$$

สัญญาณควบคุมจากการควบคุมแบบอนุพันธ์

$$u(k) = \frac{KT_D}{T} e(k) - e(k-1) \quad (10)$$

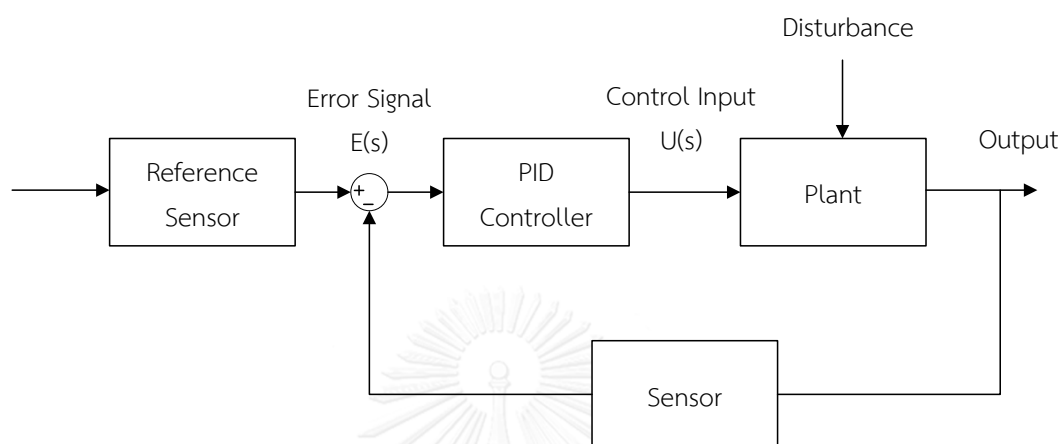
สัญญาณควบคุมของตัวควบคุมพีไอดีของระบบเวลาไม่ต่อเนื่องจากสมการที่ (9), (10) และ (11) คือ

$$u(k) = u(k-1) + K \left[\left(1 + \frac{T}{T_i} + \frac{T_D}{T} \right) e(k) - \left(1 + 2\frac{T_D}{T} \right) e(k-1) + \frac{T_D}{T} e(k-2) \right] \quad (11)$$

จัดรูปสมการได้ดังนี้

$$u(k) = u(k-1) + K_p (e(k) - e(k-1)) - e(k-1) + K_i Te(k) + \frac{K_D}{T} e(k) - 2e(k-1) + e(k-2) \quad (12)$$

สัญญาณควบคุมในสมการที่ (12) หรือ Control Input จะถูกส่งไปยังอุปกรณ์ขยายกระแส (Current Amplifier) ซึ่งจะจ่ายกระแสไฟฟ้าให้กับมอเตอร์ การควบคุมตำแหน่งในแต่ละแกนของเครื่องเจียระไนพลอยจะทำให้พลอยที่ติดไว้ที่ปลายของทวนติดพลอย (Dropstick) เคลื่อนที่ไปยังตำแหน่งที่ต้องการ



รูปที่ 3.10 การควบคุมเครื่องเจียระไนพลอยจุฬาแบบอัตโนมัติ

บทที่ 4 ขั้นตอนในการเจียรระโนพลอยโดยใช้เครื่องเจียรระโนพลอยแบบอัตโนมัติ

4.1 การเตรียมพลอย

พลอยที่จะนำมาเจียรระโนด้วยเครื่องเจียรระโนพลอยจุฬาแบบอัตโนมัติรุ่นที่ 3 จะต้องถูกขึ้นรูปเบื้องต้น (Preshape) ก่อน เนื่องจากพลอยดิบมีรูปร่างและขนาดไม่แน่นอนดังรูปที่ 4.1 ซึ่งถ้านำพลอยดิบเหล่านี้มาเจียรระโนพร้อมกันหลายเม็ดอาจทำให้การกำหนดค่าสำหรับการเจียรระโนสำหรับเครื่องเจียรระโนพลอยแบบอัตโนมัติมีความยุ่งยากและอาจทำให้พลอยที่เจียรระโนได้มีขนาดไม่แน่นอน (ขึ้นอยู่กับพลอยขนาดเล็กที่สุดของพลอยที่นำมาเจียรระโนพร้อมกัน) ดังนั้นพลอยที่จะนำมาทดลองเจียรระโนจึงถูกนำไปขึ้นรูปเบื้องต้นเป็นรูปทรงกระบอกที่มีเส้นผ่านศูนย์กลางและความสูงใกล้เคียงกัน ดังรูปที่ 4.2



รูปที่ 4.1 พลอยดิบคิวบิก เซอร์โคเนีย



รูปที่ 4.2 พลอยที่ผ่านการขึ้นรูปเบื้องต้นเป็นรูปทรงกระบอก

4.2 การตีดพลอยที่ปลายของทวนตีดพลอย

พลอยที่ผ่านการขึ้นรูปเบื้องต้นแล้วจะถูกนำมาวางที่ปลายทวนตีดพลอยซึ่งถูกใส่ไว้ในอุปกรณ์จับยึด ดังรูปที่ 4.3 โดยให้จุดศูนย์กลางของพลอยและทวนตีดพลอยอยู่ใกล้กันมากที่สุด หลังจากนั้นจึงหยอดกาวให้ติดกัน กาวชนิดพิเศษนี้ใช้ระยะเวลาในการแข็งตัวขึ้นอยู่กับปริมาณรังสีอัลตราไวโอเลตที่ได้รับ, มีความแข็งแรงสูงเพียงพอที่จะทนต่อแรงเฉือนที่เกิดขึ้นระหว่างการเจียรระโนพลอย และอ่อนตัวเมื่อได้รับความร้อนซึ่งสามารถถอดพลอยออกจากทวนตีดพลอยได้ สำหรับการวิจัยนี้ ผู้ทดลองใช้ตู้อบรังสีอัลตราไวโอเลตดังรูปที่ 4.4 ในการทำให้กาวแข็งตัวโดยใช้เวลาประมาณ 30 นาที



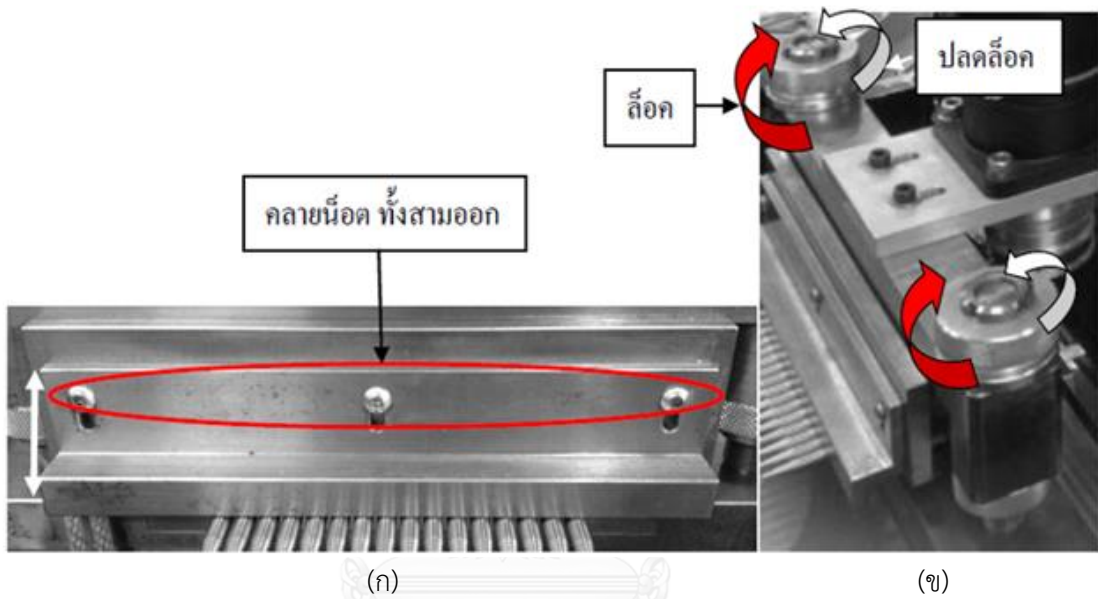
รูปที่ 4.3 การวางพลอยที่ปลายของทวนตีดพลอยบนอุปกรณ์ยึดจับ



รูปที่ 4.4 การทำให้กาวแข็งตัวด้วยตู้อบรังสีอัลตราไวโอเลต

4.3 การใส่ทวนติดพลอยบนเครื่องเจียรระโนพลอยจุฬาแบบอัตโนมัติรุ่นที่ 3

หลังจากคลายน็อตทั้งสามจุดและหมุนปลดล็อกทั้งสองจุดดังรูป 4.5 (ก) และ (ข) ตามลำดับแล้ว จะสามารถนำทวนติดพลอย (ซึ่งติดพลอยที่ปลายแล้ว) ใส่เข้าไปในชุดจับทวนพลอยได้ โดยจะต้องให้ส่วนที่แบนบริเวณด้านท้ายของแต่ละทวนหันขึ้นด้านบนเป็นระนาบเดียวกันดังรูปที่ 4.6 เพื่อใช้เป็นตำแหน่งอ้างอิงของการหมุนพลอย จากนั้นจึงขันน็อตและหมุนล็อกให้ทวนติดพลอยถูกยึดแน่นเข้ากับเครื่องเจียรระโนพลอย



รูปที่ 4.5 ตำแหน่งของล็อกสำหรับยึดทวนติดพลอยเข้ากับเครื่องเจียรระโนพลอยแบบอัตโนมัติ

(ก) ตำแหน่งของน็อตสำหรับยึดทวนติดพลอยเข้ากับเครื่องเจียรระโนพลอยแบบอัตโนมัติ

(ข) ตำแหน่งของน็อตสำหรับหมุนล็อกทวนติดพลอยเข้ากับเครื่องเจียรระโนพลอยแบบอัตโนมัติ

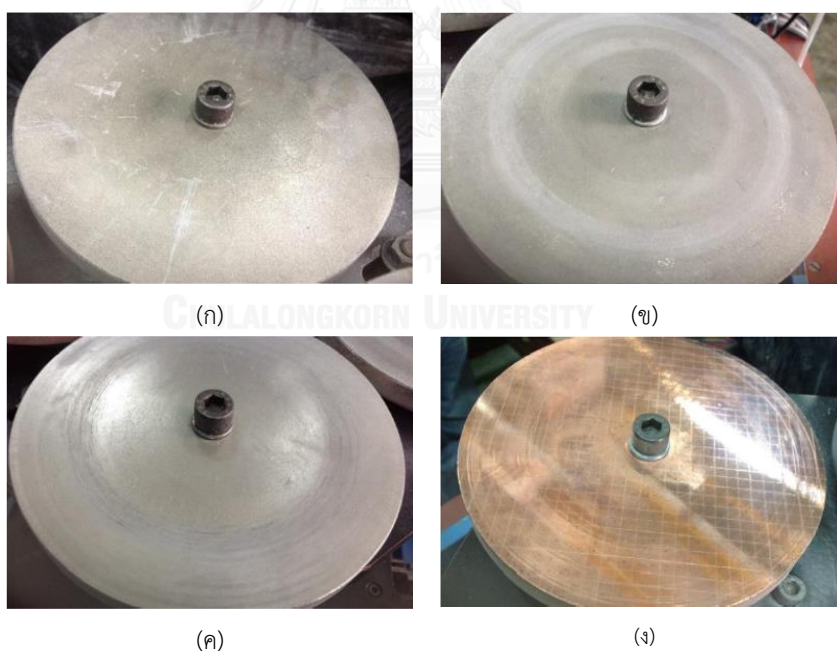


รูปที่ 4.6 การใส่ทวนติดพลอยเข้ากับชุดจับทวนพลอย

4.4 การเจียรระโนด้านบนของพลอย

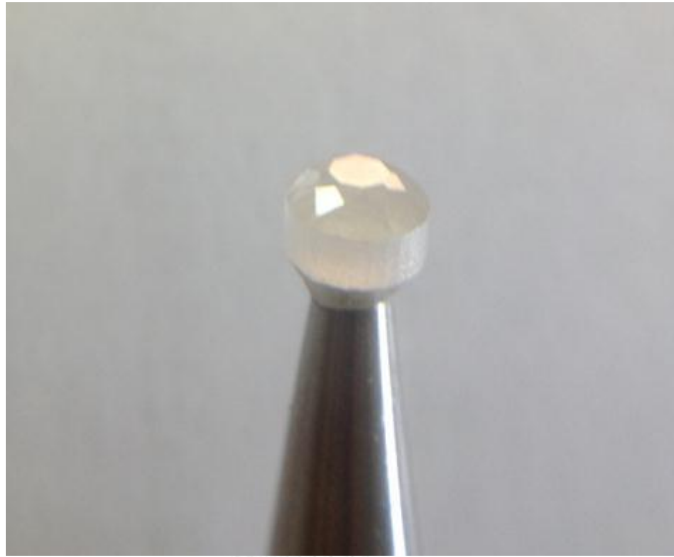
พลอยจะถูกนำมาเจียรระโนให้มีรูปร่างและสัดส่วนตามที่ออกแบบไว้ในโปรแกรม CU Gem Machine ด้วยงานเจียรระโนของเครื่องเจียรระโนพลอยจุฬาแบบอัตโนมัติรุ่นที่ 3 ที่มีความหยาบของผิวจากมากไปน้อยดังรูปที่ 4.7 (ก), (ข) และ (ค) ตามลำดับ จนได้ลักษณะดังรูปที่ 4.8 จากนั้นจึงนำพลอยที่มีรูปร่างและสัดส่วนดีแล้วมาเจียรระโนด้วยงานเจียรระโนสำหรับการขัดเงาดังรูปที่ 4.7 (ง) จากเจียรระโนสำหรับการขัดเงานี้ทำจากทองแดงและถูกกรีดผิวให้เป็นร่องเพื่อใส่ผงเพชรลงไปด้วยครีมดังรูปที่ 4.9

กระบวนการเจียรระโนพลอยจะเริ่มต้นจากการเจียรระโนด้านบนของพลอย (Crown) จากนั้นจะต้องกลับด้านพลอยเพื่อที่จะเจียรระโนด้านล่างของพลอยด้วยงานเจียรระโนในรูปที่ 4.7 แล้วถอดพลอยออกจากทวนติดพลอยเพื่อทำความสะอาดจึงจะได้พลอยเจียรระโนที่เสร็จสมบูรณ์ รายละเอียดของวิธีการกลับด้านพลอยและการเจียรระโนด้านล่างของพลอยจะกล่าวในหัวข้อที่ 4.5 และการถอดพลอยและทำความสะอาดพลอยจะกล่าวต่อไปในหัวข้อที่ 4.6



รูปที่ 4.7 งานเจียรระโนของเครื่องเจียรระโนพลอยจุฬาแบบอัตโนมัติรุ่นที่ 3

- (ก) งานเจียรระโนแบบผิวหยาบมาก
- (ข) งานเจียรระโนแบบผิวหยาบปานกลาง
- (ค) งานเจียรระโนแบบผิวหยาบน้อย
- (ง) งานเจียรระโนสำหรับการขัดเงา



รูปที่ 4.8 พลอยถูกเจียรระไนด้านบนแล้ว



รูปที่ 4.9 การใส่ผงเพชรด้วยครีมลงบนจานทองแดงที่ผ่านการกรัดร่อง

4.5 การกลับด้านพลอย

การกลับด้านพลอยด้วยอุปกรณ์ดังรูปที่ 4.10 มีวิธีการดังนี้ วางทวนติดพลอยแท่งใหม่ซึ่งยังไม่ติดพลอยไว้ที่ปลายไว้บนร่องอุปกรณ์ดังรูปที่ 4.11 (ก) จากนั้นวางแผ่นประกบไว้ที่ด้านบน แล้วใช้น็อตยึดทั้งสองส่วนเข้าด้วยกัน นำทวนติดพลอยซึ่งมีปลายติดกับพลอยที่ถูกเจียรในด้านบนแล้วมายึดเข้ากับอุปกรณ์ในลักษณะเดียวกับข้อ 4.5.1 โดยวางทวนติดพลอยทั้งสองฝั่งให้อยู่ในแนวเดียวกันและให้ปลายของทวนติดพลอยแท่งใหม่ชนกับด้านบนของพลอย ดังรูปที่ 4.11 (ข) หยอดกาวที่บริเวณด้านบนของพลอยกับทวนติดพลอยแท่งใหม่ จากนั้นนำทวนติดพลอยและอุปกรณ์กลับด้านพลอยไปใส่ในตู้อบรังสีอัลตราไวโอเล็ตประมาณ 30 นาทีเพื่อให้กาวแข็งตัว ถอดอุปกรณ์กลับด้านพลอยออกแล้วใช้คีมหนีบที่ด้านข้างของพลอยดังรูปที่ 4.12 แล้วใช้มือหักที่ทวนติดพลอยซึ่งมีปลายติดกับด้านล่างของพลอยออก เพื่อให้เหลือเพียงทวนติดพลอยแท่งใหม่ที่มีปลายติดกับด้านบนของพลอยเท่านั้นดังรูปที่ 4.13 นำทวนติดพลอยที่มีปลายติดกับด้านบนของพลอยมายึดใส่ในเครื่องเจียรระโนแบบอัตโนมัติตามหัวข้อที่ 4.3 แล้วเจียรระโนด้านล่างของพลอยด้วยวิธีการในหัวข้อที่ 4.4 จะได้พลอยดังรูปที่ 4.14



รูปที่ 4.10 อุปกรณ์กลับด้านพลอย



(ก)



(ข)

รูปที่ 4.11 การวางทวนติดฟลอยบนอุปกรณ์กลับด้านฟลอย

(ก) การวางทวนบนร่องของอุปกรณ์กลับด้านฟลอย

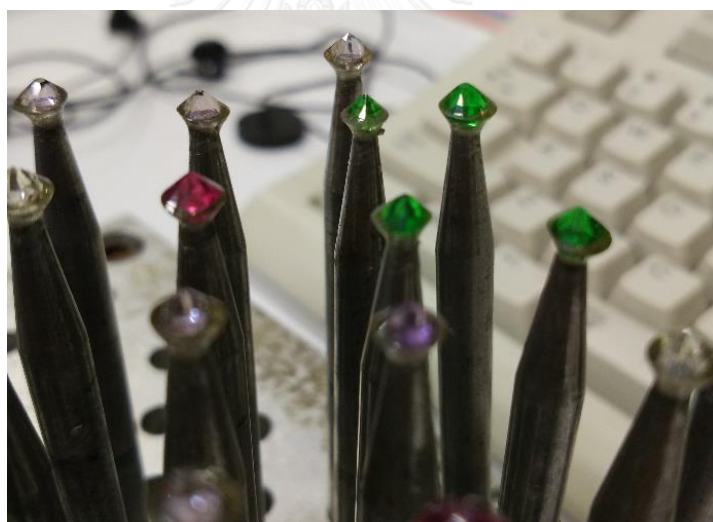
(ข) การยึดทวนติดฟลอยทั้งสองด้านเพื่อหยอดกาวที่ด้านล่างของฟลอย



รูปที่ 4.12 การใช้คีมหนีบด้านข้างของฟลอย



รูปที่ 4.13 ทวนติดฟลอยที่มีปลายติดกับด้านบนของฟลอย



รูปที่ 4.14 ฟลอยซึ่งถูกเจียรระไนที่ด้านล่างแล้ว

4.6 การถอดฟลอยและทำความสะอาดฟลอย

เมื่อนำทวนติดฟลอยซึ่งมีปลายติดกับฟลอยที่เจียรระไนทั้งด้านบนและด้านล่างแล้วมาอุ่นด้วยไฟดังรูปที่ 4.15 จะทำให้กาวอ่อนตัวลง ทำให้สามารถถอดฟลอยออกจากทวนติดฟลอยได้ โดยจะต้องระวังไม่ให้เปลวไฟสัมผัสกับฟลอยโดยตรง มิเช่นนั้นจะทำให้ฟลอยไหม้และแตกได้ จากนั้นให้นำฟลอยมาแช่ในน้ำผสมโซดาไฟเป็นเวลา 10 นาที แล้วเซ็ดฟลอยที่ทำความสะอาดแล้วด้วยกระดาษทิชชู จึงจะได้ฟลอยเจียรระไนที่เสร็จสมบูรณ์



รูปที่ 4.14 การถอดพลอยออกจากทวนติดพลอยด้วยการอุ่นไฟ

บทที่ 5 การทดลองและผลการทดลอง

5.1 การทดลองหาค่าพารามิเตอร์ที่มีผลต่อการเจียรไนชิ้นเหลี่ยม

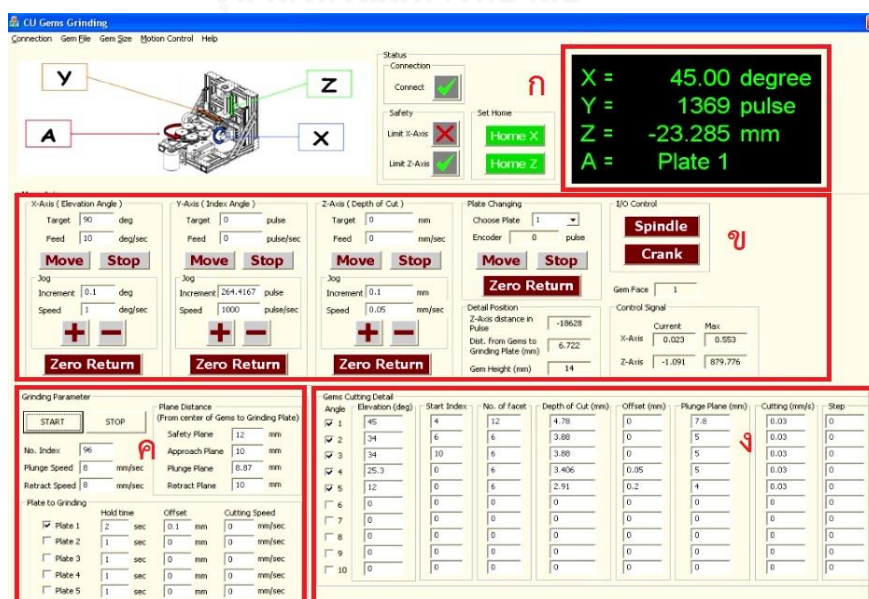
วัตถุประสงค์ที่คาดหวังของการทดลองหาค่าพารามิเตอร์ที่มีผลต่อการเจียรไนชิ้นเหลี่ยม คือ ได้ค่าพารามิเตอร์ที่ทำให้คุณภาพผิวหลังจากเจียรไนชิ้นเหลี่ยมมีคุณภาพที่ราบเรียบเพื่อใช้ในการเจียรไนขัดชิ้นงาน ซึ่งค่าพารามิเตอร์นี้จะใช้เป็นค่าพารามิเตอร์อ้างอิงสำหรับการเจียรไนพลอยด้วยเครื่องเจียรไนพลอยจุฬาอัตโนมัติรุ่นที่ 3

5.1.1 กลุ่มตัวอย่าง

ในการทดลองผู้วิจัยได้ทำการทดลองโดยเลือกใช้พลอยควิบิค เซอร์โคเนีย มีค่าความแข็งอยู่ที่ 8.5 Mohs มีขนาดเส้นผ่านศูนย์กลาง 16 มิลลิเมตร สูง 10 มิลลิเมตร เป็นอัญมณีที่นิยมใช้แพร่หลายในอุตสาหกรรมอัญมณีและเครื่องประดับเนื่องจากมีราคาไม่แพงและคุณสมบัติใกล้เคียงกับเพชร

5.1.2 เครื่องมือที่ใช้ในการทดลอง

เครื่องมือที่ใช้ในการทดลองคือเครื่องเจียรไนพลอยจุฬาแบบอัตโนมัติรุ่นที่ 3 ที่ถูกพัฒนาขึ้นดังรูปที่ 5.1 เครื่องเจียรไนพลอยจะเชื่อมต่อทำงานด้วยคอมพิวเตอร์ผ่านโปรแกรมที่สามารถกำหนดค่าพารามิเตอร์ต่างๆที่ใช้ในการเจียรไนพลอยและโปรแกรมนี้จะแสดงผลข้อมูลต่างๆให้ทราบตลอดการใช้งาน ได้แก่ มุมองศา เหลี่ยมแต่ละมุม ความสูงในการเจียรไนและงานเจียรไนที่เลือกใช้ ณ เวลาจริงที่ใช้ในการเจียรไน



รูปที่ 5.1 ส่วนติดต่อโปรแกรมสำหรับเจียรไนพลอย

รายละเอียดส่วนประกอบของโปรแกรมสำหรับการเจียรระโนเป็นดังนี้

- ก. ส่วนที่แสดงสถานะการเคลื่อนที่ในแต่ละแกนและงานที่เลือกใช้ในการเจียรระโนพลอยของเครื่องเจียรระโนพลอย
- ข. ส่วนที่กำหนดการเคลื่อนที่เครื่องเจียรระโนพลอยได้แก่แกนหมุนองศา แกนหมุนเหลี่ยมพลอย แกนยกขึ้น-ลง แกนเปลี่ยนงานเจียรระโน แกนสายงานและแกนหมุนงานเจียรระโน
- ค. ส่วนที่กำหนดความเร็วในการเปลี่ยนมุมของเม็ดพลอย งานที่เลือกใช้เจียรระโน ระยะเวลาแช่พลอย รวมไปถึงการเปิดใช้งานและยกเลิกการเจียรระโนอัตโนมัติ
- ง. ส่วนที่กำหนดรายละเอียดในการเจียรระโนพลอยได้แก่ องศาเหลี่ยมพลอยที่ต้องการเจียรระโน, จำนวนเหลี่ยมที่ต้องการเจียรระโน, ความลึกในการกัดและอัตราป้อนของเม็ดพลอย

5.1.3 ขั้นตอนการทดลอง

- 1) เริ่มต้นโดยนำพลอยคิวบิก เซอร์โคเนีย ที่ถูกยึดติดกับทวนติดพลอยยึดเข้ากับชุดจับทวนของเครื่องเจียรระโนพลอย
- 2) ตั้งตำแหน่งเริ่มต้นของเครื่องเจียรระโนพลอย (Home Position) โดยใช้คำสั่ง Set Home แกน X และแกน Z ในโปรแกรมควบคุมเครื่องเจียรระโนพลอย
- 3) ปรับมุมเจียรระโนพลอยของแกน x ที่ 45 องศา และระยะเจียรระโนพลอยลึก 3 มิลลิเมตร ทดลองเจียรระโนพลอยเพียง 1 หน้าเพื่อให้เห็นผิวที่ชัดเจน
- 4) ขณะเจียรระโนพลอยต้องหยดน้ำเพื่อลดอุณหภูมิและระบายเศษพลอยที่ติดอยู่บนงานเจียรระโนดังรูป 5.2
- 5) ทำการทดลองโดยปรับค่าพารามิเตอร์ได้แก่ เบอร์งานเจียรระโน 600, 800, 1200 อัตราเร็วการหมุนของงานเจียรระโน 1500, 1800, 2100 รอบต่อนาที อัตราป้อน 1.0, 1.5, 2.0 มิลลิเมตรต่อวินาที และระยะเวลาแช่พลอย 0, 2 วินาที ดังตารางที่ 5.1
- 6) ตรวจสอบคุณภาพการเจียรระโนด้วยกล้องดิจิทัลกำลังขยาย 20 เท่า เพื่อวัดค่าความหยาบผิว (Roughness) ซึ่งจะสะท้อนให้เห็นได้ถึงความราบเรียบของผิวดังรูป 5.3 และทำการกลับสีภาพเพื่อให้เห็นความคุณภาพของผิวที่ได้จากการทดลองขึ้น
- 7) นำข้อมูลทั้งหมดมาวิเคราะห์และสรุปผลเพื่อหาพารามิเตอร์ที่เหมาะสมสำหรับการเจียรระโนขึ้นเหลี่ยมด้วยเครื่องเจียรระโนพลอยจุฬาแบบอัตโนมัติ

ตารางที่ 5.1 สภาวะเงื่อนไขของพารามิเตอร์เจียรไนที่ใช้ในการทดลอง

พารามิเตอร์	ช่วง (Range)
ความละเอียดของงานเจียรไน	600, 800, 1200
ความเร็วในการเจียรไน (รอบต่อนาที)	1500, 1800, 2100
อัตราป้อน (มิลลิเมตรต่อนาที)	1, 1.5, 2
ระยะเวลาแช่หน้าพลอย (วินาที)	0, 2



รูปที่ 5.2 การทดลองเจียรไนพลอยแล้วปรับค่าพารามิเตอร์ต่างๆ

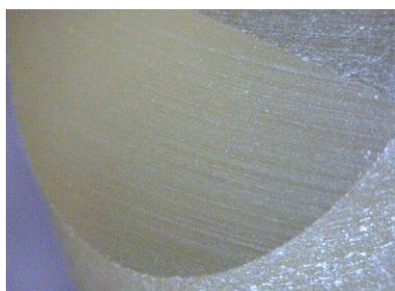
จุฬาลงกรณ์มหาวิทยาลัย



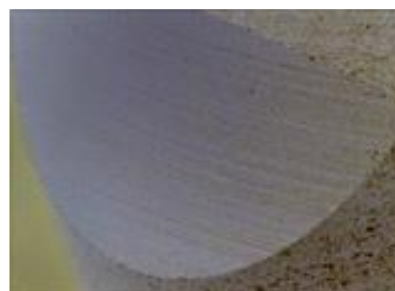
รูปที่ 5.3 กล้องที่ใช้ในการตรวจสอบคุณภาพผิวพลอย

5.1.4 ผลการทดลองและการประเมินผล

จากข้อมูลที่ได้จากการทดลองดังรูป 5.4, 5.5, 5.6 สามารถแบ่งคุณภาพผิวพลอยได้ 2 แบบ คือ ผิวราบเรียบดังรูป 5.4 และผิวเกิดรอยขรุขระดังรูป 5.5 ข้อมูลภาพถ่ายจะอยู่ในภาพผนวก ก



(ก)

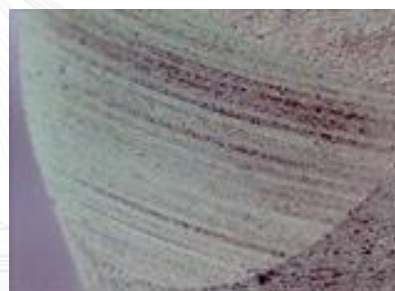


(ข)

รูปที่ 5.4 ผลการทดลองเจียรไนพลอยผิวราบเรียบ (ก) ภาพจริง (ข) ภาพกลับสี



(ก)

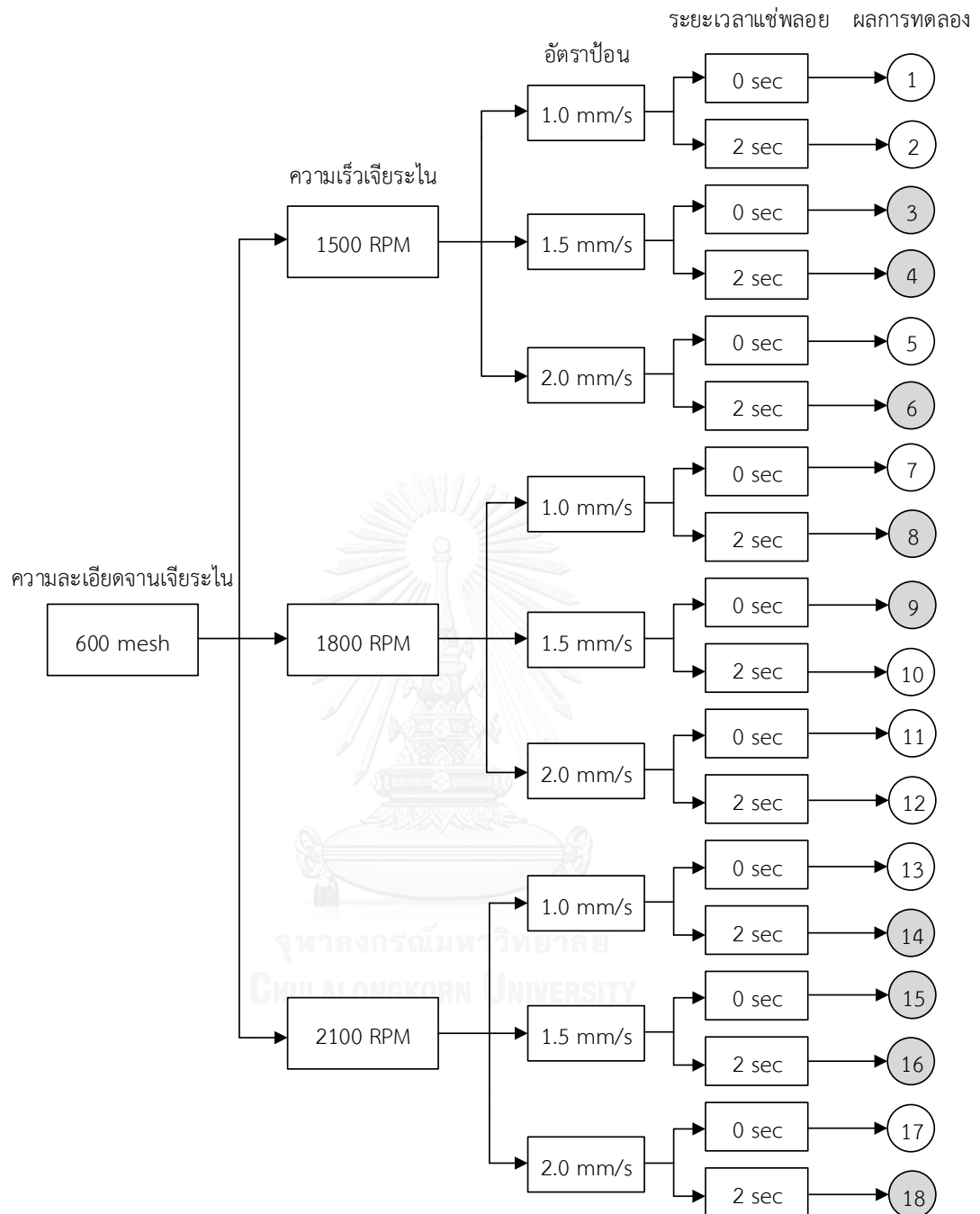


(ข)

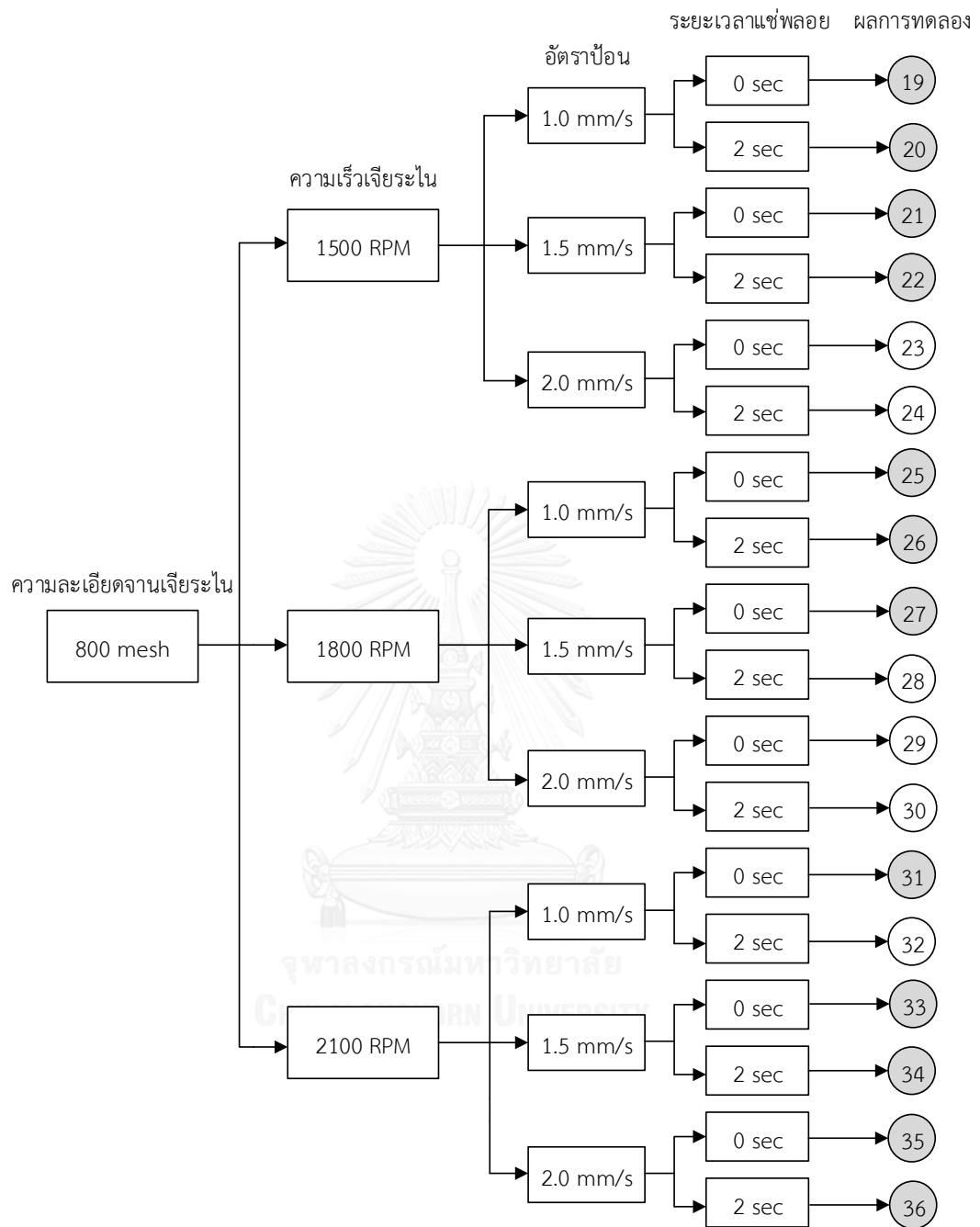
รูปที่ 5.5 ผลการทดลองเจียรไนพลอยคุณภาพขรุขระ (ก) ภาพจริง (ข) ภาพกลับสี

5.1.5 สรุปผลการทดลอง

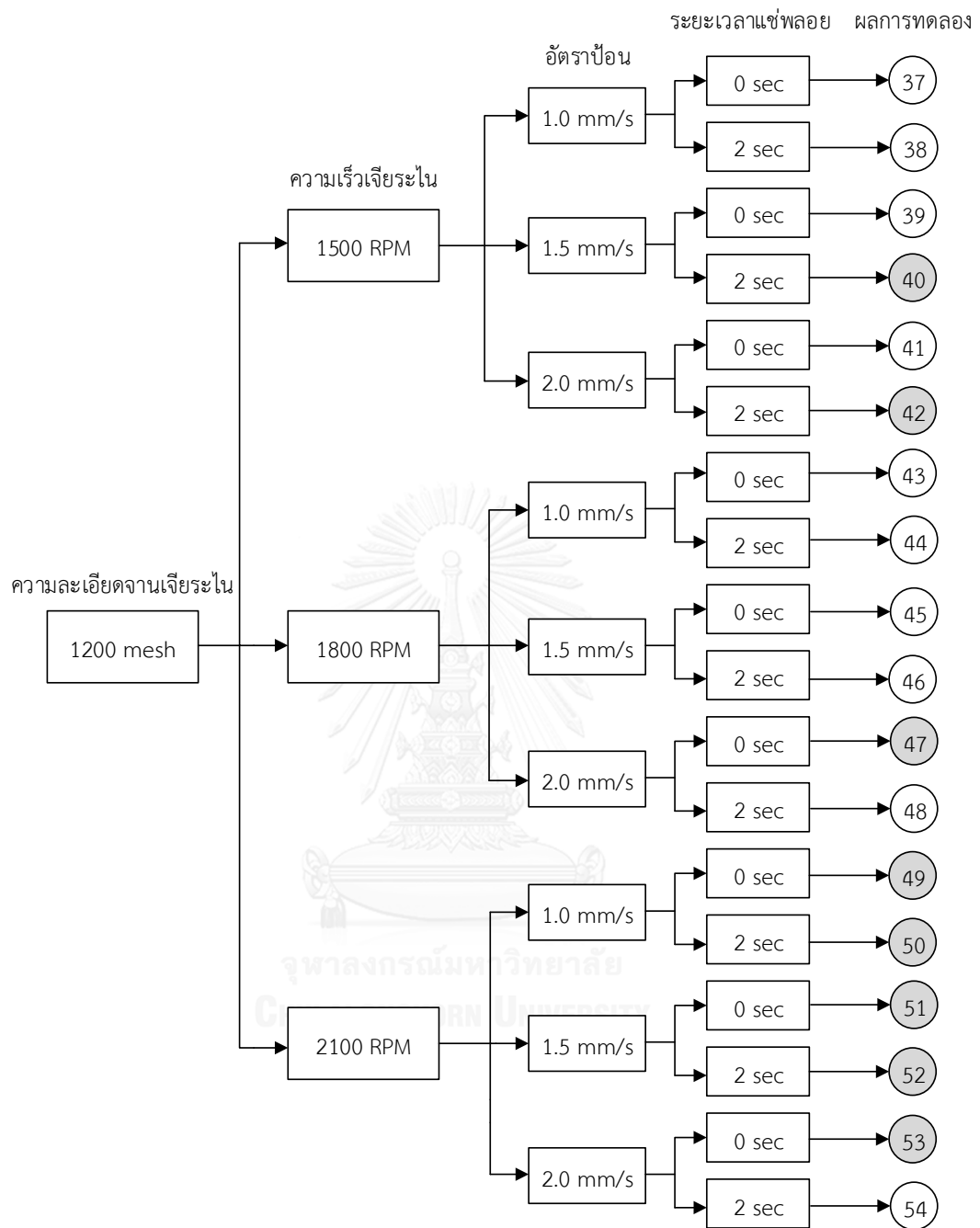
จากการทดลองหาค่าพารามิเตอร์ที่มีผลต่อการเจียรไนขึ้นเหลี่ยมดังรูป 5.6, 5.7, 5.8 ทั้งหมด 54 การทดลอง ซึ่งเป็นภาพแสดงเงื่อนไขที่ใช้ในการเจียรไนขึ้นเหลี่ยม หลักที่ 1 คือ ความละเอียดของงานที่ใช้ในการเจียรไนพลอย หลักที่ 2 คือ ความเร็วที่ใช้ในการเจียรไนพลอย หลักที่ 3 คือ อัตราป้อน หลักที่ 4 คือ ระยะเวลาแช่พลอย และหลักที่ 5 คือ เลขแสดงผลการทดลอง ซึ่งจากผลการทดลองโดยการปรับค่าพารามิเตอร์เกี่ยวกับการเจียรไนพลอยดังกล่าวจะพบว่าได้ผิวพลอยที่มีคุณภาพราบเรียบ 29 การทดลองตามหมายเลขในวงกลมพื้นสีเทา เช่น หมายเลข 3, 4, 6, 8, 9, 14, 15, 16 และ 18 ของรูปที่ 5.6 โดยถือว่ามีคุณภาพของผิวที่ได้มาตรฐาน ส่วนการทดลองที่ผิวพลอยมีรอยขรุขระนั้นจะมีทั้งสิ้น 25 การทดลองตามหมายเลขในวงกลมพื้นสีขาว เช่น หมายเลข 1, 2, 5, 7, 10, 11, 12, 13 และ 17 ของรูปที่ 5.6 ซึ่งถือว่าคุณภาพของผิวไม่ได้มาตรฐาน



รูปที่ 5.6 เงื่อนไขพารามิเตอร์ในการเจียรระโนพลอยความละเอียดงาน 600



รูปที่ 5.7 เจียนไซพารามิเตอร์ในการเจียรไนพลอยความละเอียดจาน 800



รูปที่ 5.8 เงื่อนไขพารามิเตอร์ในการเจียรไนพลอยความละเอียดจาน 1200

5.1.5.1 มุมมองความหยาบของงานเจียระไน

จากการทดลองพบว่างานเจียระไนเบอร์ 800 มีผลการทดลองคุณภาพผิวของงานเจียระไนพลอยมีความราบเรียบมากที่สุด

งานเจียระไนเบอร์ 600	งานเจียระไนเบอร์ 800	งานงานเจียระไนเบอร์ 1200
9 ผลการทดลองผิวราบเรียบ	12 ผลการทดลองผิวราบเรียบ	8 ผลการทดลองที่ราบเรียบ

5.1.5.2 มุมมองความเร็วงานหมุนงาน

จากการทดลองพบว่าความเร็วงานหมุน 2100 รอบต่อนาที มีผลการทดลองคุณภาพผิวของงานเจียระไนพลอยมีความราบเรียบมากที่สุด

1500 RPM	1800 RPM	2100 RPM
9 ผลการทดลองผิวราบเรียบ	6 ผลการทดลองผิวราบเรียบ	14 ผลการทดลองที่ราบเรียบ

5.1.5.3 มุมมองอัตราป้อน

จากการทดลองพบว่าอัตราป้อน 1.5 มิลลิเมตรต่อวินาที มีผลการทดลองคุณภาพผิวของงานเจียระไนพลอยมีความราบเรียบมากที่สุด

1.0 mm/s	1.5 mm/s	2.0 mm/s
9 ผลการทดลองผิวราบเรียบ	13 ผลการทดลองผิวราบเรียบ	7 ผลการทดลองที่ราบเรียบ

5.1.5.4 ระยะเวลาแช่พลอย

จากการทดลองพบว่าระยะเวลาแช่พลอย 2 วินาที มีผลการทดลองคุณภาพผิวของงานเจียระไนพลอยมีความราบเรียบมากที่สุด

0 sec	2 sec
13 ผลการทดลองผิวราบเรียบ	14 ผลการทดลองผิวราบเรียบ

5.2 การทดลองหาค่าพารามิเตอร์ที่เหมาะสมสำหรับชุดชิ้นงานพลอย

การทดลองนี้มีวัตถุประสงค์เพื่อหาค่าพารามิเตอร์ที่เหมาะสมของเครื่องเจียรระโนพลอยจุฬา แบบอัตโนมัติรุ่นที่ 3 ที่ทำให้พลอยมีคุณภาพเงาราบเรียบและมีระยะเวลาในการเจียรระโนสั้นที่สุด โดยเป็นการทดลองเจียรระโนพลอยรูปแบบบริลเลียน โดยใช้พลอยควิบิก เซอร์โคเนียและพลอยกระจก

5.2.1 กลุ่มตัวอย่าง

ในการทดลองผู้วิจัยได้ใช้พลอยควิบิก เซอร์โคเนียและพลอยกระจก ซึ่งมีขนาดที่ใช้ในการทดลองดังนี้

- พลอยควิบิก เซอร์โคเนียทรงกระบอกเส้นผ่านศูนย์กลาง 4 มิลลิเมตร สูง 4 มิลลิเมตร
- พลอยควิบิก เซอร์โคเนียทรงกระบอกเส้นผ่านศูนย์กลาง 6 มิลลิเมตร สูง 6 มิลลิเมตร
- พลอยควิบิก เซอร์โคเนียทรงกระบอกเส้นผ่านศูนย์กลาง 9 มิลลิเมตร สูง 9 มิลลิเมตร
- พลอยกระจกทรงกระบอกเส้นผ่านศูนย์กลาง 4 มิลลิเมตร สูง 4 มิลลิเมตร
- พลอยกระจกทรงกระบอกเส้นผ่านศูนย์กลาง 6 มิลลิเมตร สูง 6 มิลลิเมตร
- พลอยกระจกทรงกระบอกเส้นผ่านศูนย์กลาง 9 มิลลิเมตร สูง 9 มิลลิเมตร

5.2.2 เครื่องมือที่ใช้

เครื่องมือที่นำมาใช้ในการทดลองคือ เครื่องเจียรระโนพลอยจุฬาแบบอัตโนมัติรุ่นที่ 3 ซึ่งเครื่องเจียรระโนพลอยจะถูกควบคุมด้วยคอมพิวเตอร์ที่มีโปรแกรมสำหรับการเจียรระโนพลอย โดยใช้โปรแกรมเดียวกับการทดลองที่ 5.1

5.2.3 ขั้นตอนการทดลอง

- 1) เริ่มต้นโดยนำพลอยควิบิก เซอร์โคเนียและพลอยกระจกที่ผ่านการเจียรระโนชิ้นเหลี่ยม โดยใช้ค่าพารามิเตอร์จากผลการทดลองที่ 5.1 และถูกเจียรระโนตามรูปแบบบริลเลียนดังรูป 5.9 ที่ออกแบบด้วยโปรแกรม ซียู-โซลิด [16] ยึดเข้ากับชุดจับทวนของเครื่องเจียรระโนพลอย
- 2) ตั้งตำแหน่งเริ่มต้นของเครื่องเจียรระโนพลอย (Home Position) โดยใช้คำสั่ง Set Home แกน X และแกน Z ในโปรแกรมควบคุมเครื่องเจียรระโนพลอย

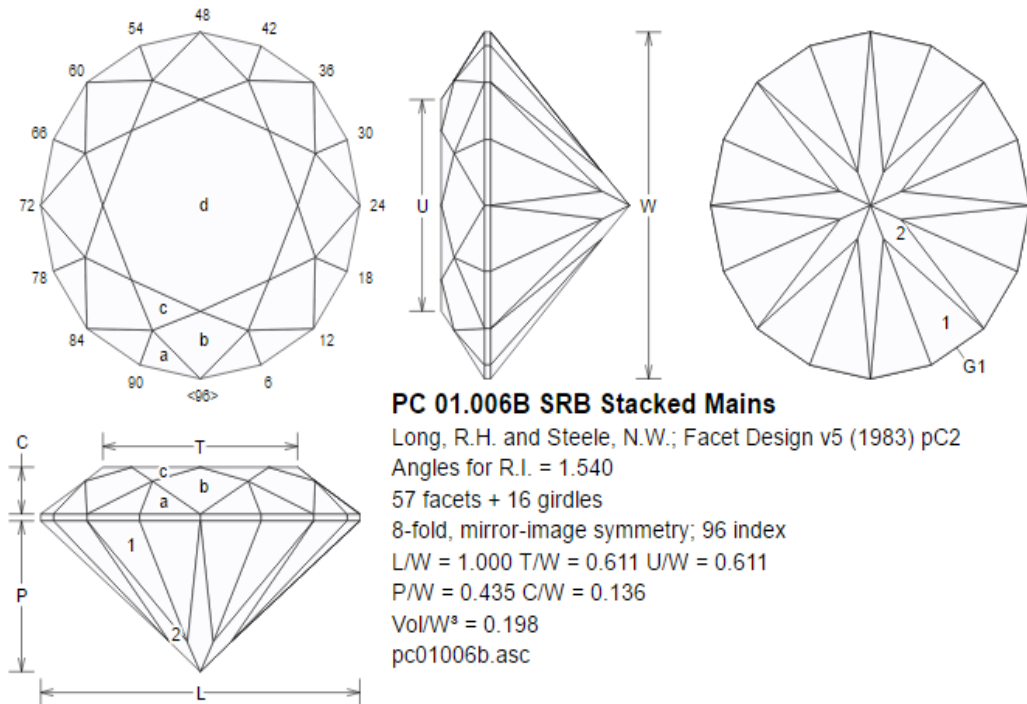
- 3) ทำการทดลองดังตารางที่ 5.3 โดยใช้มีดพลอยขนาด 3, 5, 8 มิลลิเมตร ซึ่งมีดพลอยขนาด 3 และ 5 มิลลิเมตรเจียรระไนครั้งละ 1, 5, 10, 14 เม็ดตามลำดับ และพลอยขนาด 8 มิลลิเมตรเจียรระไนครั้งละ 1, 3, 5 เม็ดตามลำดับ โดยใช้อัตราป้อน 0.05, 0.08, 0.11, 0.14, 0.17, 0.20 และมีค่าพารามิเตอร์ควบคุมดังตารางที่ 5.2 ได้แก่ ผงเพชรความละเอียด 1 ไมโครเมตร, ความลึกในการตัด 40 ไมโครเมตร, ความเร็วงานหมุน 2100 รอบต่อนาที, ระยะยกพลอย 0.3 มิลลิเมตร และระยะเวลาแช่พลอย 2 วินาที
- 4) เมื่อเจียรระไนไปถึงค่าที่ทำให้คุณภาพพลอยเปลี่ยน ทำการทดสอบซ้ำที่อัตราป้อนส่งผลกับคุณภาพพลอยและจุดก่อนหน้านี้อย่างละ 5 ครั้ง
- 5) สำหรับพลอยคิวบิก เซอร์โคเนีย ใช้กล้องสำหรับดูรูปแบบ Heart and Arrow ตรวจสอบคุณภาพมีดพลอย
- 6) สำหรับพลอยกระจกมีแสงสะท้อนกลับไม่เพียงที่จะมองเห็น Heart and Arrow จึงใช้กล้องดิจิทัลกำลังขยาย 20 เท่าในการตรวจสอบคุณภาพของมีดพลอย
- 7) นำข้อมูลทั้งหมดมาวิเคราะห์และสรุปผล

ตารางที่ 5.2 พารามิเตอร์ควบคุมการทดลองเจียรระไนขัดเงา

วัสดุขัดเงา	งานทองแดงกรีตร่อง
ผงเพชร (ไมโครเมตร)	0-1
ความลึกในการกัด (ไมโครเมตร)	40
ความเร็วงานหมุน (รอบต่อนาที)	2100
ระยะยกพลอย (มิลลิเมตร)	0.3
ระยะเวลาแช่พลอย (วินาที)	2

ตารางที่ 5.3 สภาวะเงื่อนไขของพารามิเตอร์เจียรระไนที่ใช้ในการทดลอง

วัสดุที่ใช้ในการทดลอง	พลอยคิวบิก เซอร์โคเนีย, พลอยกระจก
เส้นผ่านศูนย์กลางมีดพลอย (มิลลิเมตร)	3,5,8
จำนวนที่ใช้ในการทดลองแต่ละครั้ง (เม็ด)	1,3,5,7,10,14
อัตราป้อน (มิลลิเมตรต่อวินาที)	0.05,0.08,0.11,0.14,0.17,0.20



Pavilion		Crown	
G1	90.00° 03-09-15-21-27-33-39-45-51-57-63-69-75-81-87-93	a	42.30° 03-09-15-21-27-33-39-45-51-57-63-69-75-81-87-93
1	42.10° 03-09-15-21-27-33-39-45-51-57-63-69-75-81-87-93	b	35.00° 96-12-24-36-48-60-72-84
2	41.00° 96-12-24-36-48-60-72-84	c	19.80° 06-18-30-42-54-66-78-90
		d	0.00° Table

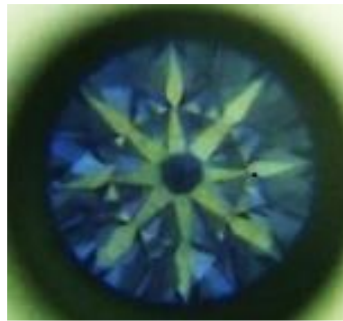
รูปที่ 5.9 แบบพลอยบริลเลียนมาตรฐาน

จุฬาลงกรณ์มหาวิทยาลัย
 CHULALONGKORN UNIVERSITY

5.2.4 ผลการทดลองและการประเมินผล

ในการประเมินความสมบูรณ์ของการเจียรไนขัดเงาพลอยคิวบิก เซอร์โคเนียด้วยเครื่องเจียรไนพลอยจิวาแบบอัตโนมัติ งานวิจัยนี้ใช้กล้องดิจิทัลที่มีกำลังขยาย 20 เท่าในการดูคุณภาพพลอย ซึ่งหากการเจียรไนมีคุณภาพผิวที่ดีจะสามารถมองเห็นรูป Heart and Arrow ได้ชัดเจนทั้งด้านบนและด้านล่างของเม็ดพลอยดังแสดงในรูปที่ 5.10 แต่หากการเจียรไนมีคุณภาพผิวที่ไม่ดีจะมองเห็นรูป Heart and Arrow ได้ไม่ชัดเจนและไม่สมบูรณ์ดังแสดงในรูป 5.11

เนื่องจากพลอยกระจกมีค่าหักเหของแสงไม่เพียงพอที่จะเห็นรูป Heart and Arrow ในเม็ดพลอย ดังนั้นการประเมินคุณภาพของการเจียรไนขัดเงาของพลอยกระจกจึงใช้การสังเกตพื้นผิวของพลอยโดยตรง โดยใช้กล้องดิจิทัลที่มีกำลังขยาย 20 เท่า ซึ่งผลลัพธ์สามารถแสดงได้ดังรูปที่ 5.12 โดยภาพถ่ายเป็นพลอยที่มีผิวราบเรียบ และภาพว่าเป็นพลอยที่มีรอยขีดข่วน



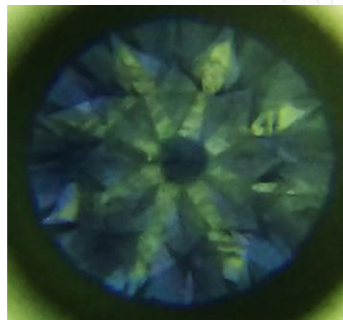
(ก)



(ข)

รูปที่ 5.10 คุณภาพผิวราบเรียบของ Heart and Arrow

(ก) มองจากด้านบน (ข) มองจากด้านล่าง



(ก)



(ข)

รูปที่ 5.11 คุณภาพผิวเรียบเกิดริ้วรอย Heart and Arrow

(ก) มองจากด้านบน (ข) มองจากด้านล่าง



(ก)



(ข)

รูปที่ 5.12 คุณภาพผิวพลอยกระจกผ่านกล้องดิจิทัลขยาย 20 เท่า

(ก) ผิวราบเรียบ (ข) ผิวขรุขระ

5.2.4.1 ผลการทดลองที่ 1 พลอยคิวบิก เซอร์โคเนีย ขนาดเส้นผ่านศูนย์กลาง 3 มิลลิเมตร

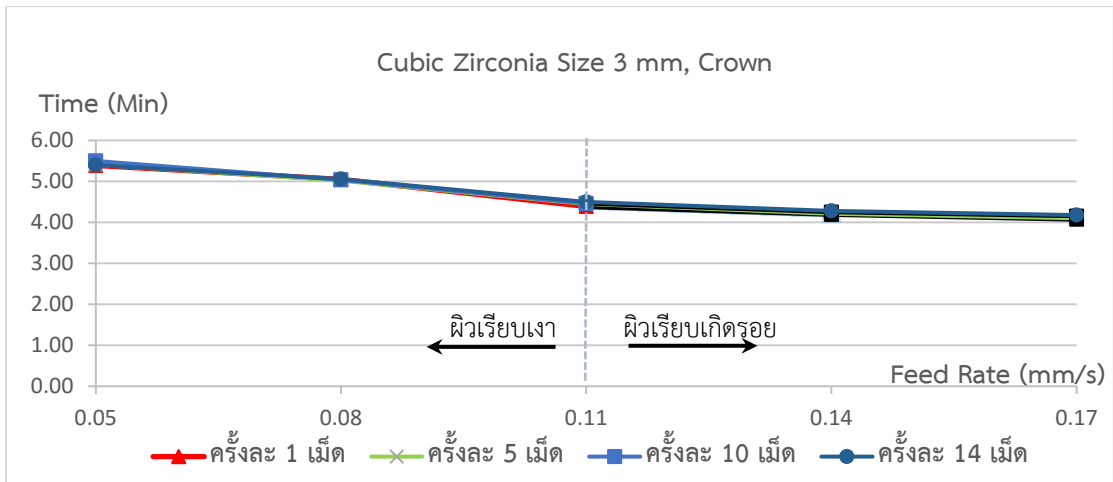
ผลที่ได้จากการทดลองเจียรระโนพลอยคิวบิก เซอร์โคเนียด้านบน (Crown) เป็นดังตารางที่ 5.4 ซึ่งพบว่าอัตราป้อนที่เร็วที่สุดที่ส่งผลให้คุณภาพผิวของพลอยเรียบเงาคือ 0.11 มิลลิเมตรต่อวินาที ดังรูปที่ 5.15 โดยมีระยะเวลาเจียรระโนด้านบน (Crown) ที่เร็วที่สุดที่ได้ผิวคุณภาพดีเท่ากับ 4.45 นาที โดยความสัมพันธ์ระหว่างอัตราป้อน เวลาและคุณภาพของเม็ดพลอยสามารถแสดงได้ดังรูปที่ 5.13 พบว่าระยะเวลาที่เจียรระโนแต่ละผลการทดลองมีค่าใกล้เคียงกัน

ผลที่ได้จากการทดลองเจียรระโนพลอยคิวบิก เซอร์โคเนียด้านล่าง (Pavilion) เป็นดังตารางที่ 5.5 ซึ่งพบว่าอัตราป้อนที่เร็วที่สุดที่ส่งผลให้คุณภาพผิวของพลอยเรียบเงาคือ 0.11 มิลลิเมตรต่อวินาที ดังรูปที่ 5.16 โดยมีระยะเวลาเจียรระโนด้านล่าง (Pavilion) ที่เร็วที่สุดที่ได้ผิวคุณภาพดีเท่ากับ 3.27 นาที โดยความสัมพันธ์ระหว่างอัตราป้อน เวลาและคุณภาพของเม็ดพลอยสามารถแสดงได้ดังรูปที่ 5.14 จากกราฟที่ได้นี้กับตารางที่ 5.4 เมื่อพิจารณาถึงจำนวนเม็ดในการเจียรระโนแต่ละครั้งจะพบว่าระยะเวลาที่เจียรระโนแต่ละผลการทดลองมีค่าใกล้เคียงกัน

ขณะเจียรระโนพลอยครั้งละ 14 เม็ดทั้งด้านบนและด้านล่าง พลอยด้านซ้าย 2 เม็ดและด้านขวา 2 เม็ดดังรูป 5.17 เจียรระโนเหลี่ยมไม่สมบูรณ์ ทั้งนี้เนื่องมาจากความเร็วเชิงเส้นของพลอยในตำแหน่งที่ 1, 2, 13 และ 14 มีความเร็วค่อนข้างมากกว่าพลอยเม็ดอื่น และความราบเรียบของงานก็เป็นอีกเหตุผลหนึ่ง ถ้าใช้ขนาดของงานเจียรระโนขนาดเล็กกลางเหลือประมาณ 5.4 นิ้วจะพบว่ามีปัญหาที่เกิดที่เม็ดที่อยู่ปลายทั้งสองจะไม่เกิดขึ้น แต่จำนวนพลอยที่เจียรระโนได้แต่ละครั้งก็จะลดลง

ตารางที่ 5.4 ผลการทดลองเปรียบเทียบคุณภาพปรับอัตราป้อนพลอยคิวบิก เซอร์โคเนีย ขนาด 3 มิลลิเมตรด้านบน

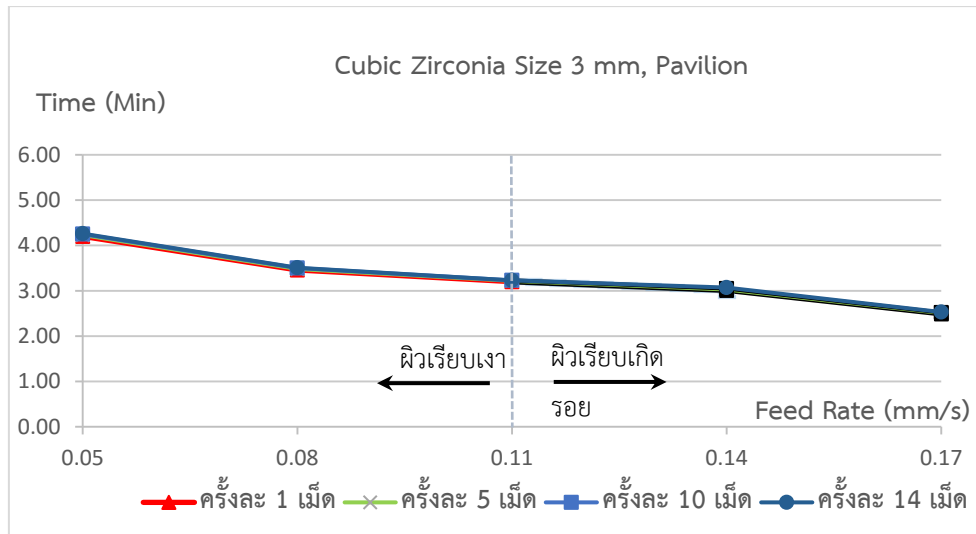
Cubic Zirconia Size 3 mm (Crown,33 Facet)								
Feed Rate (mm/s)	พลอย 1 เม็ด		พลอย 5 เม็ด		พลอย 10 เม็ด		พลอย 14 เม็ด	
	เวลา (min)	คุณภาพ	เวลา (min)	คุณภาพ	เวลา (min)	คุณภาพ	เวลา (min)	คุณภาพ
0.05	5.39	ผิวเรียบเงา	5.41	ผิวเรียบเงา	5.5	ผิวเรียบเงา	5.40	ผิวเรียบเงา
0.08	5.05	ผิวเรียบเงา	5.02	ผิวเรียบเงา	5.04	ผิวเรียบเงา	5.06	ผิวเรียบเงา
0.11	4.39	ผิวเรียบเงา	4.45	ผิวเรียบเงา	4.46	ผิวเรียบเงา	4.50	ผิวเรียบเงา
0.14	4.20	ผิวเรียบเกิดรอย	4.27	ผิวเรียบเกิดรอย	4.25	ผิวเรียบเกิดรอย	4.28	ผิวเรียบเกิดรอย
0.17	4.08	ผิวเรียบเกิดรอย	4.1	ผิวเรียบเกิดรอย	4.15	ผิวเรียบเกิดรอย	4.18	ผิวเรียบเกิดรอย



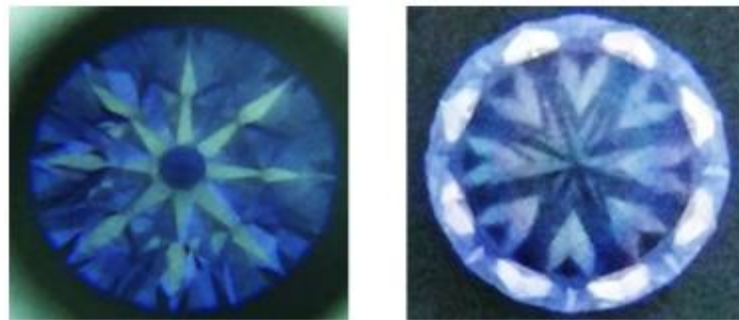
รูปที่ 5.13 ผลของอัตราป้อนที่มีผลต่อคุณภาพและเวลาการขัดขึ้นเงาพลอยคิวบิก เซอร์โคเนีย ขนาด 3 มิลลิเมตรด้านบน

ตารางที่ 5.4 ผลการทดลองเปรียบเทียบคุณภาพปรับอัตราป้อนพลอยคิวบิก เซอร์โคเนีย ขนาด 3 มิลลิเมตรด้านล่าง

Cubic Zirconia Size 3 mm (Pavilion, 24 Facet)								
Feed Rate (mm/s)	พลอย 1 เมตร		พลอย 5 เมตร		พลอย 10 เมตร		พลอย 14 เมตร	
	เวลา (min)	คุณภาพ	เวลา (min)	คุณภาพ	เวลา (min)	คุณภาพ	เวลา (min)	คุณภาพ
0.05	4.2	ผิวเรียบเงา	4.23	ผิวเรียบเงา	4.25	ผิวเรียบเงา	4.22	ผิวเรียบเงา
0.08	3.54	ผิวเรียบเงา	3.58	ผิวเรียบเงา	3.57	ผิวเรียบเงา	3.55	ผิวเรียบเงา
0.11	3.27	ผิวเรียบเงา	3.28	ผิวเรียบเงา	3.29	ผิวเรียบเงา	3.25	ผิวเรียบเงา
0.14	3.07	ผิวเรียบเกิดรอย	3.05	ผิวเรียบเกิดรอย	3.02	ผิวเรียบเกิดรอย	3.04	ผิวเรียบเกิดรอย
0.17	2.55	ผิวเรียบเกิดรอย	2.56	ผิวเรียบเกิดรอย	2.55	ผิวเรียบเกิดรอย	2.57	ผิวเรียบเกิดรอย



รูปที่ 5.14 ผลของอัตราป้อนที่มีผลต่อคุณภาพและเวลาการขัดขึ้นเงาพลอยคิวบิก เซอร์โคเนีย ขนาด 3 มิลลิเมตรด้านล่าง

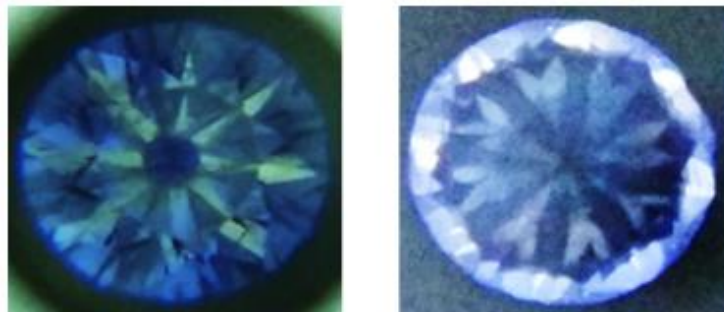


(ก)

(ข)

รูปที่ 5.15 ภาพถ่ายพลอยคิวบิก เซอร์โคเนีย 3 มิลลิเมตรผิวราบเรียบ

(ก) มองจากด้านบน (ข) มองจากด้านล่าง

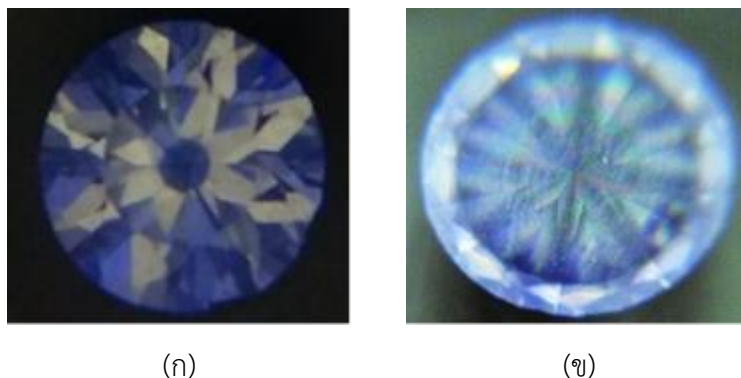


(ก)

(ข)

รูปที่ 5.16 ภาพถ่ายพลอยคิวบิก เซอร์โคเนีย 3 มิลลิเมตรผิวเรียบเกิดรอย

(ก) มองจากด้านบน (ข) มองจากด้านล่าง



รูปที่ 5.17 ภาพถ่ายพลอยควิบิค เซอร์โคเนียขนาด 3 มิลลิเมตรจากการเจียรระโน 14 เม็ด

(ก) มองจากด้านบน (ข) มองจากด้านล่าง

5.2.4.2 ผลการทดลองที่ 2 พลอยควิบิค เซอร์โคเนีย ขนาดเส้นผ่านศูนย์กลาง 5 มิลลิเมตร

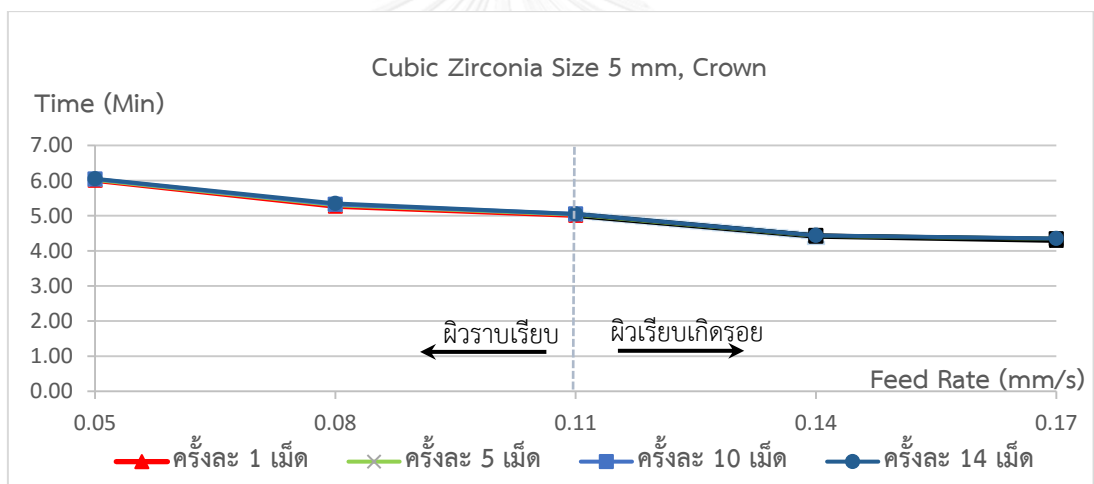
ผลที่ได้จากการทดลองเจียรระโนพลอยควิบิค เซอร์โคเนียด้านบน (Crown) เป็นดังตารางที่ 5.6 ซึ่งพบว่าอัตราป้อนที่เร็วที่สุดที่ส่งผลให้คุณภาพผิวของพลอยเรียบเงาคือ 0.11 มิลลิเมตรต่อวินาที ดังรูปที่ 5.20 โดยมีระยะเวลาเจียรระโนด้านบน (Crown) ที่เร็วที่สุดที่ได้ผิวคุณภาพดีเท่ากับ 5.04 นาที โดยความสัมพันธ์ระหว่างอัตราป้อน เวลาและคุณภาพของเม็ดพลอยสามารถแสดงได้ดังรูปที่ 5.20 พบว่าระยะเวลาที่เจียรระโนแต่ละผลการทดลองมีค่าใกล้เคียงกัน

ผลที่ได้จากการทดลองเจียรระโนพลอยควิบิค เซอร์โคเนียด้านล่าง (Pavilion) เป็นดังตารางที่ 5.7 ซึ่งพบว่าอัตราป้อนที่เร็วที่สุดที่ส่งผลให้คุณภาพผิวของพลอยเรียบเงาคือ 0.11 มิลลิเมตรต่อวินาที ดังรูปที่ 5.21 โดยมีระยะเวลาเจียรระโนด้านล่าง (Pavilion) ที่เร็วที่สุดที่ได้ผิวคุณภาพดีเท่ากับ 4.03 นาที โดยความสัมพันธ์ระหว่างอัตราป้อน เวลาและคุณภาพของเม็ดพลอยสามารถแสดงได้ดังรูปที่ 5.22 จากกราฟที่ได้นี้กับตารางที่ 5.6 เมื่อพิจารณาถึงจำนวนเม็ดในการเจียรระโนแต่ละครั้งจะพบว่าระยะเวลาที่เจียรระโนแต่ละผลการทดลองมีค่าใกล้เคียงกัน

ขณะเจียรระโนพลอยครั้งละ 14 เม็ดทั้งด้านบนและด้านล่าง พลอยด้านซ้าย 2 เม็ดและด้านขวา 2 เม็ดดังรูป 5.17 เจียรระโนเหลี่ยมไม่สมบูรณ์

ตารางที่ 5.5 ผลการทดลองเปรียบเทียบคุณภาพปรับอัตราป้อนพลอยคิวบิก เซอร์โคเนีย ขนาด 5 มิลลิเมตรด้านบน

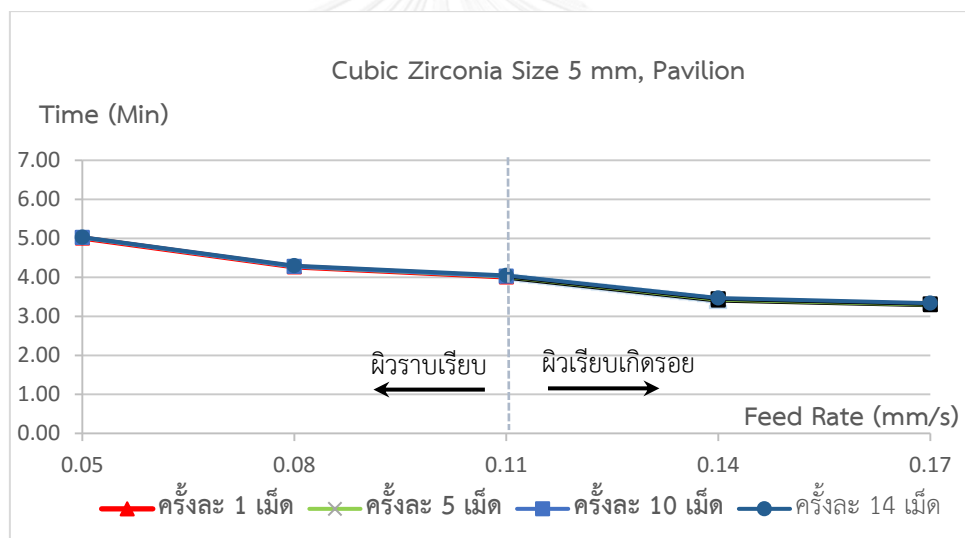
Cubic Zirconia Size 5 mm (Crown,33 Facet)								
Feed Rate (mm/s)	พลอย 1 เม็ด		พลอย 5 เม็ด		พลอย 10 เม็ด		พลอย 14 เม็ด	
	เวลา (min)	คุณภาพ	เวลา (min)	คุณภาพ	เวลา (min)	คุณภาพ	เวลา (min)	คุณภาพ
0.05	6.01	ผิวเรียบเงา	6.02	ผิวเรียบเงา	6.04	ผิวเรียบเงา	6.05	ผิวเรียบเงา
0.08	5.27	ผิวเรียบเงา	5.30	ผิวเรียบเงา	5.32	ผิวเรียบเงา	5.35	ผิวเรียบเงา
0.11	5.01	ผิวเรียบเงา	5.03	ผิวเรียบเงา	5.05	ผิวเรียบเงา	5.05	ผิวเรียบเงา
0.14	4.42	ผิวเรียบเกิดรอย	4.43	ผิวเรียบเกิดรอย	4.44	ผิวเรียบเกิดรอย	4.44	ผิวเรียบเกิดรอย
0.17	4.30	ผิวเรียบเกิดรอย	4.34	ผิวเรียบเกิดรอย	4.34	ผิวเรียบเกิดรอย	4.35	ผิวเรียบเกิดรอย



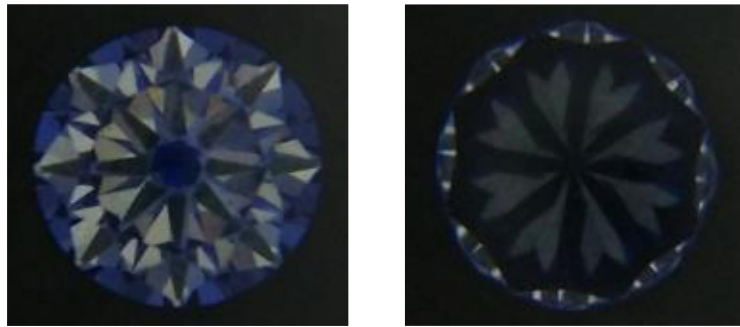
รูปที่ 5.18 ผลของอัตราป้อนที่มีผลต่อคุณภาพและเวลาการขัดขึ้นเงาพลอยคิวบิก เซอร์โคเนีย ขนาด 5 มิลลิเมตรด้านบน

ตารางที่ 5.6 ผลการทดลองเปรียบเทียบคุณภาพปรับอัตราป้อนพลอยคิวบิก เซอร์โคเนีย ขนาด 5 มิลลิเมตรด้านล่าง

Cubic Zirconia Size 5 mm (Pavilion,24 Facet)								
Feed Rate (mm/s)	พลอย 1 เม็ด		พลอย 5 เม็ด		พลอย 10 เม็ด		พลอย 14 เม็ด	
	เวลา (min)	คุณภาพ	เวลา (min)	คุณภาพ	เวลา (min)	คุณภาพ	เวลา (min)	คุณภาพ
0.05	5.01	ผิวเรียบเงา	5.02	ผิวเรียบเงา	5.05	ผิวเรียบเงา	5.103	ผิวเรียบเงา
0.08	4.27	ผิวเรียบเงา	4.28	ผิวเรียบเงา	4.28	ผิวเรียบเงา	4.30	ผิวเรียบเงา
0.11	4.01	ผิวเรียบเงา	4.02	ผิวเรียบเงา	4.03	ผิวเรียบเงา	4.05	ผิวเรียบเงา
0.14	3.42	ผิวเรียบเกิดรอย	3.43	ผิวเรียบเกิดรอย	3.45	ผิวเรียบเกิดรอย	3.47	ผิวเรียบเกิดรอย
0.17	3.30	ผิวเรียบเกิดรอย	3.30	ผิวเรียบเกิดรอย	3.32	ผิวเรียบเกิดรอย	3.34	ผิวเรียบเกิดรอย



รูปที่ 5.19 ผลของอัตราป้อนที่มีผลต่อคุณภาพและเวลาการขัดชิ้นงานพลอยคิวบิก เซอร์โคเนีย ขนาด 5 มิลลิเมตรด้านล่าง

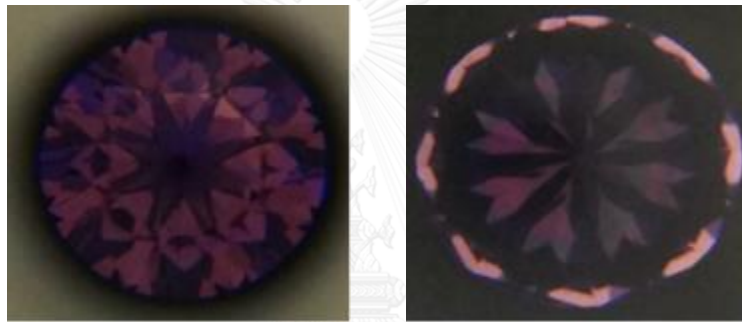


(ก)

(ข)

รูปที่ 5.20 ภาพถ่ายพลอยคิวบิก เซอร์โคเนีย 5 มิลลิเมตรผิวราบเรียบ

(ก) มองจากด้านบน (ข) มองจากด้านล่าง

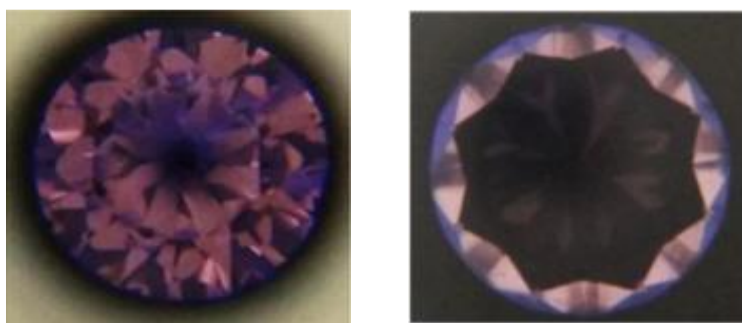


(ก)

(ข)

รูปที่ 5.21 ภาพถ่ายพลอยคิวบิก เซอร์โคเนีย 5 มิลลิเมตรผิวเรียบเกิดรอย

(ก) มองจากด้านบน (ข) มองจากด้านล่าง



(ก)

(ข)

รูปที่ 5.22 ภาพถ่ายพลอยคิวบิก เซอร์โคเนียขนาด 5 มิลลิเมตรจากการเจียรไน 14 เม็ด

(ก) มองจากด้านบน (ข) มองจากด้านล่าง

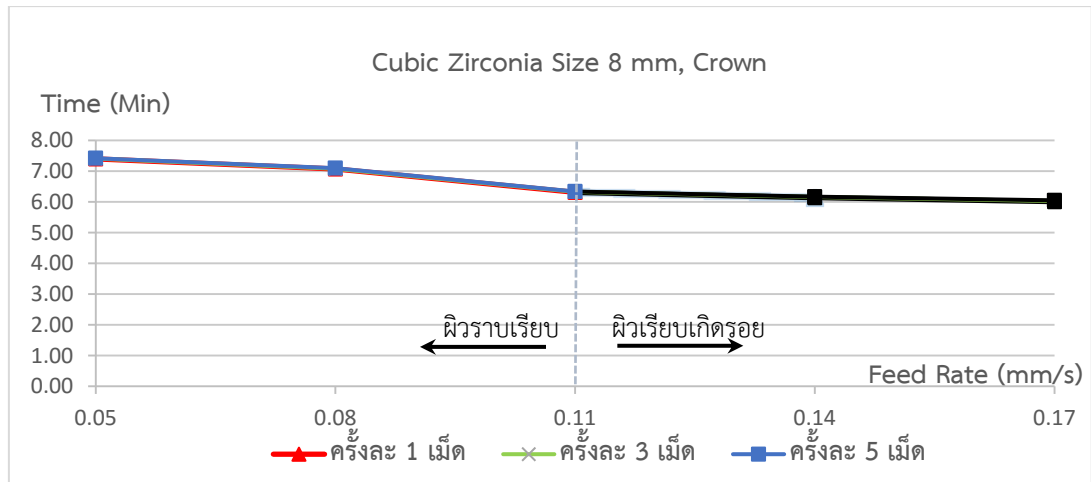
5.2.4.3 ผลการทดลองที่ 3 พลอยคิวบิก เซอร์โคเนีย ขนาดเส้นผ่านศูนย์กลาง 8 มิลลิเมตร

ผลที่ได้จากการทดลองเจียรระโนพลอยคิวบิก เซอร์โคเนียด้านบน (Crown) เป็นดังตารางที่ 5.8 ซึ่งพบว่าอัตราป้อนที่เร็วที่สุดที่ส่งผลให้คุณภาพผิวของพลอยเรียบเงาคือ 0.11 มิลลิเมตรต่อวินาที ดังรูปที่ 5.25 โดยมีระยะเวลาเจียรระโนด้านบน (Crown) ที่เร็วที่สุดที่ได้ผิวคุณภาพดีเท่ากับ 6.33 นาที โดยความสัมพันธ์ระหว่างอัตราป้อน เวลาและคุณภาพของเม็ดพลอยสามารถแสดงได้ดังรูปที่ 5.23 พบว่าระยะเวลาที่เจียรระโนแต่ละผลการทดลองมีค่าใกล้เคียงกัน

ผลที่ได้จากการทดลองเจียรระโนพลอยคิวบิก เซอร์โคเนียด้านล่าง (Pavilion) เป็นดังตารางที่ 5.9 ซึ่งพบว่าอัตราป้อนที่เร็วที่สุดที่ส่งผลให้คุณภาพผิวของพลอยเรียบเงาคือ 0.11 มิลลิเมตรต่อวินาที ดังรูปที่ 5.26 โดยมีระยะเวลาเจียรระโนด้านล่าง (Pavilion) ที่เร็วที่สุดที่ได้ผิวคุณภาพดีเท่ากับ 5.01 นาที โดยความสัมพันธ์ระหว่างอัตราป้อน เวลาและคุณภาพของเม็ดพลอยสามารถแสดงได้ดังรูปที่ 5.24 พบว่าระยะเวลาที่เจียรระโนแต่ละผลการทดลองมีค่าใกล้เคียงกัน

ตารางที่ 5.8 ผลการทดลองเปรียบเทียบคุณภาพปรับอัตราป้อนพลอยคิวบิก เซอร์โคเนีย ขนาด 8 มิลลิเมตรด้านบน

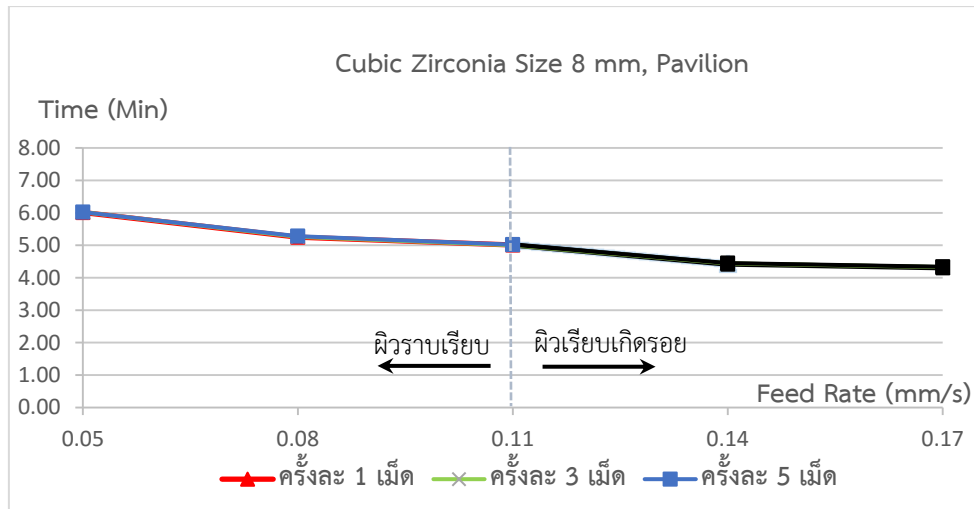
Cubic Zirconia Size 8 mm (Crown,33 Facet)						
Feed Rate (mm/s)	พลอย 1 เม็ด		พลอย 3 เม็ด		พลอย 5 เม็ด	
	เวลา (min)	คุณภาพ	เวลา (min)	คุณภาพ	เวลา (min)	คุณภาพ
0.05	7.40	ผิวเรียบเงา	7.41	ผิวเรียบเงา	7.42	ผิวเรียบเงา
0.08	7.07	ผิวเรียบเงา	7.08	ผิวเรียบเงา	7.10	ผิวเรียบเงา
0.11	6.31	ผิวเรียบเงา	6.33	ผิวเรียบเงา	6.34	ผิวเรียบเงา
0.14	6.14	ผิวเรียบเกิดรอย	6.16	ผิวเรียบเกิดรอย	6.17	ผิวเรียบเกิดรอย
0.17	6.01	ผิวเรียบเกิดรอย	6.03	ผิวเรียบเกิดรอย	6.05	ผิวเรียบเกิดรอย



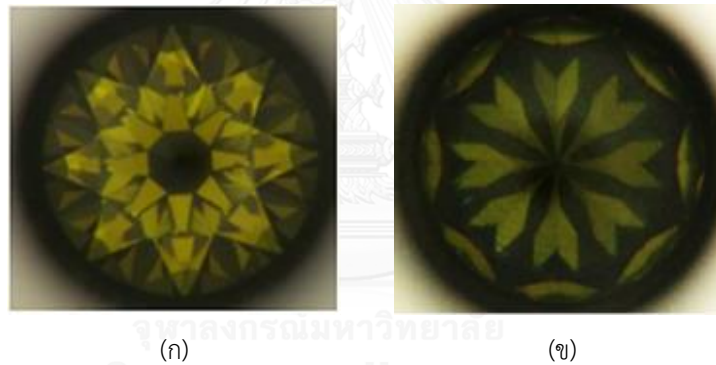
รูปที่ 5.23 ผลของอัตราป้อนที่มีผลต่อคุณภาพและเวลาการขัดชิ้นงานพลอยคิวบิก เซอร์โคเนีย ขนาด 8 มิลลิเมตรด้านบน

ตารางที่ 5.9 ผลการทดลองเปรียบเทียบคุณภาพปรับอัตราป้อนพลอยคิวบิก เซอร์โคเนีย ขนาด 8 มิลลิเมตรด้านล่าง

Cubic Zirconia Size 8 mm (Pavilion,24 Facet)						
Feed Rate (mm/s)	พลอย 1 เม็ด		พลอย 3 เม็ด		พลอย 5 เม็ด	
	เวลา (min)	คุณภาพ	เวลา (min)	คุณภาพ	เวลา (min)	คุณภาพ
0.05	6.01	ผิวเรียบเงา	6.02	ผิวเรียบเงา	6.02	ผิวเรียบเงา
0.08	5.25	ผิวเรียบเงา	5.26	ผิวเรียบเงา	5.28	ผิวเรียบเงา
0.11	5.01	ผิวเรียบเงา	5.00	ผิวเรียบเงา	5.02	ผิวเรียบเงา
0.14	4.42	ผิวเรียบเกิดรอย	4.44	ผิวเรียบเกิดรอย	4.45	ผิวเรียบเกิดรอย
0.17	4.31	ผิวเรียบเกิดรอย	4.33	ผิวเรียบเกิดรอย	4.34	ผิวเรียบเกิดรอย

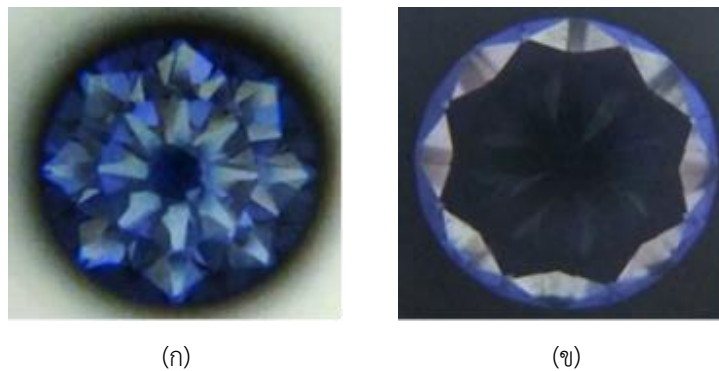


รูปที่ 5.24 ผลของอัตราป้อนที่มีผลต่อคุณภาพและเวลาการขัดขึ้นเงาพลอยคิวบิก เซอร์โคเนีย ขนาด 8 มิลลิเมตรด้านล่าง



รูปที่ 5.25 ภาพถ่ายพลอยคิวบิก เซอร์โคเนีย 8 มิลลิเมตรผิวราบเรียบ

(ก) มองจากด้านบน (ข) มองจากด้านล่าง



รูปที่ 5.26 ภาพถ่ายพลอยคิวบิก เซอร์โคเนีย 8 มิลลิเมตรผิวเรียบเกิดรอย

(ก) มองจากด้านบน (ข) มองจากด้านล่าง

5.2.4.4 ผลการทดลองที่ 4 พลอยกระจก ขนาดเส้นผ่านศูนย์กลาง 3 มิลลิเมตร

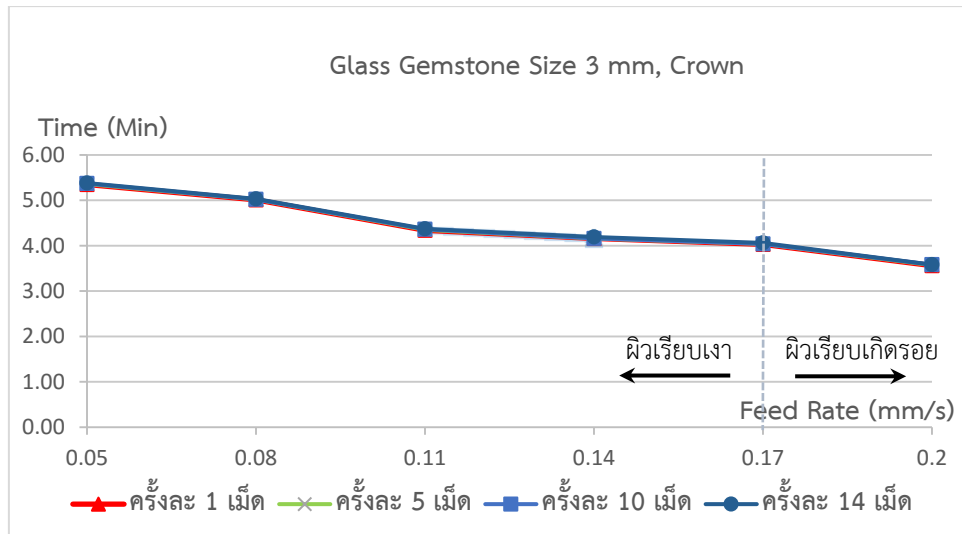
ผลที่ได้จากการทดลองเจียรระไนพลอยกระจกด้านบน (Crown) เป็นดังตารางที่ 5.10 ซึ่งพบว่าอัตราป้อนที่เร็วที่สุดที่ส่งผลให้คุณภาพผิวของพลอยเรียบเงาคือ 0.17 มิลลิเมตรต่อวินาที ดังรูปที่ 5.29 โดยมีระยะเวลาเจียรระไนด้านบน (Crown) ที่เร็วที่สุดที่ได้ผิวคุณภาพดีเท่ากับ 4.04 นาที โดยความสัมพันธ์ระหว่างอัตราป้อน เวลาและคุณภาพของเม็ดพลอยสามารถแสดงได้ดังรูปที่ 5.27 พบว่าระยะเวลาที่เจียรระไนแต่ละผลการทดลองมีค่าใกล้เคียงกัน

ผลที่ได้จากการทดลองเจียรระไนพลอยกระจกด้านล่าง (Pavilion) เป็นดังตารางที่ 5.11 ซึ่งพบว่าอัตราป้อนที่เร็วที่สุดที่ส่งผลให้คุณภาพผิวของพลอยเรียบเงาคือ 0.17 มิลลิเมตรต่อวินาที ดังรูปที่ 5.30 โดยมีระยะเวลาเจียรระไนด้านล่าง (Pavilion) ที่เร็วที่สุดที่ได้ผิวคุณภาพดีเท่ากับ 2.51 นาที โดยความสัมพันธ์ระหว่างอัตราป้อน เวลาและคุณภาพของเม็ดพลอยสามารถแสดงได้ดังรูปที่ 5.28 พบว่าระยะเวลาที่เจียรระไนแต่ละผลการทดลองมีค่าใกล้เคียงกัน

ขณะเจียรระไนพลอยครั้งละ 14 เม็ดทั้งด้านบนและด้านล่าง พลอยด้านซ้าย 2 เม็ดและด้านขวา 2 เม็ดดังรูป 5.17 เจียรระไนเหลี่ยมไม่สมบูรณ์

ตารางที่ 5.10 ผลการทดลองเปรียบเทียบคุณภาพปรับอัตราป้อนพลอยกระจก ขนาด 3 มิลลิเมตร ด้านบน

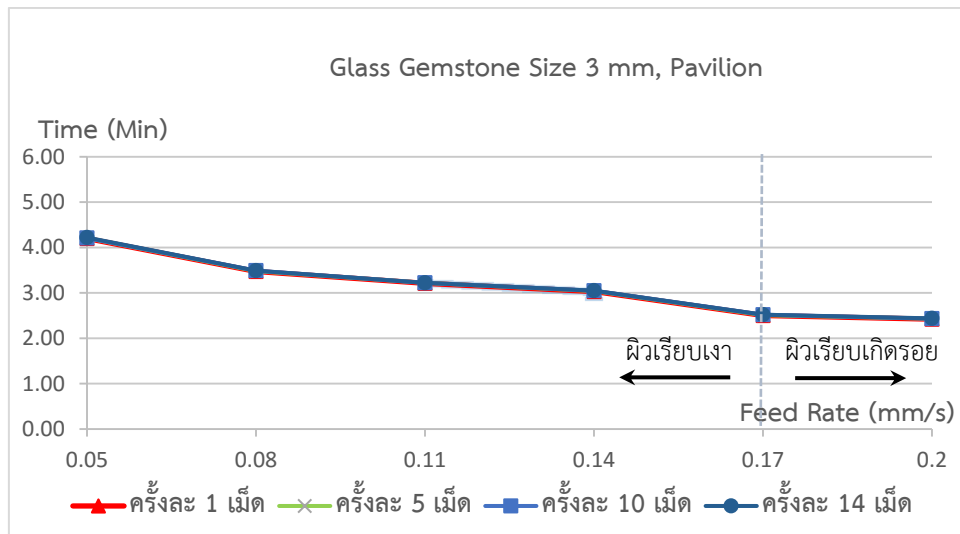
Glass Gemstone Size 3 mm (Crown,33 Facet)								
Feed Rate (mm/s)	พลอย 1 เม็ด		พลอย 5 เม็ด		พลอย 10 เม็ด		พลอย 14 เม็ด	
	เวลา (min)	คุณภาพ	เวลา (min)	คุณภาพ	เวลา (min)	คุณภาพ	เวลา (min)	คุณภาพ
0.05	5.35	ผิวเรียบเงา	5.36	ผิวเรียบเงา	5.37	ผิวเรียบเงา	5.38	ผิวเรียบเงา
0.08	5.01	ผิวเรียบเงา	5.02	ผิวเรียบเงา	5.02	ผิวเรียบเงา	5.03	ผิวเรียบเงา
0.11	4.34	ผิวเรียบเงา	4.35	ผิวเรียบเงา	4.36	ผิวเรียบเงา	4.37	ผิวเรียบเงา
0.14	4.16	ผิวเรียบเงา	4.16	ผิวเรียบเงา	4.16	ผิวเรียบเงา	4.19	ผิวเรียบเงา
0.17	4.03	ผิวเรียบเงา	4.04	ผิวเรียบเงา	4.04	ผิวเรียบเงา	4.06	ผิวเรียบเงา
0.20	3.59	ผิวเรียบเกิดรอย	3.57	ผิวเรียบเกิดรอย	3.58	ผิวเรียบเกิดรอย	3.58	ผิวเรียบเกิดรอย



รูปที่ 5.27 ผลของอัตราป้อนที่มีผลต่อคุณภาพและเวลาการขัดชิ้นงานพลอยกระจก
ขนาด 3 มิลลิเมตรด้านบน

ตารางที่ 5.11 ผลการทดลองเปรียบเทียบคุณภาพปรับอัตราป้อนพลอยกระจก ขนาด 3 มิลลิเมตร
ด้านล่าง

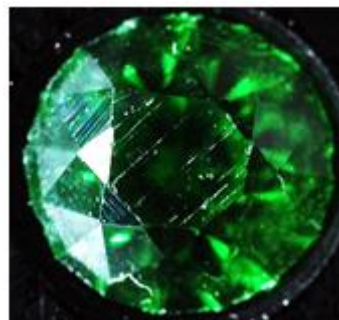
Glass Gemstone Size 3 mm (Pavilion, 24 Facet)								
Feed Rate (mm/s)	พลอย 1 เม็ด		พลอย 5 เม็ด		พลอย 10 เม็ด		พลอย 14 เม็ด	
	เวลา (min)	คุณภาพ	เวลา (min)	คุณภาพ	เวลา (min)	คุณภาพ	เวลา (min)	คุณภาพ
0.05	4.20	ผิวเรียบเงา	4.21	ผิวเรียบเงา	4.21	ผิวเรียบเงา	4.22	ผิวเรียบเงา
0.08	3.47	ผิวเรียบเงา	3.48	ผิวเรียบเงา	3.49	ผิวเรียบเงา	3.49	ผิวเรียบเงา
0.11	3.21	ผิวเรียบเงา	3.22	ผิวเรียบเงา	3.22	ผิวเรียบเงา	3.22	ผิวเรียบเงา
0.14	3.03	ผิวเรียบเงา	3.04	ผิวเรียบเงา	3.05	ผิวเรียบเงา	3.05	ผิวเรียบเงา
0.17	2.50	ผิวเรียบเงา	2.51	ผิวเรียบเงา	2.52	ผิวเรียบเงา	2.52	ผิวเรียบเงา
0.20	2.42	ผิวเรียบเกิดรอย	2.43	ผิวเรียบเกิดรอย	2.43	ผิวเรียบเกิดรอย	2.44	ผิวเรียบเกิดรอย



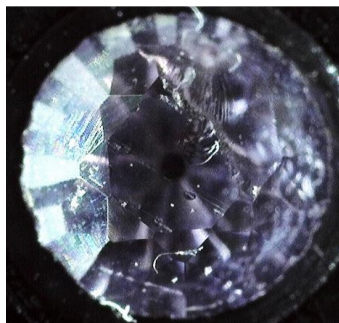
รูปที่ 5.28 ผลของอัตราป้อนที่มีผลต่อคุณภาพและเวลาการขัดขึ้นเงาพลอยกระจก
ขนาด 5 มิลลิเมตรด้านล่าง



รูปที่ 5.29 ภาพถ่ายพลอยกระจก 3 มิลลิเมตรผิวราบเรียบ



รูปที่ 5.30 ภาพถ่ายพลอยกระจก 3 มิลลิเมตรผิวเรียบเกิดริ้วรอย



รูปที่ 5.31 ภาพถ่ายพลอยกระจกขนาด 3 มิลลิเมตรจากการเจียรไน 14 เม็ดด้านข้าง

5.2.4.5 ผลการทดลองที่ 5 พลอยกระจก ขนาดเส้นผ่านศูนย์กลาง 5 มิลลิเมตร

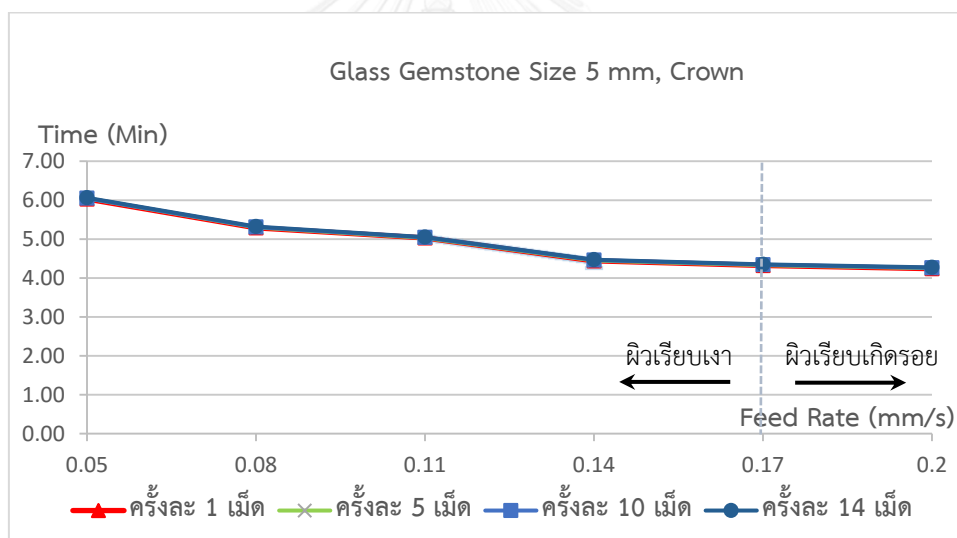
ผลที่ได้จากการทดลองเจียรไนพลอยกระจกด้านบน (Crown) เป็นดังตารางที่ 5.12 ซึ่งพบว่าอัตราป้อนที่เร็วที่สุดที่ส่งผลให้คุณภาพผิวของพลอยเรียบเงาคือ 0.17 มิลลิเมตรต่อวินาที ดังรูปที่ 5.34 โดยมีระยะเวลาเจียรไนด้านบน (Crown) ที่เร็วที่สุดที่ได้ผิวคุณภาพดีเท่ากับ 4.34 นาที โดยความสัมพันธ์ระหว่างอัตราป้อน เวลาและคุณภาพของเม็ดพลอยสามารถแสดงได้ดังรูปที่ 5.32 พบว่าระยะเวลาที่เจียรไนแต่ละผลการทดลองมีค่าใกล้เคียงกัน

ผลที่ได้จากการทดลองเจียรไนพลอยกระจกด้านล่าง (Pavilion) เป็นดังตารางที่ 5.13 ซึ่งพบว่าอัตราป้อนที่เร็วที่สุดที่ส่งผลให้คุณภาพผิวของพลอยเรียบเงาคือ 0.17 มิลลิเมตรต่อวินาที ดังรูปที่ 5.35 โดยมีระยะเวลาเจียรไนด้านล่าง (Pavilion) ที่เร็วที่สุดที่ได้ผิวคุณภาพดีเท่ากับ 3.37 นาที โดยความสัมพันธ์ระหว่างอัตราป้อน เวลาและคุณภาพของเม็ดพลอยสามารถแสดงได้ดังรูปที่ 5.33 พบว่าระยะเวลาที่เจียรไนแต่ละผลการทดลองมีค่าใกล้เคียงกัน

ขณะเจียรไนพลอยครึ่งละ 14 เม็ดทั้งด้านบนและด้านล่าง พลอยด้านซ้าย 2 เม็ดและด้านขวา 2 เม็ดดังรูป 5.36 เจียรไนเหลี่ยมไม่สมบูรณ์

ตารางที่ 5.12 ผลการทดลองเปรียบเทียบคุณภาพปรับอัตราป้อนพลอยกระจก ขนาด 5 มิลลิเมตร ด้านบน

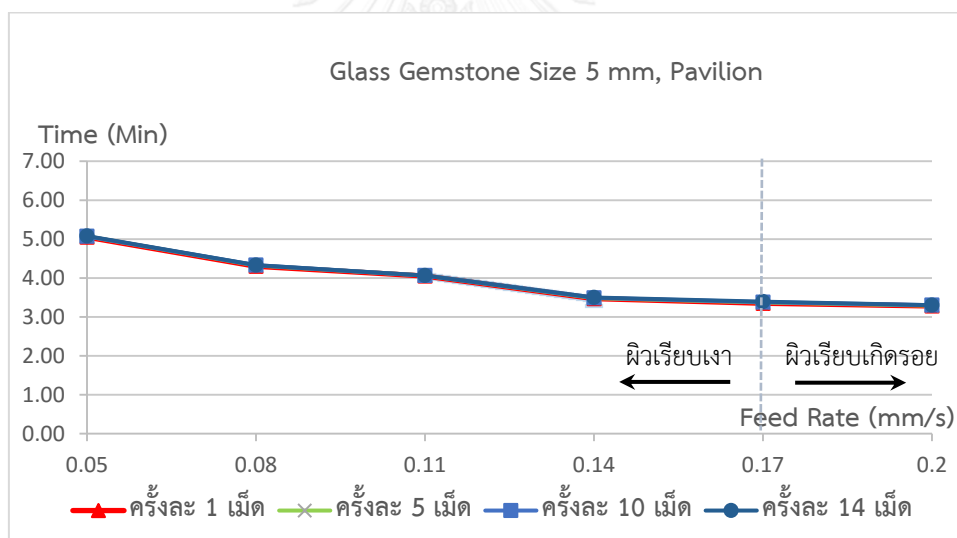
Glass Gemstone Size 5 mm (Crown,33 Facet)								
Feed Rate (mm/s)	พลอย 1 เม็ด		พลอย 5 เม็ด		พลอย 10 เม็ด		พลอย 14 เม็ด	
	เวลา (min)	คุณภาพ	เวลา (min)	คุณภาพ	เวลา (min)	คุณภาพ	เวลา (min)	คุณภาพ
0.05	6.03	ผิวเรียบเงา	6.05	ผิวเรียบเงา	6.05	ผิวเรียบเงา	6.06	ผิวเรียบเงา
0.08	5.29	ผิวเรียบเงา	5.30	ผิวเรียบเงา	5.31	ผิวเรียบเงา	5.32	ผิวเรียบเงา
0.11	5.03	ผิวเรียบเงา	5.03	ผิวเรียบเงา	5.04	ผิวเรียบเงา	5.05	ผิวเรียบเงา
0.14	4.44	ผิวเรียบเงา	4.45	ผิวเรียบเงา	4.46	ผิวเรียบเงา	4.47	ผิวเรียบเงา
0.17	4.32	ผิวเรียบเงา	4.33	ผิวเรียบเงา	4.34	ผิวเรียบเงา	4.35	ผิวเรียบเงา
0.20	4.24	ผิวเรียบเกิดรอย	4.25	ผิวเรียบเกิดรอย	4.26	ผิวเรียบเกิดรอย	3.27	ผิวเรียบเกิดรอย



รูปที่ 5.32 ผลของอัตราป้อนที่มีผลต่อคุณภาพและเวลาการขัดชิ้นเงาพลอยกระจก ขนาด 5 มิลลิเมตรด้านบน

ตารางที่ 5.13 ผลการทดลองเปรียบเทียบคุณภาพปรับอัตราป้อนพลอยกระจก ขนาด 5 มิลลิเมตร
ด้านล่าง

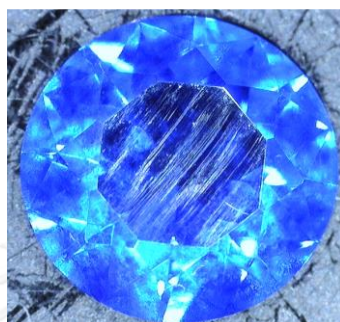
Glass Gemstone Size 5 mm (Pavilion,24 Facet)								
Feed Rate (mm/s)	พลอย 1 เม็ด		พลอย 5 เม็ด		พลอย 10 เม็ด		พลอย 14 เม็ด	
	เวลา (min)	คุณภาพ	เวลา (min)	คุณภาพ	เวลา (min)	คุณภาพ	เวลา (min)	คุณภาพ
0.05	5.05	ผิวเรียบเงา	5.07	ผิวเรียบเงา	5.07	ผิวเรียบเงา	5.08	ผิวเรียบเงา
0.08	4.30	ผิวเรียบเงา	4.32	ผิวเรียบเงา	4.33	ผิวเรียบเงา	4.33	ผิวเรียบเงา
0.11	4.05	ผิวเรียบเงา	4.06	ผิวเรียบเงา	4.06	ผิวเรียบเงา	4.06	ผิวเรียบเงา
0.14	3.47	ผิวเรียบเงา	3.48	ผิวเรียบเงา	3.49	ผิวเรียบเงา	3.50	ผิวเรียบเงา
0.17	3.35	ผิวเรียบเงา	3.37	ผิวเรียบเงา	3.38	ผิวเรียบเงา	3.39	ผิวเรียบเงา
0.20	3.28	ผิวเรียบเกิดรอย	3.29	ผิวเรียบเกิดรอย	3.30	ผิวเรียบเกิดรอย	3.30	ผิวเรียบเกิดรอย



รูปที่ 5.33 ผลของอัตราป้อนที่มีผลต่อคุณภาพและเวลาการขัดชิ้นเงาพลอยกระจก
ขนาด 5 มิลลิเมตรด้านล่าง



รูปที่ 5.34 ภาพถ่ายพลอยกระจก 5 มิลลิเมตรผิวราบเรียบ



รูปที่ 5.35 ภาพถ่ายพลอยกระจก 5 มิลลิเมตรผิวเรียบเกิดริ้วรอย



รูปที่ 5.36 ภาพถ่ายพลอยกระจกขนาด 5 มิลลิเมตรจากการเจียรไน 14 เม็ดด้านข้าง

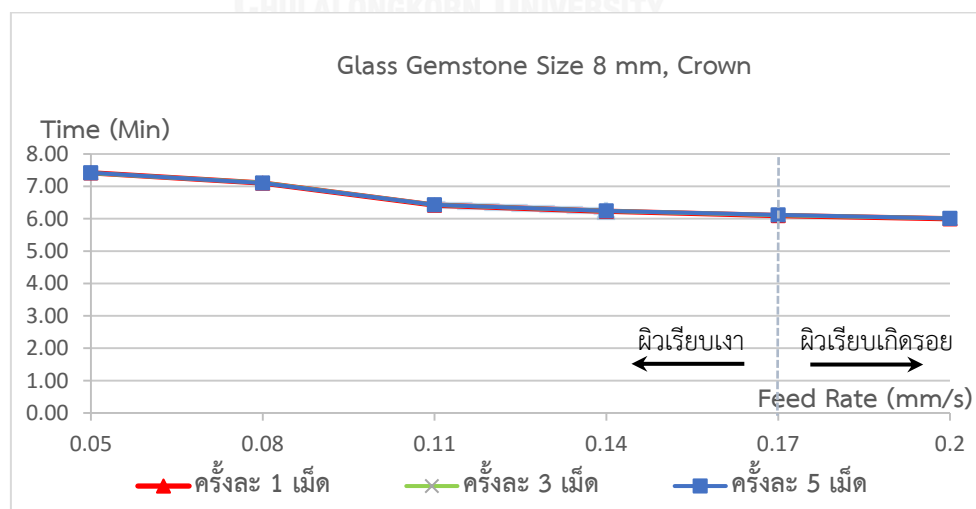
5.2.4.6 ผลการทดลองที่ 6 พลอยกระจก ขนาดเส้นผ่านศูนย์กลาง 8 มิลลิเมตร

ผลที่ได้จากการทดลองเจียรไนพลอยกระจกด้านบน (Crown) เป็นดังตารางที่ 5.14 ซึ่งพบว่าอัตราป้อนที่เร็วที่สุดที่ส่งผลให้คุณภาพผิวของพลอยเรียบเงาคือ 0.17 มิลลิเมตรต่อวินาที ดังรูปที่ 5.39 โดยมีระยะเวลาเจียรไนด้านบน (Crown) ที่เร็วที่สุดที่ได้ผิวคุณภาพดีเท่ากับ 6.11 นาที โดยความสัมพันธ์ระหว่างอัตราป้อน เวลาและคุณภาพของเม็ดพลอยสามารถแสดงได้ดังรูปที่ 5.37 พบว่าระยะเวลาที่เจียรไนแต่ละผลการทดลองมีค่าใกล้เคียงกัน

ผลที่ได้จากการทดลองเจียรระโนพลอยกระจกด้านล่าง (Pavilion) เป็นดังตารางที่ 5.15 ซึ่งพบว่าอัตราป้อนที่เร็วที่สุดที่ส่งผลให้คุณภาพผิวของพลอยเรียบเงาคือ 0.17 มิลลิเมตรต่อวินาที ดังรูปที่ 5.40 โดยมีระยะเวลาเจียรระโนด้านล่าง (Pavilion) ที่เร็วที่สุดที่ได้ผิวคุณภาพดีเท่ากับ 4.32 นาที โดยความสัมพันธ์ระหว่างอัตราป้อน เวลาและคุณภาพของเม็ดพลอยสามารถแสดงได้ดังรูปที่ 5.38 พบว่าระยะเวลาที่เจียรระโนแต่ละผลการทดลองมีค่าใกล้เคียงกัน

ตารางที่ 5.14 ผลการทดลองเปรียบเทียบคุณภาพปรับอัตราป้อนพลอยกระจก ขนาด 8 มิลลิเมตร ด้านบน

Glass Gemstone Size 8 mm (Crown,33 Facet)						
Feed Rate (mm/s)	พลอย 1 เม็ด		พลอย 3 เม็ด		พลอย 5 เม็ด	
	เวลา (min)	คุณภาพ	เวลา (min)	คุณภาพ	เวลา (min)	คุณภาพ
0.05	7.42	ผิวเรียบเงา	7.41	ผิวเรียบเงา	7.42	ผิวเรียบเงา
0.08	7.10	ผิวเรียบเงา	7.11	ผิวเรียบเงา	7.10	ผิวเรียบเงา
0.11	6.42	ผิวเรียบเงา	6.43	ผิวเรียบเงา	6.34	ผิวเรียบเงา
0.14	6.23	ผิวเรียบเงา	6.24	ผิวเรียบเงา	6.24	ผิวเรียบเงา
0.17	6.10	ผิวเรียบเงา	6.11	ผิวเรียบเงา	6.12	ผิวเรียบเงา
0.20	6.00	ผิวเรียบเกิดรอย	6.01	ผิวเรียบเกิดรอย	6.01	ผิวเรียบเกิดรอย

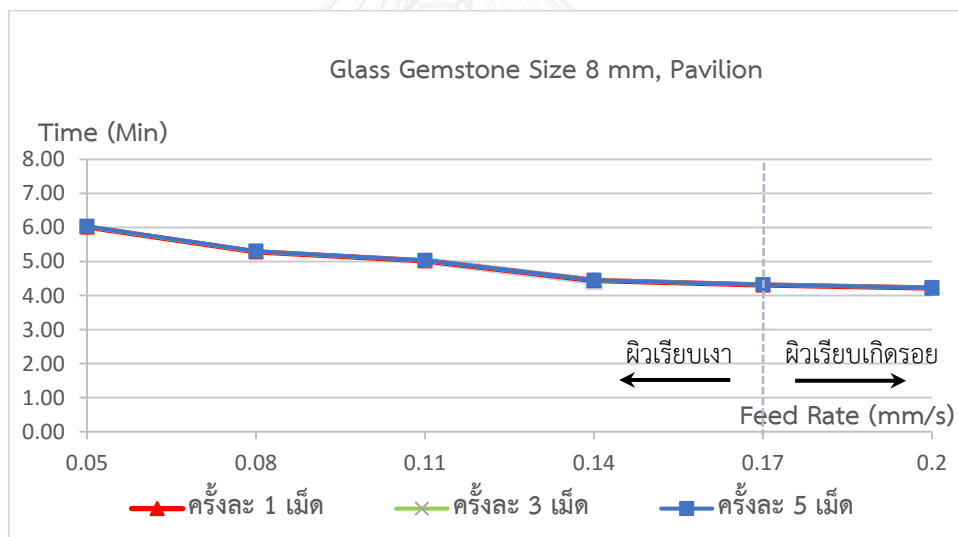


รูปที่ 5.37 ผลของอัตราป้อนที่มีผลต่อคุณภาพและเวลาการขัดชิ้นงานพลอยกระจก

ขนาด 8 มิลลิเมตรด้านบน

ตารางที่ 5.15 ผลการทดลองเปรียบเทียบคุณภาพปรับอัตราป้อนพลอยกระจก ขนาด 8 มิลลิเมตร
ด้านล่าง

Glass Gemstone Size 8 mm (Pavilion,33 Facet)						
Feed Rate (mm/s)	พลอย 1 เม็ด		พลอย 3 เม็ด		พลอย 5 เม็ด	
	เวลา (min)	คุณภาพ	เวลา (min)	คุณภาพ	เวลา (min)	คุณภาพ
0.05	6.01	ผิวเรียบเงา	6.02	ผิวเรียบเงา	6.03	ผิวเรียบเงา
0.08	5.28	ผิวเรียบเงา	5.29	ผิวเรียบเงา	5.30	ผิวเรียบเงา
0.11	5.02	ผิวเรียบเงา	5.03	ผิวเรียบเงา	5.03	ผิวเรียบเงา
0.14	4.44	ผิวเรียบเงา	4.45	ผิวเรียบเงา	4.45	ผิวเรียบเงา
0.17	4.31	ผิวเรียบเงา	4.32	ผิวเรียบเงา	4.32	ผิวเรียบเงา
0.20	4.22	ผิวเรียบเกิดรอย	4.23	ผิวเรียบเกิดรอย	4.23	ผิวเรียบเกิดรอย

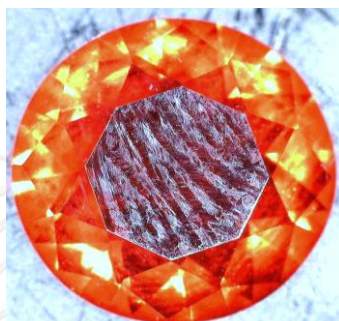


รูปที่ 5.38 ผลของอัตราป้อนที่มีผลต่อคุณภาพและเวลาการขัดชิ้นเงาพลอยกระจก

ขนาด 8 มิลลิเมตรด้านล่าง



รูปที่ 5.39 ภาพถ่ายพลอยกระจก 8 มิลลิเมตรผิวราบเรียบ



รูปที่ 5.40 ภาพถ่ายพลอยกระจก 8 มิลลิเมตรผิวเรียบเกิดริ้วรอย

5.2.5 สรุปผลการทดลอง

การทดลองหาค่าพารามิเตอร์ที่เหมาะสมสำหรับขัดชิ้นเงาพลอยทำการเจียรระโนทั้งหมด 3 ขนาดคือ 3,5 และ 8 มิลลิเมตร ซึ่งผลการทดลองหาค่าพารามิเตอร์ที่เหมาะสมสำหรับขัดชิ้นเงาพลอยคิวบิก เซอร์โคเนีย ที่ใช้จานเจียรระโนทองแดงที่ถูกกรัดร่องและทาด้วยผงเพชรขนาด 1 ไมโครเมตรผสมครีมคือ ค่าความเร็วจานหมุนเท่ากับ 2100 รอบต่อนาที ระยะเวลาแช่พลอยเท่ากับ 2 วินาที และอัตราการป้อนเท่ากับ 1.1 มิลลิเมตรต่อวินาที และค่าพารามิเตอร์ที่เหมาะสมสำหรับขัดชิ้นเงาพลอยกระจก ที่ใช้จานเจียรระโนทองแดงที่ถูกกรัดร่องและทาด้วยผงเพชรขนาด 1 ไมโครเมตรผสมครีมคือ ค่าความเร็วจานหมุนเท่ากับ 2100 รอบต่อนาที ระยะเวลาแช่พลอยเท่ากับ 2 วินาที และอัตราการป้อนเท่ากับ 1.7 มิลลิเมตรต่อวินาที

นอกจากนี้ผลจากการทดลองโดยใช้พลอยหลายขนาด (3, 5, 8 มิลลิเมตร) ซึ่งถูกเจียรระโนพร้อมกันหลายเม็ด (1, 3, 5, 10, 14 เม็ด) พบว่าขนาดของเม็ดพลอยมีผลต่อเวลาในการเจียรระโนโดยพลอยที่มีขนาดใหญ่จะใช้เวลาในการเจียรระโนมากกว่าพลอยที่มีขนาดเล็ก แต่อย่างไรก็ตามขนาดและจำนวนของพลอยไม่มีผลต่อค่าพารามิเตอร์ที่ใช้ในการเจียรระโน ซึ่งพลอยชนิดเดียวกันแต่ขนาด

ต่างกันสามารถใช้ค่าพารามิเตอร์เหมือนกันได้ และพลอยชนิดเดียวกันที่ขนาดเท่ากัน แต่เจียรระไน
พร้อมกันหลายเม็ดสามารถใช้ค่าพารามิเตอร์เดียวกันได้ โดยคุณภาพผิวพลอยที่ได้ไม่ต่างกัน



บทที่ 6 อภิปรายและข้อเสนอแนะ

ในบทนี้จะกล่าวถึงบทสรุปของงานวิจัยนี้ ปัญหาและอุปสรรคระหว่างขั้นตอนการทดลอง รวมถึงแนวทางในการพัฒนาวิจัยในอนาคต

6.1 บทสรุปของงานวิจัย

วิทยานิพนธ์เรื่องการปรับปรุงสมรรถนะการเจียรไนพลอยของเครื่องเจียรไนพลอยแบบอัตโนมัติ มีวัตถุประสงค์เพื่อศึกษาและพัฒนาเทคนิคการเจียรไนพลอยที่เหมาะสมและได้มาตรฐานสำหรับเครื่องเจียรไนพลอยแบบอัตโนมัติที่พัฒนาขึ้นที่ห้องปฏิบัติการวิจัยระบบผลิตขั้นสูง ภาควิชาวิศวกรรมเครื่องกล จุฬาลงกรณ์มหาวิทยาลัย โดยมีการทดลอง 2 ส่วนคือ การทดลองหาค่าพารามิเตอร์ที่มีผลต่อการเจียรไนขึ้นเหลี่ยม และการทดลองหาค่าพารามิเตอร์ที่เหมาะสมสำหรับขัดขึ้นเงาพลอย

ขั้นตอนในงานวิจัยนี้เริ่มจากศึกษางานวิจัยที่เกี่ยวข้องกับเครื่องเจียรไนพลอยแบบอัตโนมัติ ซึ่งพบว่าการนำเครื่องเจียรไนพลอยแบบอัตโนมัติมาใช้ในอุตสาหกรรมนั้นสามารถทำงานได้รวดเร็วกว่าคนและสามารถควบคุมคุณภาพของพลอยได้ดี ต่อมาจึงได้ศึกษามาตรฐานทางด้านคุณภาพของการเจียรไนอัญมณี คุณสมบัติและรูปร่างที่นิยมในอุตสาหกรรมอัญมณีและเครื่องประดับ หลังจากนั้นก็เริ่มศึกษาค่าพารามิเตอร์ที่มีผลกับคุณภาพการเจียรไนด้วยเครื่องเจียรไนพลอยแบบอัตโนมัติ

การทดลองหาค่าพารามิเตอร์ที่มีผลต่อการเจียรไนขึ้นเหลี่ยม พลอยที่ใช้ในการทดลองคือพลอยควิบิก เซอร์โคเนีย ขนาดเส้นผ่านศูนย์กลาง 16 มิลลิเมตรสูง 10 มิลลิเมตร ทดลองเจียรไนมุม 45 องศาเจียรไน 1 เหลี่ยมด้วยความลึก 3 มิลลิเมตร จากนั้นปรับเปลี่ยนค่าพารามิเตอร์ต่างๆได้แก่ เบอร์งานเจียรไน อัตราป้อน ความเร็วงานหมุนและระยะเวลาแช่พลอย เนื่องจากเครื่องมือที่ใช้ในการทดลองมีแต่เครื่องมือวัดความขรุขระแต่ไม่มีเครื่องมือที่ใช้วัดความราบเรียบจึงใช้กล้องกำลังขยาย 20 เท่าส่องผิวเพื่อดูคุณภาพแต่ละผลการทดลอง จากการทดลองพบว่าค่าพารามิเตอร์ที่ทำให้คุณภาพผิวพลอยราบเรียบคือ ใช้งานเจียรไนเบอร์ 800 อัตราป้อน 1.5 มิลลิเมตรต่อวินาที ความเร็วงานหมุน 2100 รอบต่อนาที และระยะเวลาแช่พลอย 2 วินาที

หลังจากนั้นก็ทำการทดลองหาค่าพารามิเตอร์ที่เหมาะสมสำหรับขัดขึ้นเงาพลอย ซึ่งเจียรไนเป็นรูปทรงบริลเลียน โดยพลอยที่ใช้ในการทดลองคือพลอยควิบิก เซอร์โคเนียที่มีความแข็งอยู่ที่ 8.0 - 8.5 Mohs และพลอยกระจกที่มีค่าความแข็งอยู่ที่ 4.5 - 6.5 Mohs การทดลองทำการเจียรไนทั้งหมด 3 ขนาดคือ 3,5 และ 8 มิลลิเมตร ซึ่งผลการทดลองหาค่าพารามิเตอร์ที่เหมาะสมสำหรับขัดขึ้นเงาพลอยควิบิก เซอร์โคเนีย ที่ใช้งานเจียรไนทองแดงที่ถูกกรัดร่องและทาด้วยผงเพชร

ขนาด 1 ไมโครเมตรผสมครีมคือ ค่าความเร็วงานหมุนเท่ากับ 2100 รอบต่อนาที ระยะเวลาแช่พลอยเท่ากับ 2 วินาที และอัตราการป้อนเท่ากับ 1.1 มิลลิเมตรต่อวินาที และค่าพารามิเตอร์ที่เหมาะสมสำหรับขัดชิ้นงานพลอยกระจก ที่ใช้งานเจียรไนทองแดงที่ถูกกรีดร่องและทาด้วยผงเพชรขนาด 1 ไมโครเมตรผสมครีมคือ ค่าความเร็วงานหมุนเท่ากับ 2100 รอบต่อนาที ระยะเวลาแช่พลอยเท่ากับ 2 วินาที และอัตราการป้อนเท่ากับ 1.7 มิลลิเมตรต่อวินาที

นอกจากนี้ผลจากการทดลองโดยใช้พลอยหลายขนาด (3, 5, 8 มิลลิเมตร) ซึ่งถูกเจียรไนพร้อมกันหลายเม็ด (1, 3, 5, 10, 14 เม็ด) พบว่าขนาดของเม็ดพลอยมีผลต่อเวลาในการเจียรไนโดยพลอยที่มีขนาดใหญ่จะใช้เวลาในการเจียรไนมากกว่าพลอยที่มีขนาดเล็ก แต่อย่างไรก็ตามขนาดและจำนวนของพลอยไม่มีผลต่อค่าพารามิเตอร์ที่ใช้ในการเจียรไน ซึ่งพลอยชนิดเดียวกันแต่ขนาดต่างกันสามารถใช้ค่าพารามิเตอร์เหมือนกันได้ และพลอยชนิดเดียวกันที่ขนาดเท่ากัน แต่เจียรไนพร้อมกันหลายเม็ดสามารถใช้ค่าพารามิเตอร์เดียวกันได้ โดยคุณภาพผิวพลอยที่ได้ไม่ต่างกัน

6.2 ปัญหาและอุปสรรคในการทำงานวิจัย

ปัญหาที่เกิดขึ้นระหว่างงานวิจัยสามารถสรุปได้ดังนี้

1. การตั้งชุดทวนจับพลอยให้ขนานกลับงานเจียรไนพลอยต้องการความแม่นยำที่สูงมากในการเจียรไนครั้งที่ 14 เม็ดทำได้ยากมาก เนื่องจากอุปกรณ์อุปกรณ์ที่ใช้ในการปรับระดับมีความละเอียดไม่เพียงพอ ชิ้นส่วนที่ทำขึ้นมีความคลาดเคลื่อนไปจากแบบทำให้การประกอบชิ้นส่วนมีความผิดพลาด
2. ความสกปรกของชุดจับทวน ทวนติดพลอย เนื่องจากการเจียรไนพลอยมีการใช้น้ำหล่อเย็นช่วยลดอุณหภูมิในการเจียรไนพลอย ทำให้น้ำที่หล่อเย็นผสมกับเนื้อพลอยที่ถูกเจียรไนกระเด็นเข้าไปติด ด้ามพลอยขณะทำการเจียรไน ทำให้การหมุนเหล็ยมองศาเกิดความคลาดเคลื่อน
3. การเจียรไนพลอยครั้งละ 14 เม็ด พลอยด้านซ้าย 2 เม็ดและด้านขวา 2 เม็ด เจียรไนเหล็ยมไม่สมบูรณ์ ทั้งนี้เนื่องมาจากความเร็วเชิงเส้นของพลอยในตำแหน่งที่ 1, 2, 13 และ 14 มีความเร็วค่อนข้างมากกว่าพลอยเม็ดอื่น ถ้าใช้ขนาดของงานเจียรไนขนาดเล็กถึงประมาณ 5.4 นิ้วจะพบว่าปัญหาที่เกิดขึ้นที่เม็ดที่อยู่ทั้งสองจะไม่เกิดขึ้น ถ้ายังคงขนาดงานเท่าเดิม โดยที่ต้องการให้พลอยทั้ง 14 เม็ดมีคุณภาพที่สามารถยอมรับได้ ความเร็วของงานเจียรไนจะต้องน้อยลง แต่ก็จะมีผลกับการปรับความเร็วของการเจียรไนและเวลาของการแช่ตอนเจียรไนด้วย

4. การเคลือบงานเจียรระโนนั้นมีความหนาไม่เท่ากัน การเปลี่ยนงานเจียรระโนในแต่ละครั้งต้องทำการสอบเทียบทุกครั้ง

6.3 ข้อเสนอแนะ

จากปัญหาที่เกิดขึ้นระหว่างงานวิจัยนี้จะได้กล่าวถึงข้อเสนอแนะสำหรับพัฒนางานวิจัยในอนาคต

1. ปรับปรุงให้เพิ่มน้ำหล่อเย็นให้มีหลายตำแหน่ง
2. ออกแบบอุปกรณ์ป้องกันน้ำหล่อเย็นกระเด็นใส่ชุดจับทวน
3. เปลี่ยนวัสดุทำทวนยึดพลอยไม่ให้เกิดสนิม
4. พลอยที่ใช้ในการทดลองควรมีสีทึบ หลังจากเจียรระโนพลอยเสร็จแล้วนั้นพลอยจะมีความแวววาวสูงทำให้รอยขีดข่วนมองเห็นได้ไม่ชัดอาจจะทำให้ผลการทดลองคลาดเคลื่อน
5. ออกแบบทวนยึดพลอยให้มีลักษณะอื่นๆที่สามารถยึดพลอยที่ถูกขึ้นรูปเบื้องต้นด้วยวิธีอื่นได้

รายการอ้างอิง

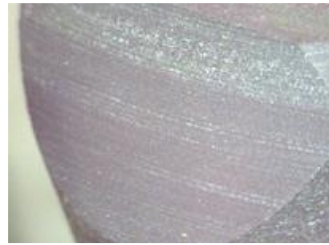
1. จิตรา รู้จักกิจการพานิช และ คมสัน จิระภัทรศิลป์, ต้นแบบเครื่องเงินระโนอัญมณีความเร็วสูง 2548, จุฬาลงกรณ์มหาวิทยาลัย.
2. สมจินต์ ธนानันท์ศิริ, การออกแบบและสร้างเครื่องเจียรระโนพลอยแบบอัตโนมัติ. 2549, จุฬาลงกรณ์มหาวิทยาลัย.
3. การเกียรียงไกร สิ้นธุเตชากุล, การออกแบบอุปกรณ์จับด้ามพลอยแบบหลายด้ามสำหรับเครื่องเจียรระโนพลอยจุฬาแบบอัตโนมัติ. 2552, จุฬาลงกรณ์มหาวิทยาลัย.
4. ปรัชญา พิพัฒนานนท์, ระบบควบคุมสำหรับเครื่องเจียรระโนพลอยจุฬาแบบอัตโนมัติ. 2552, จุฬาลงกรณ์มหาวิทยาลัย.
5. ชนัยณัฐ แก้วทอง, การควบคุมแรงสำหรับการเจียรระโนพลอยด้วยเครื่องเจียรระโนพลอยจุฬาแบบอัตโนมัติ. 2555, จุฬาลงกรณ์มหาวิทยาลัย.
6. สุมาลี เทพโสพรรณ, วิเคราะห์อัญมณี. พิมพ์ครั้งที่ 2 ed. 2539, สถาบันอัญมณีวิทย (ประเทศไทย).
7. พิเชษฐ ลีสมสุวรรณ และ สุปาณี ลีสมสุวรรณ, พิสิกส์กับอัญมณี. 2544.
8. Glenn and Martha Vargas, *Diagrams for Facetting*. 2 ed. 1978.
9. Marcel Tolkowsky, *Diamond Design*. 1919.
10. สุมาลี เทพโสพรรณ, เพชร. 2544.
11. ซาลี ตระการกุล, เทคโนโลยีซีเอ็นซี *CNC Technology*. 2550.
12. ชุมพล เหมพรหมราช, อนันต์ สุตาพันธ์, and วิบูลย์ แสงวีระพันธุ์ศิริ, *Gemstone Grinding Process Improvement by using Impedance Force Control*, in *MATEC Web of Conferences* 26. 2015.
13. ชุมพล เหมพรหมราช และ วิบูลย์ แสงวีระพันธุ์ศิริ, การขัดขึ้นเงาพลอยด้วยเครื่องเจียรระโนพลอยแบบอัตโนมัติ, การประชุมวิชาการเครือข่ายวิศวกรรมเครื่องกลแห่งประเทศไทยครั้งที่ 27. 2556.
14. John J. Craig, *Introduction to Robotics Mechanics and Control*. 2 ed. 1989.
15. วิบูลย์ แสงวีระพันธุ์ศิริ, การควบคุมระบบพลศาสตร์ 2ed. 2548.
16. กฤษณะ อุตมั่ง, การพัฒนาระบบสร้างแบบจำลองสามมิติแบบโซลิดโดยใช้พาราโซลด์เคอร์เนล. 2544, จุฬาลงกรณ์มหาวิทยาลัย.



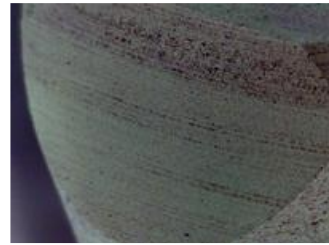
ภาคผนวก

จุฬาลงกรณ์มหาวิทยาลัย
CHULALONGKORN UNIVERSITY

ภาคผนวก ก ผลการทดลองหาค่าพารามิเตอร์ที่มีผลต่อการเจียรไนเหล็กมอลอย

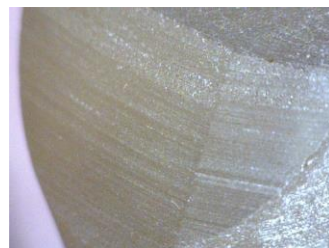


(ก)



(ข)

รูปที่ ก.1 ผลการทดลองเจียรไนพลอยผลการทดลองที่ 1 (ก) ภาพจริง (ข) ภาพกลับสี

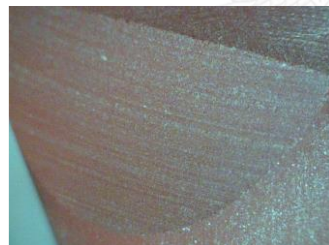


(ก)



(ข)

รูปที่ ก.2 ผลการทดลองเจียรไนพลอยผลการทดลองที่ 2 (ก) ภาพจริง (ข) ภาพกลับสี

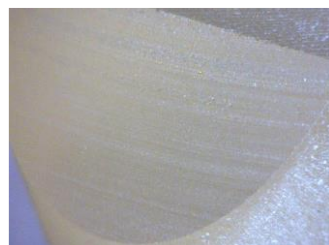


(ก)



(ข)

รูปที่ ก.3 ผลการทดลองเจียรไนพลอยผลการทดลองที่ 3 (ก) ภาพจริง (ข) ภาพกลับสี

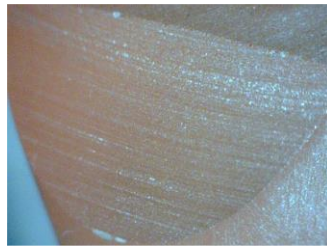


(ก)



(ข)

รูปที่ ก.4 ผลการทดลองเจียรไนพลอยผลการทดลองที่ 4 (ก) ภาพจริง (ข) ภาพกลับสี



(ก)



(ข)

รูปที่ ก.5 ผลการทดลองเจียรระไนพลอยผลการทดลองที่ 5 (ก) ภาพจริง (ข) ภาพกลับสี



(ก)

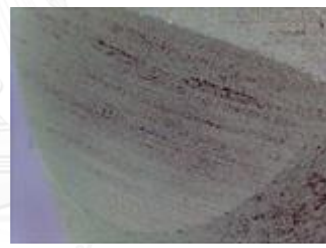


(ข)

รูปที่ ก.6 ผลการทดลองเจียรระไนพลอยผลการทดลองที่ 6 (ก) ภาพจริง (ข) ภาพกลับสี



(ก)



(ข)

รูปที่ ก.7 ผลการทดลองเจียรระไนพลอยผลการทดลองที่ 7 (ก) ภาพจริง (ข) ภาพกลับสี

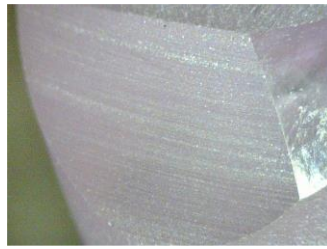


(ก)

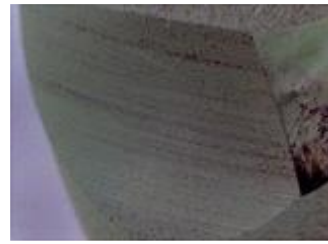


(ข)

รูปที่ ก.8 ผลการทดลองเจียรระไนพลอยผลการทดลองที่ 8 (ก) ภาพจริง (ข) ภาพกลับสี



(ก)

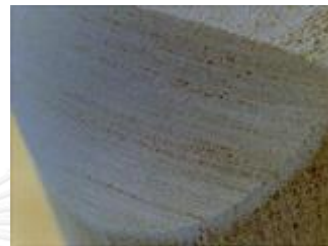


(ข)

รูปที่ ก.9 ผลการทดลองเจียรไนพลอยผลการทดลองที่ 9 (ก) ภาพจริง (ข) ภาพกลับสี



(ก)



(ข)

รูปที่ ก.10 ผลการทดลองเจียรไนพลอยผลการทดลองที่ 10 (ก) ภาพจริง (ข) ภาพกลับสี



(ก)

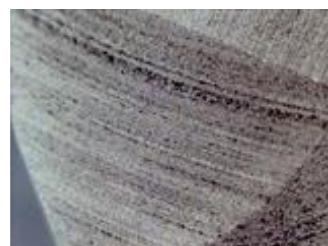


(ข)

รูปที่ ก.11 ผลการทดลองเจียรไนพลอยผลการทดลองที่ 11 (ก) ภาพจริง (ข) ภาพกลับสี

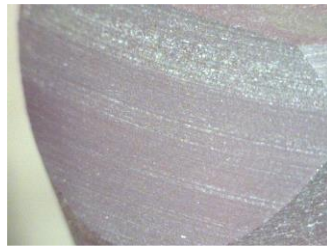


(ก)

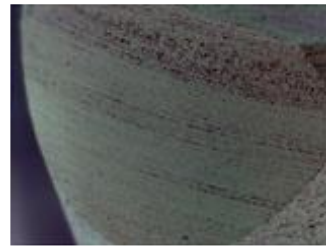


(ข)

รูปที่ ก.12 ผลการทดลองเจียรไนพลอยผลการทดลองที่ 12 (ก) ภาพจริง (ข) ภาพกลับสี



(ก)



(ข)

รูปที่ ก.13 ผลการทดลองเจียรระไนพลอยผลการทดลองที่ 13 (ก) ภาพจริง (ข) ภาพกลับสี



(ก)



(ข)

รูปที่ ก.14 ผลการทดลองเจียรระไนพลอยผลการทดลองที่ 14 (ก) ภาพจริง (ข) ภาพกลับสี



(ก)



(ข)

รูปที่ ก.15 ผลการทดลองเจียรระไนพลอยผลการทดลองที่ 15 (ก) ภาพจริง (ข) ภาพกลับสี

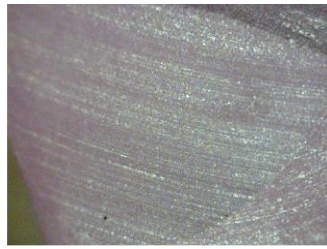


(ก)

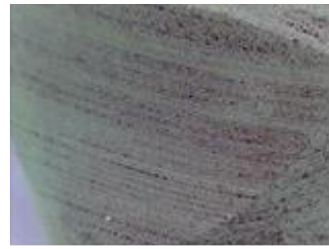


(ข)

รูปที่ ก.16 ผลการทดลองเจียรระไนพลอยผลการทดลองที่ 16 (ก) ภาพจริง (ข) ภาพกลับสี



(ก)



(ข)

รูปที่ ก.17 ผลการทดลองเจียรระไนพลอยผลการทดลองที่ 17 (ก) ภาพจริง (ข) ภาพกลับสี



(ก)



(ข)

รูปที่ ก.18 ผลการทดลองเจียรระไนพลอยผลการทดลองที่ 18 (ก) ภาพจริง (ข) ภาพกลับสี



(ก)



(ข)

รูปที่ ก.19 ผลการทดลองเจียรระไนพลอยผลการทดลองที่ 19 (ก) ภาพจริง (ข) ภาพกลับสี

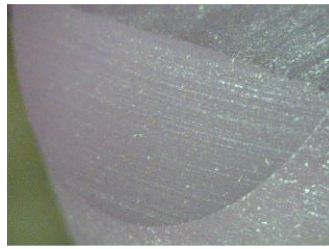


(ก)

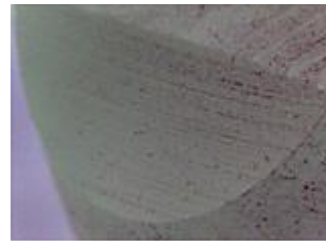


(ข)

รูปที่ ก.20 ผลการทดลองเจียรระไนพลอยผลการทดลองที่ 20 (ก) ภาพจริง (ข) ภาพกลับสี

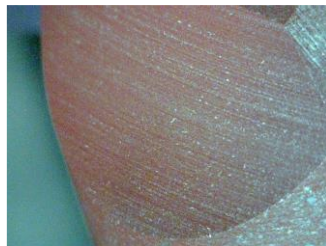


(ก)

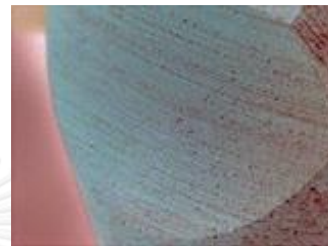


(ข)

รูปที่ ก.21 ผลการทดลองเจียรระไนพลอยผลการทดลองที่ 21 (ก) ภาพจริง (ข) ภาพกลับสี



(ก)



(ข)

รูปที่ ก.22 ผลการทดลองเจียรระไนพลอยผลการทดลองที่ 22 (ก) ภาพจริง (ข) ภาพกลับสี



(ก)

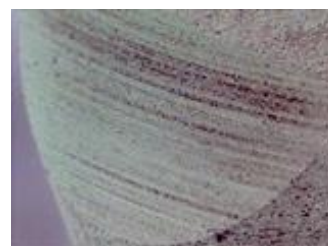


(ข)

รูปที่ ก.23 ผลการทดลองเจียรระไนพลอยผลการทดลองที่ 23 (ก) ภาพจริง (ข) ภาพกลับสี

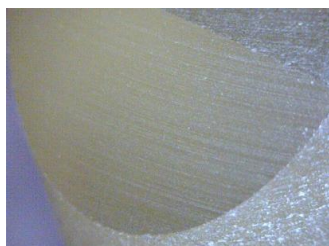


(ก)



(ข)

รูปที่ ก.24 ผลการทดลองเจียรระไนพลอยผลการทดลองที่ 24 (ก) ภาพจริง (ข) ภาพกลับสี

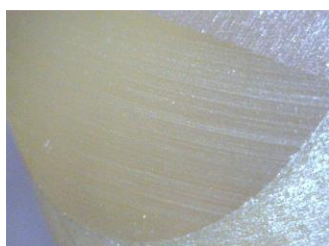


(ก)



(ข)

รูปที่ ก.25 ผลการทดลองเจียรระไนพลอยผลการทดลองที่ 25 (ก) ภาพจริง (ข) ภาพกลับสี

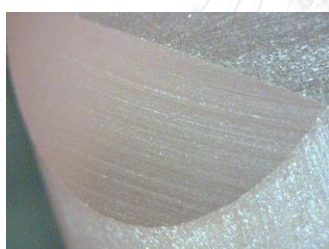


(ก)



(ข)

รูปที่ ก.26 ผลการทดลองเจียรระไนพลอยผลการทดลองที่ 26 (ก) ภาพจริง (ข) ภาพกลับสี



(ก)



(ข)

รูปที่ ก.27 ผลการทดลองเจียรระไนพลอยผลการทดลองที่ 27 (ก) ภาพจริง (ข) ภาพกลับสี

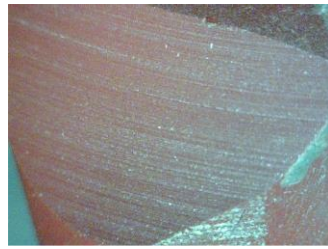


(ก)

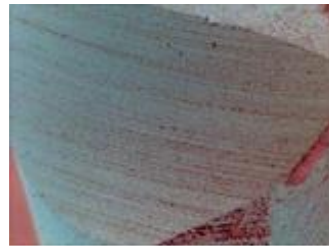


(ข)

รูปที่ ก.28 ผลการทดลองเจียรระไนพลอยผลการทดลองที่ 28 (ก) ภาพจริง (ข) ภาพกลับสี



(ก)

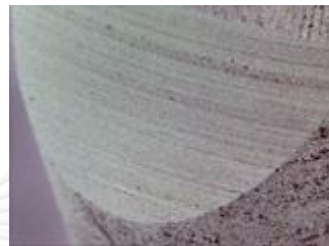


(ข)

รูปที่ ก.29 ผลการทดลองเจียรระไนพลอยผลการทดลองที่ 29 (ก) ภาพจริง (ข) ภาพกลับสี

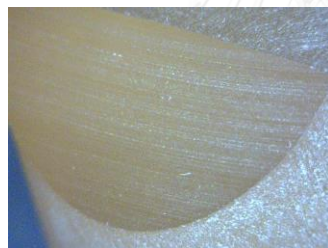


(ก)



(ข)

รูปที่ ก.30 ผลการทดลองเจียรระไนพลอยผลการทดลองที่ 30 (ก) ภาพจริง (ข) ภาพกลับสี



(ก)

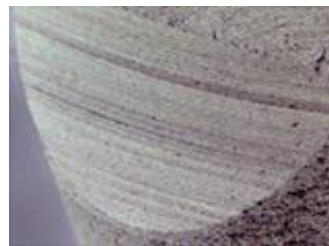


(ข)

รูปที่ ก.31 ผลการทดลองเจียรระไนพลอยผลการทดลองที่ 31 (ก) ภาพจริง (ข) ภาพกลับสี

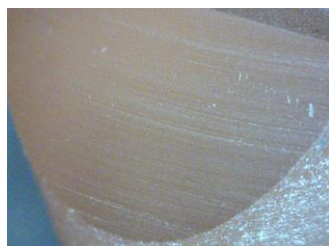


(ก)



(ข)

รูปที่ ก.32 ผลการทดลองเจียรระไนพลอยผลการทดลองที่ 32 (ก) ภาพจริง (ข) ภาพกลับสี



(ก)



(ข)

รูปที่ ก.33 ผลการทดลองเจียรระไนพลอยผลการทดลองที่ 33 (ก) ภาพจริง (ข) ภาพกลับสี

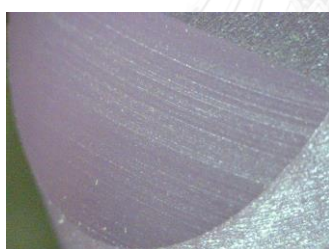


(ก)



(ข)

รูปที่ ก.34 ผลการทดลองเจียรระไนพลอยผลการทดลองที่ 34 (ก) ภาพจริง (ข) ภาพกลับสี

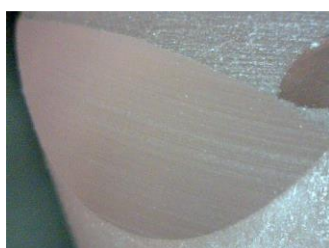


(ก)



(ข)

รูปที่ ก.35 ผลการทดลองเจียรระไนพลอยผลการทดลองที่ 35 (ก) ภาพจริง (ข) ภาพกลับสี



(ก)



(ข)

รูปที่ ก.36 ผลการทดลองเจียรระไนพลอยผลการทดลองที่ 36 (ก) ภาพจริง (ข) ภาพกลับสี



(ก)

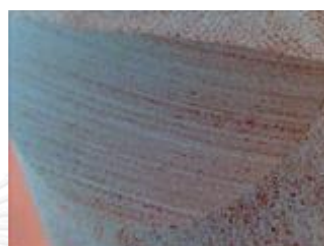


(ข)

รูปที่ ก.37 ผลการทดลองเจียระไนพลอยผลการทดลองที่ 37 (ก) ภาพจริง (ข) ภาพกลับสี



(ก)



(ข)

รูปที่ ก.38 ผลการทดลองเจียระไนพลอยผลการทดลองที่ 38 (ก) ภาพจริง (ข) ภาพกลับสี



(ก)



(ข)

รูปที่ ก.39 ผลการทดลองเจียระไนพลอยผลการทดลองที่ 39 (ก) ภาพจริง (ข) ภาพกลับสี

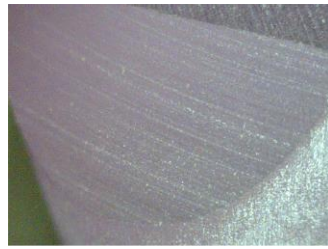


(ก)

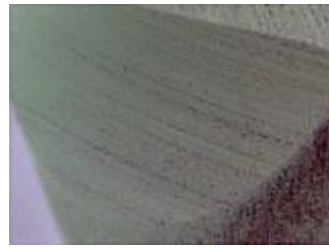


(ข)

รูปที่ ก.40 ผลการทดลองเจียระไนพลอยผลการทดลองที่ 40 (ก) ภาพจริง (ข) ภาพกลับสี



(ก)



(ข)

รูปที่ ก.41 ผลการทดลองเจียรระไนพลอยผลการทดลองที่ 41 (ก) ภาพจริง (ข) ภาพกลับสี



(ก)

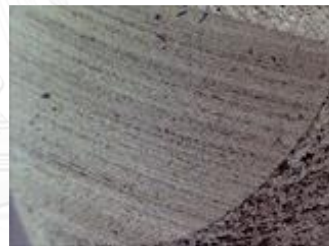


(ข)

รูปที่ ก.42 ผลการทดลองเจียรระไนพลอยผลการทดลองที่ 42 (ก) ภาพจริง (ข) ภาพกลับสี

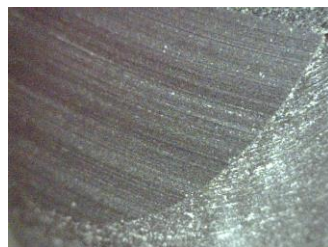


(ก)

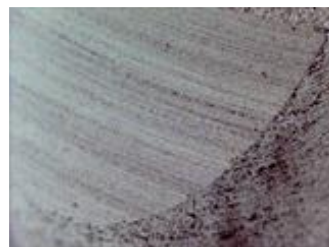


(ข)

รูปที่ ก.43 ผลการทดลองเจียรระไนพลอยผลการทดลองที่ 43 (ก) ภาพจริง (ข) ภาพกลับสี

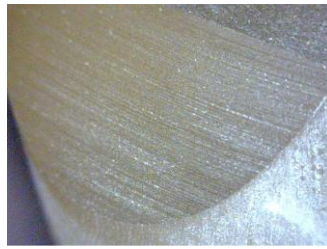


(ก)



(ข)

รูปที่ ก.44 ผลการทดลองเจียรระไนพลอยผลการทดลองที่ 44 (ก) ภาพจริง (ข) ภาพกลับสี

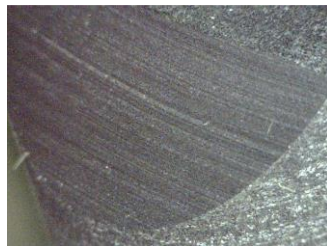


(ก)



(ข)

รูปที่ ก.45 ผลการทดลองเจียรระไนพลอยผลการทดลองที่ 45 (ก) ภาพจริง (ข) ภาพกลับสี

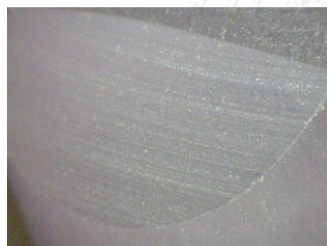


(ก)



(ข)

รูปที่ ก.46 ผลการทดลองเจียรระไนพลอยผลการทดลองที่ 46 (ก) ภาพจริง (ข) ภาพกลับสี



(ก)



(ข)

รูปที่ ก.47 ผลการทดลองเจียรระไนพลอยผลการทดลองที่ 47 (ก) ภาพจริง (ข) ภาพกลับสี



(ก)



(ข)

รูปที่ ก.48 ผลการทดลองเจียรระไนพลอยผลการทดลองที่ 48 (ก) ภาพจริง (ข) ภาพกลับสี



(ก)



(ข)

รูปที่ ก.49 ผลการทดลองเจียรไนพลอยผลการทดลองที่ 49 (ก) ภาพจริง (ข) ภาพกลับสี

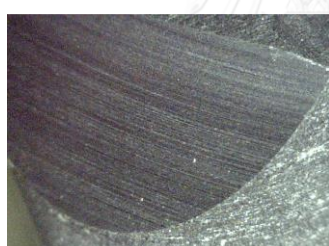


(ก)



(ข)

รูปที่ ก.50 ผลการทดลองเจียรไนพลอยผลการทดลองที่ 50 (ก) ภาพจริง (ข) ภาพกลับสี



(ก)

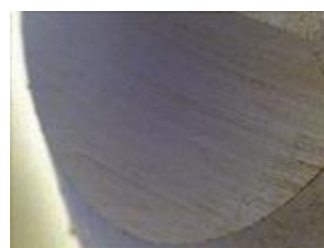


(ข)

รูปที่ ก.51 ผลการทดลองเจียรไนพลอยผลการทดลองที่ 51 (ก) ภาพจริง (ข) ภาพกลับสี

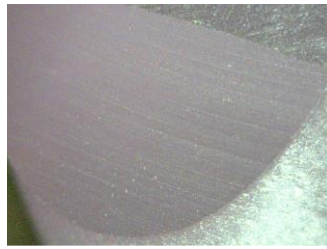


(ก)

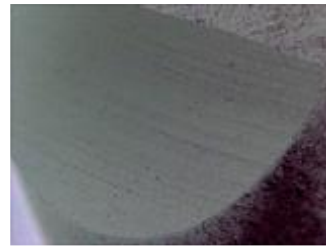


(ข)

รูปที่ ก.52 ผลการทดลองเจียรไนพลอยผลการทดลองที่ 52 (ก) ภาพจริง (ข) ภาพกลับสี

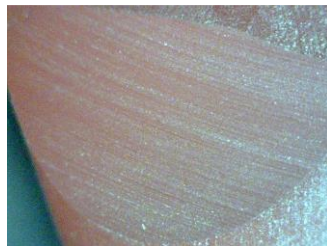


(ก)

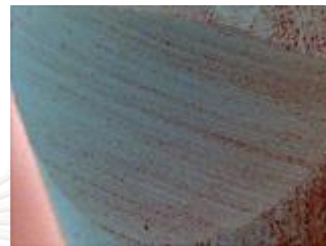


(ข)

รูปที่ ก.53 ผลการทดลองเจียรระไนพลอยผลการทดลองที่ 53 (ก) ภาพจริง (ข) ภาพกลับสี



(ก)



(ข)

รูปที่ ก.54 ผลการทดลองเจียรระไนพลอยผลการทดลองที่ 54 (ก) ภาพจริง (ข) ภาพกลับสี

ภาคผนวก ข อุปกรณ์ที่ใช้ในการทดลอง

1. กล้องถ่ายรูปดิจิทัล



รูปที่ ข.1 กล้องถ่ายรูปดิจิทัล

กล้องถ่ายรูปดิจิทัลที่ใช้ในการถ่ายรูปพลอยในการทดลอง Dino Pro Model : AM-4113T ความละเอียด 1.3 ล้านพิกเซล ติดตั้งโปรแกรม Full Functions และโปรแกรมสอบเทียบสำหรับวัดสเกลกำลังขยาย 10x-50x, 200 เท่า โดยกล้องมีสมบัติที่สำคัญดังนี้

- Resolution : 1280x1024 pixels
- Interface : USB 2.0
- Magnification 10x ~ 50x, 200x
- Sensor : 1/3" Color CMOS
- Video frame Rate : up to 30 frame-per-second, 15fps at 1.3M
- Illumination : built-in 8 White LED's

ประวัติผู้เขียนวิทยานิพนธ์

นายชุมพล เหมพรหมราช เกิดวันที่ 2 พฤษภาคม พ.ศ.2530 เป็นชาวกรุงเทพมหานคร เข้าศึกษาชั้นประถมศึกษาที่โรงเรียนนวมลทิน ธนบุรี เมื่อสำเร็จการศึกษาประถมศึกษาชั้นที่ 6 ได้ทำการสอบเข้าศึกษาต่อชั้นมัธยมศึกษาที่โรงเรียนทวีธาภิเศก หลังจากนั้นได้เข้าศึกษาต่อในคณะวิศวกรรมศาสตร์ สาขาวิศวกรรมยานยนต์ มหาวิทยาลัยสยาม และได้สำเร็จการศึกษาระดับปริญญาวิศวกรรมศาสตรบัณฑิต สาขาวิศวกรรมยานยนต์ มหาวิทยาลัยสยาม เมื่อ พ.ศ.2551

